

## ارزیابی نقش ژئومورفولوژی در مکان گزینی و توسعه شهری در کرمانشاه

<sup>۱</sup> دکتر محمود عالی طالقانی، <sup>۲</sup> دکتر زهرا رحیم زاده، <sup>۳</sup> مینا حسینی

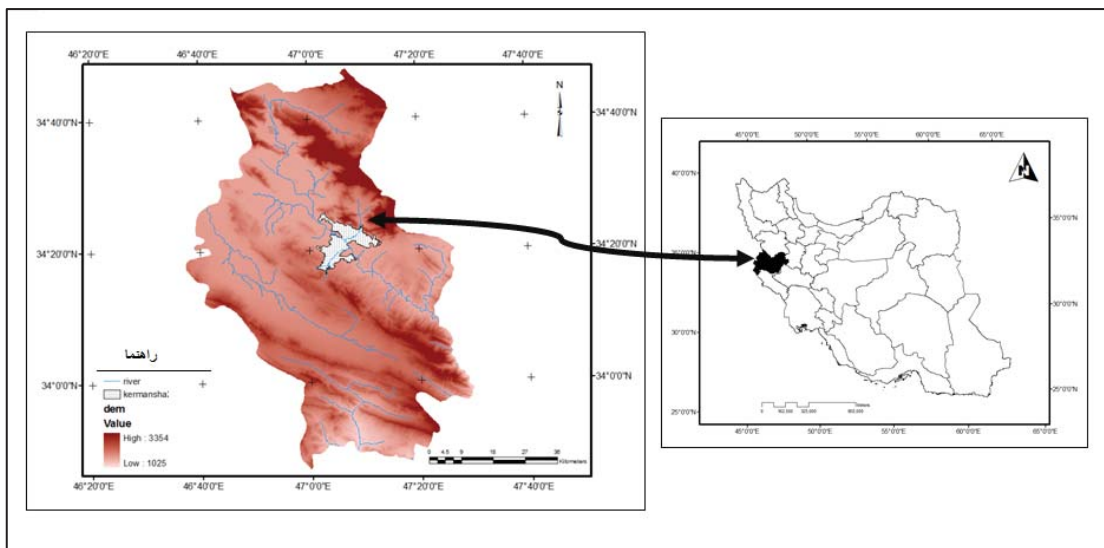
<sup>۱</sup> استادیار دانشگاه رازی کرمانشاه ، malaee@ymail.com

<sup>۲</sup> استادیار دانشگاه فرهنگیان کرمانشاه ، zahrah.rahimzadeh@gmail.com

<sup>۳</sup> دانشجوی کارشناسی ارشد دانشگاه رازی کرمانشاه ، Minahosaini382@yahoo.com

### - مقدمه

مکان گزینی و توسعه فیزیکی شهرها تحت شعاع عوامل زیبادی مانند توپوگرافی، راههای ارتباطی، منبع آب، شرایط آب و هوایی و سایر ویژگی‌های محیطی قرار دارد. چون بسیاری از این عوامل چه بطور مستقیم و چه غیر مستقیم با مسائل ژئومورفولوژی تلاقي پیدا می‌کنند بنابراین می‌توان اذعان داشت که مکان گزینی و توسعه شهرها اصولاً با ویژگی‌های ژئومورفولوژی ارتباط پیدا می‌کنند. چه اینکه امروزه در مکانیابی برای ایجاد شهرهای جدید، توجه به عوامل و متغیرهای ژئومورفولوژی نظریه گسل و زلزله، سیل و مخاطرات زهکش‌ها، فرایندها و مخاطرات دامنه‌ای در درجه اول اهمیت قرار دارد. با این توضیح، در این تحقیق مکان گزینی و روند توسعه شهری در کرمانشاه از دیدگاه ژئومورفولوژیکی مورد تحلیل قرار می‌گیرد تا تنگتاها و مخاطرات ژئومورفولوژیکی پیش روی توسعه آتی شهر شناسایی گردند. شهر کرمانشاه با وسعتی معادل ۱۰۰۰۰ هکتار در سطح یک دشت بین کوهی استقرار یافته است. رشته کوه پراو از مجموعه کوه های زاگرس مرتفع از شمال شرق و رشی کوه از مجموعه کوه های زاگرس چین خورده از جنوب شرق این دشت را از دو سمت محصور کرده (شکل ۱). بنابراین دشته که شهر کرمانشاه در سطح آن استقرار یافته است از سمت شمال غرب و جنوب شرق ارتباطی آزاد با دشت های مجاور دارد. رودخانه قره سو در همین امتداد شهر مورد نظر را به دو نیمه شمالی و جنوبی تقسیم کرده است. هسته تختین شهر در هر کجا که شکل گرفته باشد، توسعه کنونی باعث شده است تا شهر کرمانشاه از دو سمت شمال شرق و جنوب غرب به کوه های اطراف برسد و در مواردی هم به داخل فضای کوه ها پیشروی داشته باشد. این روند گسترش مسائی را بهمراه داشته است که بررسی آنها از دیدگاه ژئومورفولوژی هدف اصلی این پژوهش می‌باشد.

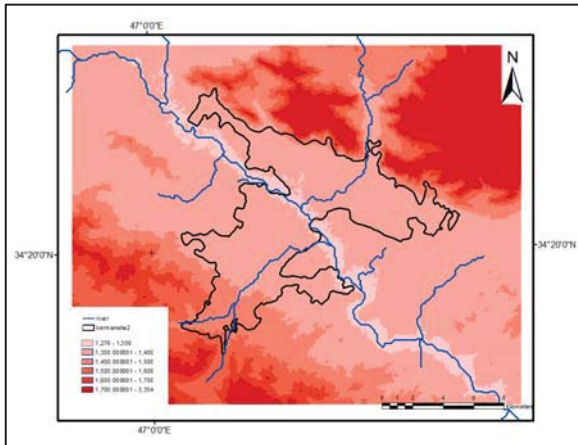


شکل ۱- موقعیت جغرافیایی شهر کرمانشاه در شهرستان کرمانشاه

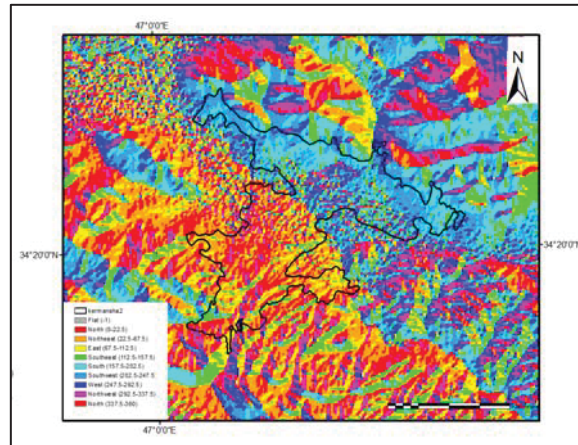
### - مواد و روشها

این تحقیق با ماهیت توصیفی - تحلیلی به دو روش کتابخانه‌ای و میدانی و با تکیه بر نقشه‌های توپوگرافی ۱:۵۰۰۰۰، زمین‌شناسی ۱:۵۰۰۰۰ شهر کرمانشاه و تصاویر ماهواره‌ای Google earth صورت گرفته است. ابتدا ابزارهای مفهومی شامل نقشه‌های توپوگرافی و زمین‌شناسی با استفاده از نرم افزار GIS گردیده اند تا بتوان اطلاعات مورد نظر را سازماندهی، آنالیز، مدلسازی، نمایش و مدیریت کرد، سپس بانکهای اطلاعاتی شامل لایه‌های ارتفاع (شکل ۲)، شبیب (شکل ۳)، جهت شبیب (شکل ۴)، زمین‌شناسی (شکل ۵)، فاصله از زهکش‌های فرعی، فاصله از رودخانه قره سو، فاصله از گسل‌ها، فرآیندهای دامنه‌ای و

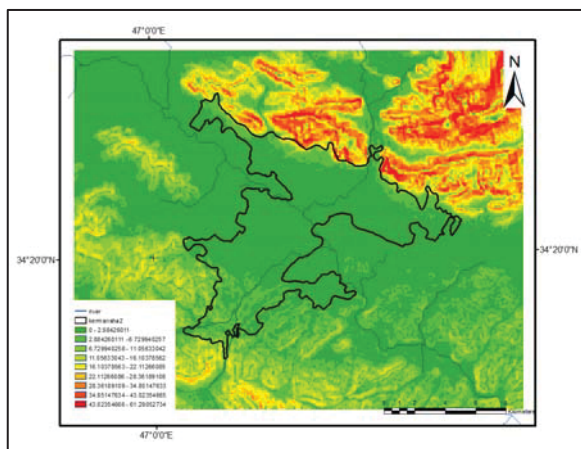
خاک آماده شدند و آنگاه با استفاده از مدل تحلیلی AHP و پس از اولویت بندی داده‌های مکانی، اجزای عناصر موثر در توسعه فیزیکی شهر کرمانشاه شناسایی و در نهایت نقشه پهنه‌بندی جهات توسعه فیزیکی شهر کرمانشاه تهیه گردیده است. پس از تهیه نقشه جهات توسعه شهر، روند کنونی توسعه با استفاده از نقشه مزبور مورد تجزیه و تحلیل قرار گرفته است.



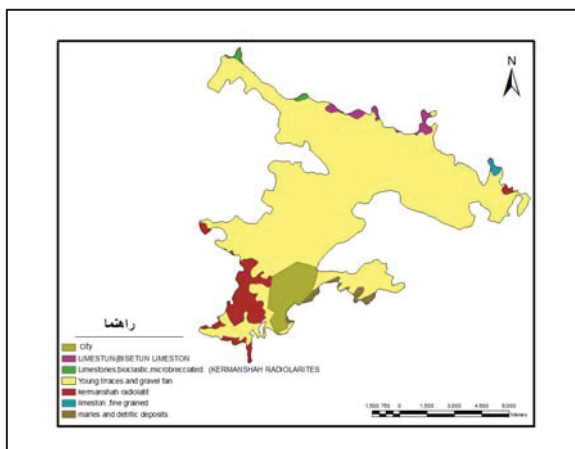
شکل ۲- نقشه‌ی منطقه‌ی مورد مطالعه



شکل ۳- نقشه‌ی جهت گیری دامنه‌ی منطقه‌ی مورد مطالعه



شکل ۴- نقشه‌ی شیب منطقه‌ی مورد مطالعه



شکل ۵- نقشه‌ی زمین‌شناسی منطقه‌ی مورد مطالعه

### ۳- بحث

هسته اولیه شهر کرمانشاه در نیمه جنوبی دشت کرمانشاه و در حاشیه نهر آبشوران شکل گرفته بوده است. زمین‌های این بخش از کرمانشاه بصورت سطوح فرسوده مشکل از تپه ماهورهای کم ارتفاع با شیب ملایم است که در اثر فرسایش رادیولاریت‌های کرتاسه به درآمده اند. قرار گیری هسته شهر در این محل موجب می‌شده است تا هم از حیرم سیلاب‌های قوه سود امان باشد، هم از خط گسل زگرس فاصله داشته باشد و هم زمین‌هایی را اشغال می‌کرده است که برای کشاورزی مناسب نبوده اند. آب مورد نیاز شهر هم از سراب قنبر تأمین می‌شده است که نهر آبشوران آن را زهکشی می‌کرده است. بدین ترتیب باید گفت که در جانمایی هسته اولیه شهر کرمانشاه ساختار طبیعی و چهارگانه نقش عمده داشته است. اما توسعه کنونی شهر موجب شده است تا امروزه ساخت و ساز‌ها از سمت شمال شرق و جنوب غرب کوه‌های حاشیه را در بر بگیرند و در مرکز هم تا حاشیه بستر قره سو پیش روی داشته باشند. بنابراین توسعه شهر کرمانشاه بر خلاف جهت گیری دشت کرمانشاه که شمال غربی جنوب شرقی است در جهت شمال شرقی و جنوب غربی صورت گرفته است. نتایج حاصل از مقایسه زوچی ۹ متغیر در مدل ای اچ پی که به صورت نقشه توسعه شهری به نمایش درآمده است نشان می‌دهد که مناسب ترین پهنه برای توسعه شهر، ابتدا نیمه جنوبی دشت کرمانشاه به موازات رشته کوه سفید، سپس نیمه شمالی دشت به موازات رشته کوه پراو و در واقع هم جهت با محور عمومی دشت کرمانشاه است. شهر کرمانشاه در حال حاضر در امتداد همین محور در حال توسعه است. بنابراین توسعه شهر برخلاف جهت عمومی دشت کرمانشاه از نظر ژئومورفولوژی چالش‌های را می‌تواند بهمراه داشته باشد که از جمله می‌توان به موارد زیر اشاره کرد: مخاطرات سیل برای محله‌هایی که تا بستر قره سو پیشروی داشته اند مانند شهرک الهیه، آب گرفتگی معابر و محله‌هایی که در مناطق پست بین اراضی تپه ماهوری قرار گرفته اند مانند محله‌های مجاور میدان آزادی، خطر ریزش و زلزله برای محله‌هایی که در بخش کنیک رشته کوه پر ایقا شده اند مانند محله باغ ابریشم، خطر سیل گرفتگی محله‌هایی که مسیل‌ها را نادیده گرفته اند مانند تنگ کنشت و محله طاق بستان، مشکل تردد به علت یخ‌زدگی سطح معابر برای ساکنین جنوب غرب کرمانشاه یا محله‌کسری. این در حالی است که این روند توسعه باعث شده است

تا زمینهای کشاورزی دشت کرمانشاه از دستیابی انسان برای ساخت و ساز در امان بمانند که از نکات مثبت آن بشمار می‌رود. به حال این موضوع نشان می‌دهد که فرآیند توسعه در شهر کرمانشاه همانند بسیاری از شهرهای ایران عمدها بر مبنای اقتصادی، اجتماعی و یا موقعیت چشم انداز بوده و مطالعات ژئومورفولوژی در آن جایگاهی نداشته است.

#### ۴- نتایج

هدف این تحقیق ارزیابی تطابق روند توسعه شهری کرمانشاه با مسائل ژئومورفولوژیکی محیط بمنظور تشخیص موانع و تنگناهای محیطی در راه توسعه آتی شهر صورت گرفته است. چه اینکه مکان گزینی و توسعه شهرها اصولاً با مسائل ژئومورفولوژی تلاقی دارند و در نتیجه آگاهی از این مسائل می‌تواند ساکنین شهرها را از مخاطرات محیطی نظری سیل، زلزله، ریزش و رانش کوه مصنون بدارد. نتیجه حاصل از پژوهش نشان داده است که در مکان گزینی هسته اولیه شهر کرمانشاه، توجه به ساختار طبیعی محیط نقش اساسی داشته است. زیرا هسته شهر در مکانی ایجاد شده است که از سوی مخاطراتی مانند سیل و ریزش کوه در امان بوده‌اند. اما توسعه بعدی باعث شده است تا محله‌های مختلف شهر در معرض مخاطرات مختلف قرار بگیرند. از این نظر ساکنین تنگ کنست در معرض خطر زلزله قرار دارند زیرا ساخت و ساز‌ها درست در امتداد گسل زاگرس صورت گرفته است که یک گسل فعال بشمار می‌رود. جنبش این گسل می‌تواند ریزش دامنه ای را نیز بهمراه داشته باشد که از تنگناهای این منطقه محسوب می‌شود. ساکنین محله‌های لب آب و الهیه در معرض خطر سیل قره سو قرار دارند. چون ساخت و ساز‌ها عمدها خود سرانه بوده است و حریم بستر سیلابی قره سو نادیده گرفته شده است. محله‌های مرکز شهر در معرض آب گرفتگی زه آب شهری قرار دارند چون در فضای پست بین تپه‌ها استقرار یافته‌اند. تاسیسات بخش جنوب غرب شهر هم می‌تواند در معرض نشست زمین قرار داشته باشند چون زیر بنای آنها از رادیولاریت است که یک سازند سست و ناپایدار محسوب می‌شود. نتایج حاصل از مقایسه ۹ متغیر نشان داده است که بخش میانی دشت کرمانشاه حد فاصل بین رودخانه قره سو و رشته کوه سفید در نیمه جنوبی دشت کرمانشاه مناسب ترین پهنه برای توسعه آتی شهر است.

#### ۵- مراجع

- برومند سرخابی، هدایت الله، ۱۳۹۰، در جستجوی هویت شهر کرمانشاه، چاپ اول، سازمان میراث فرهنگی و گردشگری
- نگارش حسین، ۱۳۸۲، کاربرد ژئومورفولوژی در مکان گزینی شهرها و پیامدهای آن، مجله جغرافیا و توسعه، ص ۱۵۰-۱۳۳
- سازمان جغرافیایی نیروهای مسلح، ۱۳۸۱، فهنج چگنی شهرستان کرمانشاه، چاپ اول انتشارات نیروهای مسلح
- IRASEMA Alcantara-ayala (2001). Geomorphology natural hazards.Vulnerability anddeprevention. Of natural disasters in developing countries. Department of civil and engineering
- BEL ManteTJ A.M.Caaasa.(2011) Flood risk assessment and mapping in peri-urban mediterranean environments using hidromorphology ، Application to ephemeral stream in the valenciaregion(eastern spaain) department of geography 189-200
- DAFI A.Avijit.(2004).Geomorphology and the urban building interface between research and usage .university of leeds. School of geograph -

## تأثیر اقدامات نامناسب آبخیزداری بر افزایش روند فرسایش (مطالعه موردی حوزه پلنگ واژ البرز مرکزی)

<sup>۱</sup>صدیقه محبوبی، آبودرکوشکی

دانشگاه پیام نور واحد فسا<sup>۱</sup>

اداره منابع طبیعی و آبخیزداری شهرستان دماوند kooshki2000@yahoo.com

### مقدمه

حوزه آبخیز پلنگ واژ در زون زمین شناسی البرز مرکزی و در جنوب شهرستان دماوند در بخش پنجم تقسیمات ساختمانی آن یعنی زون ترشیاری که مهمترین ویژگی آن وجود سازندهای حساس زمین ساخت مانند سازند کرج و سازندهای منشعب از آن مانند سازند هزار دره است، قرار گرفته است. سازند هزار دره که سیمای اصلی منطقه مورد مطالعه را تشکیل می‌دهد به دلایل مختلف از جمله خشکی منطقه از لحاظ پوشش گیاهی نسبتاً ضعیف و حساس می‌باشد به همین علت کنترل فرسایش و جلوگیری از رسوبدهی آن بخصوص در مناطق پشت سد ماملو از اولویت های کاری آبخیزداری می‌باشد.

امروزه با توجه به فشار بیش از حد عوامل مختلف طبیعی و انسانی در مناطق حساس ژئومورفولوژیکی نوع برنامه ریزی و مدیریت در این مناطق بسیار اهمیت دارد اما گاهی روش‌های نادرست در زمان انجام اقدامات مکانیکی نه تنها کمکی به کنترل فرسایش نخواهد کرد بلکه باعث تشدید این روند خواهد شد. در این تحقیق سعی شده است با مشخص کردن اهمیت موضوع، به ارائه راهکارهای جهت حفظ و پایداری این گونه مناطق حساس پرداخته شود.

### بحث و نتایج

یکی از مهمترین سازندهای موجود در منطقه علاوه بر سازند هزار دره سازند کهریزک می‌باشد سنگهای تشکیل دهنده این سازند از نوع کنگلومرات غیر هم جوش می‌باشند که به علت کمبود مواد سیمانی پیوستگی نسبتاً ضعیفی بین مواد و دانه های ریز و درشت آن وجود دارد. در حوزه پلنگ واژ حدود ۸۰٪ سنگهای منطقه را سنگهای نسبتاً فرسایش پذیر و سست به وجود آورده اند. بر اساس مطالعات انجام گرفته با روش پسیاک PCIAC بیشترین مساحت از سطح منطقه را سنگهای سست و حساس به فرسایش با درجه حساسیت <sup>۹</sup> تشکیل داده است

بررسی گسلهای منطقه نیز می‌تواند نقش اساسی در پایداری سازه های احادیث داشته باشد که وجود آنها می‌تواند باعث بر هم ریختگی زمین منطقه و تخریب سازه های پیوسته و انعطاف ناپذیر مانند سازه های سنگ و ملاتی و خاکی گردد. در منطقه مورد نظر وجود گسلهای رودهن و مملوک در شمال و جنوب منطقه اهمیت موضوع را دو چندان کرده و در زمانهای لرزه خیزی حرکت آنها می‌تواند سبب خرد شدگی و تخریب گردد. اقدامات آبخیزداری در این منطقه می‌باشی با دقت فراوانی انجام گردد چرا که در خیلی موارد دیده شده که اکیپهای کارگری به علت نبود سازندهای سنگی مستحکم، سنگهای درشت تر موجود در سطح حاکهای شبیه دار منطقه را جمع آوری می‌کنند و باعث حساس شدن و تشدید فرسایش آن می‌گرددند به طوری که در بسیاری از موارد بر روی شبیهای گالیهای بزرگ و کوچک در محل سنگهای برداشت شده ایجاد می‌گردد که به مرور زمان با تمرکز جریانات متتمرکز آب و با برداشت شدید رسوبات و حمل به وسیله آبهای جاری تبدیل به دره فرسایشی خواهد شد. در سازه های بزرگ که نیاز به بی کنی گسترده دارند معمولاً از ماشین آلات استفاده می‌گردد. این دستگاهها در هنگام کار جهت سازی و بی کنی معمولاً توجهی به ساختار خاک منطقه و پوشش گیاهی ندارند و با تخریب خاک و پوشش گیاهی منطقه رسوبات زیادی را پراکنده می‌کنند. متاسفانه بارها دیده شده است ماشین آلات بزرگ از جمله لودر و بلدوzer اقدام به رسوبزائی فراوان و به هم ریختگی منطقه می‌کنند که زیانهای ناپذیری بر جای می‌گذارند. بر اساس مطالعات انجام شده بیشترین رسوبات منطقه مربوط به سازندهای هزاردره و کهریزک می‌باشد. در این منطقه وقوع پدیده ریزش به نسبت زیاد دیده می‌شود. مهمترین علت وقوع رسوبهای منطقه جنس ضعیف لایه های سطحی زمین ساخت منطقه و شبیه بالای آن می‌باشد. البته در پاره ای از موارد به علت برداشت خاک و مصالح از پای دامنه ها به دلائل گوناگون از جمله جاده سازی این روند تشدید می‌گردد. در این منطقه به علت وفور

پدیده کریوکلاستی و همچنین بستر مساعد موجود، خزش به فراوانی دیده می‌شود در منطقه پلنگ واژپدیده لغزش دیده نمی‌شود که دلیل اصلی آن عدم وجود آب می‌باشد.

پوشش گیاهی از فاکتورهای مهم حفظ خاک در مقابل فرسایش به شمار می‌رود در این حوضه با توجه به میانبند بودن منطقه جهت عبور دامها در فصول رشد گیاه و فشار بیش از حد دام بر مرتع وضعیت پوشش گیاهی نامناسب بوده و متناسفانه روز به روز بدتر می‌شود که همین عامل باعث تشدید وضعیت فرسایش و رسوبزائی می‌شود.

#### یافته‌ها

ژئومورفولوژی و آبخیزداری اگر موقعیت ژئومورفولوژیک منطقه در نظر گرفته نشود تیجه کارها معکوس خواهد شد. بسیاری از تخریبها و رسوبزائیها به علت توجیه نبودن اکیپهای کاری و مسئولین ماشین الات نسبت به شرایط منطقه و حساسیت خاک و همچنین اهمیت کارهای آبخیزداری می‌باشد. در این شرایط ناظرین پروژه‌های عمرانی از جمله آبخیزداری قبل از شروع پروژه‌ها بایستی اکیپهای کاری را نسبت به اهمیت موضوعات آگاه نموده و با وضع قوانین خاص کارگاهی اجازه هیچ گونه تخریب و بر هم زدن شرایط منطقه را ندهند و همچنین با ارائه کتابچه‌های اصول صحیح کار به سرپرستهای کارگاه آنها را نسبت به مراقبت از منطقه موظف نمایند.

واژگان کلیدی: آبخیزداری، فرسایش، سازند هزاردره

#### منابع و مأخذ

- ۱- احمدی، حسن، ژئومورفولوژی کاربردی، جلد دوم تهران، انتشارات دانشگاه تهران، ۱۳۷۶
- ۲- درویش زاده، علی؛زمین‌شناسی ایران ، تهران، نشر دانش اموز وابسته به انتشارات امیرکبیر، ۱۳۷۰
- ۳- شرکت مشاور زرکشت پایدار، طرح تفضیلی- اجرایی آبخیزداری منطقه پلنگ واژ پائین (گزارش زمین‌شناسی و ژئومورفولوژی، تهران، ۱۳۸۲،
- ۴- شرکت مشاور زرکشت پایدار، طرح تفضیلی- اجرایی آبخیزداری منطقه پلنگ واژ پائین (گزارش فرسایش و رسوب، تهران، ۱۳۸۲
- ۵- نقشه زمین‌شناسی منطقه دماوند، مقیاس ۱:۱۰۰۰۰۰ ، سازمان زمین‌شناسی کشور

## تحلیل فضایی مخاطره زمین لرزه ناشی از توسعه فیزیکی شهر ماهنشان

<sup>۱</sup> منیره معتمدی نیا، <sup>۲</sup> محمد شریفی کیا

<sup>۱</sup> دانش آموخته کارشناسی ارشد ژئومورفولوژی دانشگاه تربیت مدرس، mahmonirmotamed@yahoo.com

<sup>۲</sup> استادیار دانشگاه تربیت مدرس، گروه سنجش از دور، sharifikia@yahoo.com

### - مقدمه

امروزه برای توسعه پایدار شهری یکی از مسائل بسیار مهم لزوم توجه به مخاطرات ژئومورفولوژیکی می‌باشد. در توسعه شهر می‌بایست پهنه‌های برای استقرار مراکز انسانی در نظر گرفته شود که عاری از مخاطره و یا حداقل کم خطر برای ساکنین باشد و این نیازمند بررسی روند توسعه شهر و ساختار مرفوولوژیکی آن می‌باشد توسعه شهر بدون در نظر گرفتن بستر مرفوولوژیکی و مخاطرات آن منجر به توسعه در مناطقی پر مخاطره و معلاً آسیب پذیری ساکنین و مراکز مسکونی و صنعتی شهر می‌گردد. بنابراین در برنامه ریزی های شهری و محیطی توسعه شهر، توجه به مخاطرات مرفوولوژیکی و پی جویی بسترها و تشکیلات بستر شهر و مجاورت آن با مراکز زمین لرزه و گسلهای پیرامون توجه کافی را مبذول داشت تا مراکز مسکونی و صنعتی سازند و هرچند عاری از مخاطرات لرزه‌ای مستقر گردد.(معتمدی نیا، ۱۳۸۹) تحقیق حاضر به بررسی مخاطرات ژئومورفولوژیکی توسعه فیزیکی شهر ماهنشان پرداخته است. شهر ماهنشان در فاصله ۱۱۳ کیلومتری شهر زنجان و در دشت ماهنشان - انگوران - دندی و موقعیت جغرافیایی ۴۷۰۲۸' طول شرقی ۳۶۰۴۶' عرض شمالی و ارتفاع متوسط ۱۳۰۰ متر از سطح دریا واقع شده است. این شهر براساس تقسیمات سیاسی وزارت کشور از مهر ماه ۱۳۷۴ به عنوان شهر شناخته شده است. بدین لحاظ شهری جوان با رشدی فزاینده محسوب شده که به سبب ناامنی نسبی بستر؛ توسعه فیزیکی غیر هدایت شده آن می‌تواند با گسترش شهر در پهنه‌های پر خطر منجر به افزایش ضریب آسیب پذیری و در مواردی فاجعه بارگردد.

### - مواد و روشها

داده‌های مورد استفاده در این پژوهش شامل موارد زیر است:

- نقشه‌های پایه شامل:

- نقشه زمین‌شناسی منطقه مورد مطالعه به مقیاس ۱:۱۰۰۰۰۰

• نقشه رقومی شهر ماهنشان مربوط به سال ۱۳۸۸

- داده‌های سنجش از دوری شامل:

• عکس‌های هوایی سال ۱۳۳۴ با مقیاس ۱:۵۰۰۰۰ عکس هوایی سال ۱۳۶۶ با مقیاس ۱:۶۰۰۰

• تصویر ماهواره‌ای سنجنده کارت‌وتست (IRS\_P5 - Cartosat) مربوط به سال ۲۰۰۸

• تصویر ماهواره‌ای اصلاح شده Landsat ETM+ سنجنده مربوط به سال ۲۰۰۶

- برداشت‌های میدانی از ویژگی‌های مرفوولوژیکی ناحیه و داده‌های میدانی جمع آوری شده به کمک دستگاه GPS برای ثبت نقاط کنترل زمینی (GCP).

- اطلاعات و منابع اسنادی مانند زلزله‌های تاریخی اخذ شده از سایت USGS و اخذ مقالات مرتبط با موضوع از سایت‌های مربوطه.

- نرم افزارهای کامپیوتری: استفاده از مجموعه نرم افزارهای پردازش تصاویر و تولید نقشه برای تهیه نقشه‌های موضوعی تحقیق. پهنه بندی مناطق لرزه خیز از اقدامات مفید جهت کاستن از شدت خسارات ناشی از آن به شمار می‌رود. زیرا بدین وسیله می‌توان استفاده از مناطق پر خطر را محدود ساخت و از احداث بعضی بنها در این محدوده‌ها ممانعت به عمل آورد. اجتناب از مناطق پر خطر یکی از بارزترین روش‌های مدیریت کاربری‌های شهری است. تجزیه و تحلیل مخاطره زمین لرزه به ارزیابی پارامترهای مخاطره زمین لرزه و پتانسیل زمین لرزه‌های آتی نیاز دارد. (Sharifikia, 2009)

با توجه به محدودیت مدل‌های تجربی متکی بر داده‌های غیر لرزه ای به منظور پهنه بندی مخاطرات ناشی از لرزش؛ در این تحقیق، پهنه بندی مخاطره زمین لرزه با استفاده از روش غیر ریاضی و غیر متکی بر تحلیل داده‌های لرزه نگاری صورت پذیرفته است. در این روش که برای اولین بار از سوی شریفی کیا در ایران در ناحیه جنوبی دریای خزر (Sharifikia, 2007) مورد استفاده قرار گرفته است، پهنه بندی خطر لرزه از طریق

تأثیرگذاری سطح شکسته (گسلش) در ایجاد مخاطره در امتداد خط شکستگی و تعديل آن با معکوس فاصله از این سطح صورت پذیرفته است. در این روش ابتدا به کمک تحلیل زمین لرزه‌های تاریخی توان هر گسل در ایجاد دامنه و سطح گسیختگی تعیین می‌گردد. سپس از طریق تکنیک‌های پردازش تصاویر نقشه خط واره‌ها استخراج و پس از تحلیل و فیلتر شدن خط واره‌های موضوع دار مانند شبکه راههای، خطوط نفت و گاز و آبرسانی، درز و ترک سنگها و...، سایر خط واره‌های باقی مانده به کمک نقشه زمین‌شناسی و عملیات پیمایشی درجهت تعیین گسلهای احتمالی مورد بررسی قرارگرفته، در نهایت نقشه گسلهای موجود با افزودن گسلهای احتمالی استخراجی از این تکنیک بهینه گردید. با در اختیار داشتن این نقشه و پذیرش امتداد گسل به عنوان سطح پر خطر برای زیش و رویداد زمین لرزه، از معکوس فاصله برای منطقه بندی اثرگذاری دامنه لرزش به عنوان سطح در مخاطره استفاده شده است. نقشه نهایی حاصل عمل بافرگذاری در محیط GIS است که ناحیه را به کلاسهای مختلف مخاطره لرزه ای تقسیم می‌نماید. مبتنی بر روش فوق برای ارزیابی قابلیت زمین لرزه در محدوده مورد مطالعه داده زمین لرزه‌های تاریخی از چندین مراکز داده زمین لرزه<sup>۱</sup> (USGS, ۲۰۰۴<sup>۲</sup>; IIEES, ۲۰۰۳<sup>۳</sup>) به دست آمد. بدین ترتیب ابتدا گسلهای منطقه‌شناسی شده و سپس مناطق پر خطر اطراف گسل، از طریق دستور بافر در محیط GIS بر مبانی معکوس فاصله و خطر پذیری طبقه بندی شده است. مبنای کمترین میزان فاصله از گسل (۵۰۰ متر) به عنوان سطح پر خطر مبتنی بر شواهد پیمایشی حاصل از پژوهش‌های صورت گرفته توسط شریفی کیا است. (Sharifinia, 2007) با ایجاد بافرهای مختلف برای گسلها ۵ منطقه خطر زمین لرزه (منطقه خطر خیلی زیاد، منطقه خطر زیاد، منطقه خطر متوسط، منطقه خطر کم و منطقه خطر خیلی کم) برای منطقه مورد مطالعه مشخص گردیده است.

بر اساس نقشه گسلها، محدوده مورد مطالعه به ۵ منطقه پهنه بندی خطر زمین لرزه تقسیم شد:

- منطقه خطر خیلی زیاد، برای مناطق با فاصله کمتر از ۵۰۰ متر از گسل
- منطقه خطر زیاد، برای مناطق با ۱ تا ۵۰۰ کیلومتر فاصله از گسل
- منطقه خطر متوسط، برای مناطق با ۱ تا ۲ کیلومتر فاصله از گسل
- منطقه خطر کم، برای مناطق با ۲ تا ۳ کیلومتر از گسل
- منطقه خطر خیلی کم، برای مناطق با فاصله بیشتر از ۳ کیلومتر از گسل

### ۳- بحث و نتایج

نتایج تجزیه و تحلیل بافرگذاری در پهنه‌های معرفی شده نشان می‌دهد که ۴۹/۳۱٪ محدوده در منطقه پر خطر واقع است. این منطقه در حدود ۳۱/۲۵٪ سکونتگاهها با جمعیت ۸۶۸ نفر از مجموع ۷۷۸۷۷ نفر، افراد ساکن در محدوده را شامل می‌شود. دومین منطقه خطر تحت عنوان منطقه خطر زیاد، ۲۲/۴۱٪ از کل محدوده و ۱۸/۷۵٪ سکونتگاهها با ۵/۳۴٪ از کل جمعیت را در بر می‌گیرد. منطقه خطر متوسط ۲۰/۳۴٪ از کل محدوده با ۲۵٪ سکونتگاهها و جمعیت ۴۹۱۹ را پوشش می‌دهد. منطقه کم خطر ۵/۶٪ از کل محدوده و ۲۵٪ از سکونتگاهها را شامل می‌شود. منطقه خیلی کم خطر تنها ۱/۳۷٪ محدوده را در بر می‌گیرد و خالی از سکونتگاه و جمعیت می‌باشد.

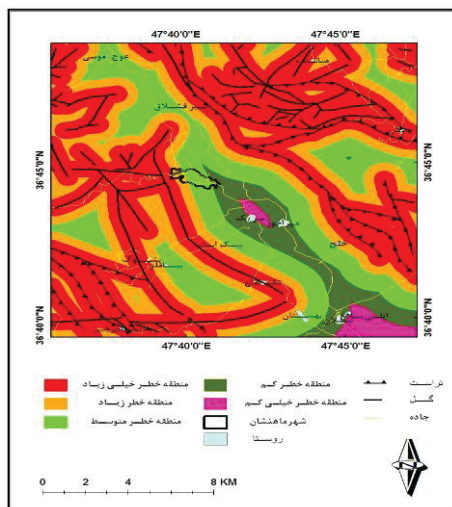
(جدول شماره ۱)(شکل شماره ۱)

جدول ۱: پهنه بندی خطر زمین لرزه

جمعیت در معرض خطر		سکونتگاههای در معرض خطر		مساحت مناطق در معرض خطر		طبقات خطر زمین لرزه
درصد	تعداد	درصد	تعداد	درصد	مساحت	
۱۱/۰۱	۸۶۸	۳۱/۲۵	۵	۴۹/۳۱	۱۴۳	منطقه خطر خیلی زیاد
۵/۳۴	۴۲۱	۱۸/۷۵	۳	۲۲/۴۱	۶۵	منطقه خطر زیاد
۶۲/۴۴	۴۹۱۹	۲۵	۴	۲۰/۳۴	۵۹	منطقه خطر متوسط
۲۱/۱۸	۱۶۶۹	۲۵	۴	۶/۵۵	۱۹	منطقه خطر کم
-	-	-	۰	۱/۳۷	۴	منطقه خطر خیلی کم
۱۰۰	۷۷۸۷۷	۱۰۰	۱۶	۱۰۰	۲۹۰	جمع

<sup>1</sup> United States Geological Survey

<sup>2</sup> International Institute of Earthquake Engineering and Seismology



شکل ۱: پهنه‌بندی مخاطره زمین لرزه

#### ۴- یافته‌ها

بافت شهرماهنشان را از نظر توسعه فیزیکی می‌توان به ۳ قسمت بافت قدیم، بافت میانی و بافت جدید تقسیم کرد. بافت قدیم از زمان پیدایش آن که به صورت یک روستا بوده تا سال ۱۳۳۴، بافت میانی از سال ۱۳۶۶ و بافت جدید از سال ۱۳۶۶ تا زمان حال حاضرا شامل می‌شود. تحلیل فضایی و رویهم گذاری نقشه مخاطره زمین لرزه و نقشه و روند توسعه فیزیکی شهر ماهنشان نشان می‌دهد با توسعه فیزیکی شهرهایی با درجه خطر پذیری افزونترمورد توجه برای ساخت و سازو حتی در مواردی ساخت تأسیسات دولتی قرار گرفته است. یافته‌های تحقیق همچنین نشان می‌دهد که رشد فیزیکی شهر منجر به ساخت و سازها در اراضی پرمخاطره شده است. بطوریکه درصد اراضی شهری واقع در پهنه‌های ییر مخاطره زمین لرزه از سال ۱۳۳۴ تاکنون از رقم ۱۸ درصد به ۴۶ درصد افزایش یافته است. نواحی پرخطر لرزه ای در تمام بستر قدیم و جدید گستردگی دارند و لذا هر توسعه‌ای در این ناحیه بر بستر پرمخاطره لرزه ای واقع خواهد بود.

جدول ۲: روند تغییرات اراضی شهر واقع در پهنه‌های با خطر متوسط و زیاد مخاطره زمین لرزه

مخاطره زمین لرزه		موضوع	
درصد	مساحت(مترمربع)	سال	
۱۸.۰۰	۲۸۹۸۰۴.۳	۱۳۳۴	
۳۵.۸۲	۵۷۶۶۵۹.۳	۱۳۶۶	
۴۶.۱۷	۷۴۳۳۸۸.۴	۱۳۸۸	
۹۹	۹۱.۹۱	۶۶-۳۳	
۲۱.۱۹	۲۱.۹۱	۸۸-۶۶	
۱۵۶.۵	۱۵۶.۵	۸۸-۳۴	٪ برآورد

#### ۵- منابع

- [1] سازمان جغرافیایی نیروهای مسلح، تصویر ماهواره‌ای سنجنده کارت‌توست (IRS\_P5 -Cartosat ) (۲۰۰۸) محدوده مورد مطالعه.
- [2] سازمان جغرافیایی نیروهای مسلح، عکس‌های هوایی ۱:۲۰۰۰۰ (سال ۱۳۳۴) محدوده مورد مطالعه.
- [3] سازمان زمین‌شناسی کشور، (۱۳۸۰) نقشه‌های زمین‌شناسی ۱:۱۰۰۰۰ محدوده مورد مطالعه.
- [4] سازمان نقشه برداری کشور، عکس‌های هوایی ۱:۶۰۰۰ (سال ۱۳۶۶) محدوده مورد مطالعه.

## ارزیابی فعالیت‌های انسانی بر کارست‌های منطقه چالوس- تنکابن

امیر صفاری،<sup>۱</sup> شیلا حجه فروشنیا،<sup>۲</sup> زکیه محمدی<sup>۳</sup>

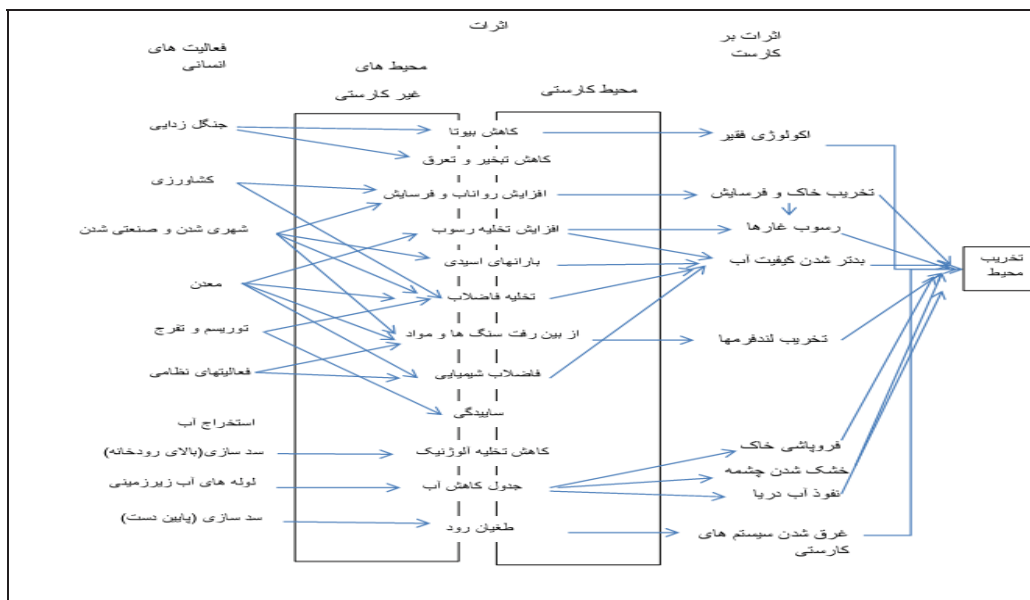
<sup>۱</sup> استادیار گروه ژئومورفولوژی دانشکده علوم جغرافیایی، دانشگاه خوارزمی Saffari@khu.ac.ir

<sup>۲</sup> دانشجوی دکتری ژئومورفولوژی دانشکده علوم جغرافیایی، دانشگاه خوارزمی std\_hajehforoosh@tmu.ac.ir

<sup>۳</sup> دانشجوی دکتری ژئومورفولوژی دانشکده علوم جغرافیایی، دانشگاه خوارزمی

### مقدمه

اکوسیستم‌های کارستی بسیار حساس و شکننده هستند و با توجه به شدت و وسعت آسیب‌های وارد نیازمند زمان بسیار طولانی برای ترمیم و بازسازی خود هستند و همین امر حساسیت موضوع را افزایش می‌دهد. در حالت کلی جهت نگهداری و مدیریت این منابع باید به دو دیدگاه حفاظت کلی و حفاظت منطقه‌ای روی آورد. مناطق و منابع کارستی در کشور عمله منبع تامین کننده آب شیرین کشور هستند و سالانه میلیاردها متر مکعب آب از آنها بهره‌برداری می‌شود. این موضوع و همچنین درآمد ناشی از فعالیت‌های توریستی و گردشگری و اثرات اقتصادی آنها در پیشرفت و توسعه منطقه‌ای را نشان می‌دهد. هدف از این پژوهش بررسی نقش فعالیت‌های انسانی در شهری شدن، ایجاد مناطق مسکونی، فعالیت توریسم، جنگل زدایی، کشاورزی اراضی در محیط‌های کارستی می‌باشد. با تهیه نقشه کاربری اراضی و ترکیب طیفی باندهای مختلف تصاویر ETM می‌توان به تغییر کاربری ها و تاثیر آن در کارست‌ها پی برد. فعالیت روی زمین‌های غیرکارستی اغلب بر کارست تاثیر می‌گذارد، چراکه رواناب‌های آلودگی، آلودگی را منتقل می‌کنند. حفظ چشم‌اندازهای کارستی و تنوع زیستی در این مناطق می‌تواند از مناظر مختلفی دوستداران طبیعت و به ویژه سازمان‌های مردم نهاد را متوجه ارزش و اهمیت کارست سازد. تغییر کاربری‌های فزاینده و بتنه غیراصولی می‌تواند با سرعتی باور نکردنی سیلی از آلوده‌سازها را روانه آبخوان‌های کارستی نماید. با ایجاد ساختار قانونی و به ویژه وضع قوانین بروز و کارامد، می‌توان تضمین قانونی برای حفاظت از منابع کارستی ایجاد کرد. شکل شماره ۱ اثرات فعالیت‌های انسانی مثل جنگل زدایی، کشاورزی، شهری و صنعتی شدن، معدن، توریسم و تفرج، فعالیت‌های نظامی، استخراج آب، سدسازی بر محیط‌های کارستی و غیر کارستی را نشان داده که پیامدهای آن باعث تخریب محیط زیست می‌شود.



شکل(۱) ساختار فعالیت‌های انسانی بر محیط‌های کارستی و غیر کارستی

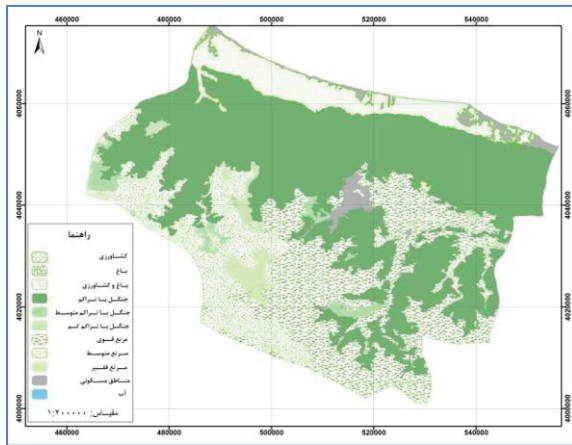
## مواد و روش

منطقه مورد مطالعاتی قسمتی از غرب استان مازندران (چالوس و تنکابن) می‌باشد که به لحاظ داشتن کارست، حدوداً ۲۷٪ از کل کارست‌های منطقه مازندران را به خود اختصاص داده است. نقشه کاربری اراضی منطقه مورد مطالعه‌ها استفاده از تصویر ماهواره‌ای ETM سال ۲۰۰۷ تهیه شد (شکل شماره ۲). مساحت هر یک از کاربری‌ها در جدول شماره ۱ محاسبه شد.

جدول (۱) مساحت کاربرهای اراضی

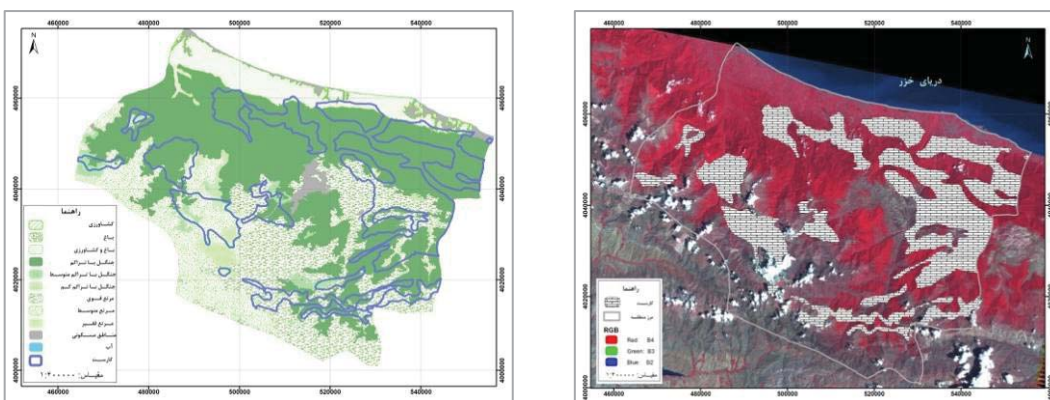
نوع کاربری	مساحت (Km <sup>2</sup> )	مساحت%
کشاورزی	۳۰۹.۷۴	۷۸.۸
باغ	۰.۴۳	۰.۰۱
باغ و کشاورزی	۱۴۰.۰۸	۰.۳۶
جنگل با تراکم بالا	۱۹۱۸.۸۸	۴۸.۸۴
جنگل با تراکم متوسط	۷۱.۱۷	۱.۸۱
جنگل با تراکم پایین	۳۲.۱۳	۰.۸۲
مرتع قوی	۸۶۵.۵۹	۲۲.۰۳
مرتع متوسط	۵۵۱.۳۷	۱۴.۰۳
ضعیف	۵۳.۶۱	۱.۳۶
منطقه مسکونی	۱۱۰.۳۷	۲۸.۱
آب	۱.۲۳	۰.۰۳

شکل (۲) نقشه کاربری اراضی



## بحث و نتیجه‌گیری

در راستای شناسایی مناطق کارستی مورد مطالعه با توجه به پوشش متراکم جنگلی، امکان استفاده از سنجش از دور با بهره گرفتن از تصاویر ماهواره‌ای چند طیفی وجود ندارد، چرا که برای شناسایی پدیده‌ها در سطح، ما احتیاج به انعکاس به دست آمده از آن پدیده داریم؛ به همین دلیل زمانی که یک منطقه با پوششی مثل ابر یا پوشش متراکم جنگلی پوشانیده شده است، این امر امکان پذیر نمی‌باشد، لذا در این پژوهش موقعیت کارست‌های منطقه با توجه به نقشه زمین شناسی و برداشت نقاط از روی سطح زمین تهیه شد (شکل شماره ۳). سهم مناطق کارستی در هر کاربری توسط ArcGIS نرم افزار ZonalStatistic محاسبه شد و نتایج آن در جدول شماره ۲ ارائه گردیده است.



شکل (۳) موقعیت کارست‌های منطقه در تصاویر ماهواره‌ای (سمت راست) و بر روی نقشه کاربری اراضی (سمت چپ)

همچنین با استفاده از مدل ارتفاع رقومی منطقه، سهم هر طبقه ارتفاعی در کاربری مسکونی نیز محاسبه گردید، که نتایج آن در جداول شماره ۳ و ۴ ارائه گردیده است.

جدول (۳): درصد مساحت‌های سازندهای کارستی در طبقات ارتفاعی

طبقات ارتفاعی	مساحت (متر مربع)	مساحت (کیلو متر مربع)	درصد مساحت سازندهای کارستی در هر طبقه ارتفاعی
۲۱-۳۰	۱۶۹۲۳۶۰	۱.۶۹	۱.۶۳
۳۰-۲۰۰	۵۱۰۷۷۰	۵.۱۱	۴.۹۱
۲۰۰-۵۰۰	۱۰۷۸۹۴۷۰	۱۰.۷۹	۱۰.۳۶
۵۰۰-۱۰۰۰	۲۰۹۵۹۴۸۰	۲۰.۹۶	۲۰.۱۳
۱۰۰۰-۱۵۰۰	۲۰۵۲۴۳۲۰	۲۰.۵۲	۱۹.۷۲
۱۵۰۰-۲۰۰۰	۱۶۸۶۷۵۳۰	۱۶.۸۷	۱۶.۲۰
۲۰۰۰-۲۵۰۰	۱۰۵۹۷۵۹۰	۱۰.۵۰	۱۰.۱۸
۲۵۰۰-۳۰۰۰	۸۰۲۱۹۷۰	۸.۰۲	۷.۷۱
۳۰۰۰-۳۵۰۰	۴۰۰۹۴۱۰	۴	۳.۸۵
۳۵۰۰-۴۰۰۰	۴۱۹۷۱۵۰	۴.۲۰	۴.۰۳
۴۰۰۰-۴۵۰۰	۱۳۳۲۴۵۰	۱.۳۳	۱.۲۸
	۱۰۴۰۹۹۴۰۰	۱۰۰	۱۰۰

جدول (۲): سهم کارست‌های منطقه در کاربری اراضی

نوع کاربری	مساحت کارست	٪ کارست
کشاورزی	۲۶.۱۶	۲.۵۰
باغ	۰	۰
باغ و کشاورزی	۷.۶۷	۰.۷۴
جنگل با تراکم بالا	۶۷۱.۴۲	۶۴.۶۰
جنگل با تراکم متوسط	۲۲	۲.۱۱
جنگل با تراکم پایین	۱۲.۷۷	۱.۲۲
مرتع قوی	۱۸۰.۴۹	۱۷.۳۶
مرتع متوسط	۱۰۰.۵۶	۹.۶۴
ضعیف	۱۲.۳۳	۱.۲۸
مناطق مسکونی	۵.۴۶	۰.۵۳
آب	۰.۲۲	۰.۰۲

جدول (۴): سهم هر طبقه ارتفاعی در کاربری مسکونی

(M2) طبقات ارتفاعی	(Km2) مساحت مناطق مسکونی	درصد مساحت مناطق مسکونی
۲۱-۳۰	۵.۹۳	۵۳.۸۸
۳۰-۲۰۰	۰.۴۹	۴.۴۱
۲۰۰-۵۰۰	۰.۰۳	۰.۲۶
۵۰۰-۱۰۰۰	۰.۱۳	۱.۲۰
۱۰۰۰-۱۵۰۰	۳.۷۸	۳۴.۳۳
۱۵۰۰-۲۰۰۰	۰.۴۲	۳.۸۶
۲۰۰۰-۲۵۰۰	۰.۱۳	۱.۲۱
۲۵۰۰-۳۰۰۰	۰.۰۹	۰.۷۸
۳۰۰۰-۳۵۰۰	۰.۰۱	۰.۰۸
	۱۱.۰۰	۱۰۰

بررسی طبقات ارتفاعی نشان می‌دهد که در حدود ۵۶ درصد کارست‌های منطقه در ارتفاع ۵۰۰ تا ۲۰۰۰ متری، ۱۶ درصد در ارتفاع زیر ۵۰۰ متری، و ۲۸ درصد در ارتفاع بالای ۲۰۰۰ متری قرار گرفته است. این در حالی است که حدود ۵۴ درصد از مناطق مسکونی در طبقه ارتفاعی ۲۱ تا ۳۰ متری قرار دارند، بنابراین در حال حاضر مناطق مسکونی تاثیر کمی در ایجاد صدمات به مناطق کارستی دارند. توسعه مناطق شهری به ارتفاعات بالاتر به خصوص در ارتفاعات ۵۰۰ تا ۲۰۰۰ متری می‌تواند خطر ساز باشد، بنابراین به عنوان یک اقدام پیشگیرانه در برنامه‌ریزی‌ها، بایستی از توسعه مناطق شهری در این طبقات ارتفاعی جلوگیری شود.

حدود ۶۴۶ درصد از کارست‌های منطقه مورد مطالعه در کاربری جنگل قرار گرفته و در حال حاضر این محدوده‌ها به صورت بکر می‌باشند؛ ولذا کارست‌های این مناطق تقریباً دست نخورده می‌باشند. به علت جاذبه‌های توریستی جنگل‌ها، وجود منطقه حفاظت شده بلس کوه و جاذبه

توريستي علم کوه در آينده نه چندان دور امكان از بين رفتن محيط‌های کارستی که در اين نواحی واقع شده است، وجود دارد. کارست‌ها در کاربری شهری حدود ۵۳٪ درصد را به خود اختصاص داده‌اند. مشاهده بصری تصاویر GoogleEarth، نشان دهنده افزایش کاربری‌های کشاورزی‌باغ و توسعه مناطق مسکونی در سال‌های اخیر می‌باشد. در نتیجه مساحت کاربری شهری در مناطق کارستی و اطراف آن‌ها نسبت به سال‌های گذشته افزایش یافته است؛ اين قضایا می‌تواند معرف امكان تخریب کارست در اين مناطق باشد، چرا که افزایش جمعیت و توسعه آن باعث افزایش فاضلاب، رواناب‌ها و فرسایش، تخلیه رسوب، باران اسیدی و متعاقباً از بين رفتن سنگ‌ها، تخریب خاک و فرسایش رسوب در غارها و نهایتاً تخریب محیط زیست می‌شود.

تنوع ژئومورفولوژیکی کارست می‌تواند در ساختن الگوهای بهینه برای توسعه پایدار مدنظر قرار گیرد. کارست فرصت‌های زیادی را برای گردشکری فراهم می‌کند. با برنامه ریزی منسجم و اصولی می‌توان به بهره برداری از منابع کارستی پرداخت. فعالیت‌های انسانی باعث آلودگی آبهای زیرزمینی و اثرآن بر جوامع بشری امری ناگوار و در عین حال معضلی به شدت تهدید کننده می‌باشد. جنگل زدایی، دفن پسماندها، زباله‌های شهری، کشاورزی، شهری شدن، توریسم از فعالیت‌های مخرب کارست محسوب می‌شوند. بدون شک حفاظت از چشم‌اندازهای کارستی یک منطقه می‌تواند برای پرهیز از گسترش آلودگی و به ویژه استفاده نامتعارف از منابع کارستی را کاهش دهد.

#### مراجع:

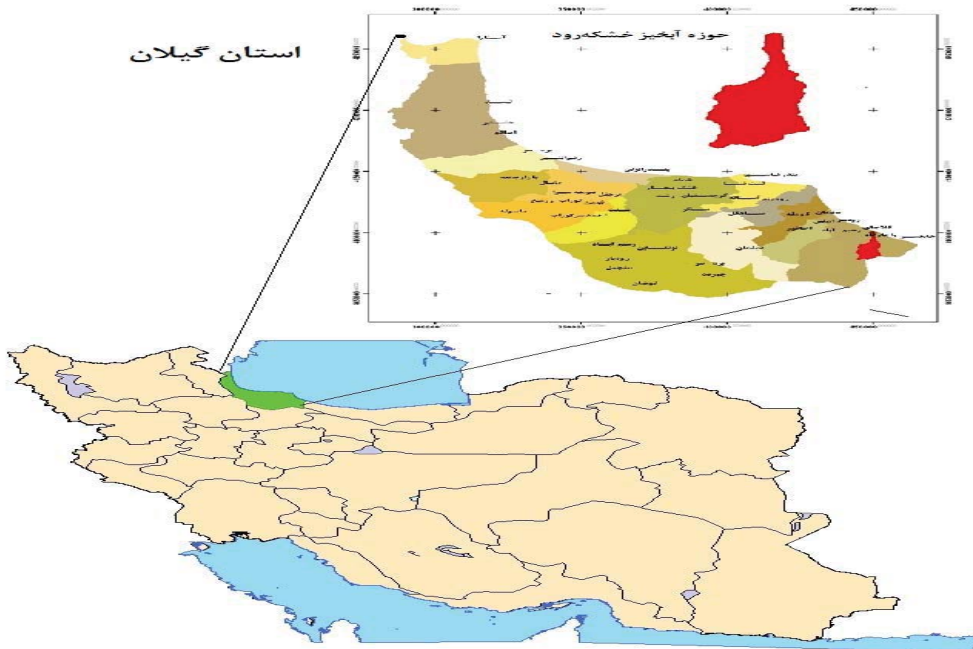
- آغاسی، عبدالوحید-ترجمه(۱۳۷۸)، هیدرولوژی کارست، تالیف میلانویچ، انتشارات طرح تهیه استاندارد های مهندسی آب کشور
- چیت سازان، منوچهر، کشکولی، حیدرعلی- مترجم(۱۳۸۱)، مدل سازی آبهای زیرزمینی و حل مسائل هیدرولوژی، تالیف: نون کرسیک، انتشارات دانشگاه شهید چمران اهواز.
- کریمی وردنجانی، حسین، ۱۳۸۹، هیدرولوژی کارست، انتشارات ارم شیراز، چاپ اول
- Ford, D.C. & Williams, P.W. ۲۰۰۷. Karst Geomorphology and Hydrology, London and Boston:UnwinHyman
- Gams, I. 1993. Origin of the term “karst”, and transformation of the classical karst (kras).Environmental Geology, 21(3):110–14
- Sener, E., A. Davraz, and M. Ozcelik. (2005) . An integration of GIS and remote sensing in groundwater investigations: A case study in Burdur, Tu rkey. Hydrogeology Journal, 13(5-6): 826-834
- White, W. B.( 1988)" Geomorphology and hydrogeology of karst terrains",Oxford University Press, Oxford
- Watson, J., Hamilton-Smith, E., Gillieson, D. and Kiernan, K) . eds (۱۹۹۷) Guidelines for Cave and Karst Protection , International Union for the Conservation of Nature and Natural Resources, Gland, ۹۲pp .

## تحلیل عددی - فیزیوگرافیکی حوضه آبخیز خشکه رود به منظور برآورد پتانسیل سیل خیزی با تاکید بر ویژگیهای ژئومورفولوژیک

حسین قنبری ، استادیار دانشگاه پیام نور گیلان khgh540@yahoo.com

### -۱ مقدمه

سیل جزء آن دسته از مخاطرات طبیعی است که یا بر اساس شرایط طبیعی حاکم بر یک محیط و بر اثر عوامل طبیعی بقوع می‌پیوندد و یا هم انسان می‌تواند با فعالیت‌هایش و تغییرات در چهره طبیعت بر تکرار وقوع و شدت و ضعف آن تاثیر بگذارد. فیزیوگرافی و ویژگیهای ژئومورفولوژیک یک حوضه به همراه ویژگی‌های اقلیمی منطقه‌ای که در آن قرار گرفته است از یک سو و شکل، وسعت، شیب بستر، بستر رودخانه و بارش‌های ۲۴ می‌توانند جزء عواملی باشند که در سیل خیز بودن یا نبودن یک منطقه موثر باشد. حوضه مورد مطالعه از شرقی‌ترین حوضه‌های استان گیلان است (شکل یک). این حوضه بخشی از شهرستان رودسر می‌باشد که از شرق به شهر چابکسر و از سمت شمال غربی به شهر واجارگاه منتهی می‌گردد. براساس مختصات جغرافیایی UTM، این حوضه بین طول شرقی ۴۴۵۰۹۶ و ۴۴۹۸۵۸ متر و عرض شمالی ۴۰۸۳۶۷۴ متر و ۴۵۲۹۶۷ متر واقع گردیده است. بلندترین نقطه ارتفاعی حوضه ۳۶۰ متر و پست ترین نقطه آن ۲۹۰ متر از سطح دریای آزاد می‌باشد. مساحت کل حوضه ۱۱۰۶۶ هکتار، پیرامون آن ۳۱۳۰۴۷ متر و طول بلندترین آبراهه ۳۵۲۵ متر می‌باشد. متوسط دمای سالانه ۱۰ درجه سانتیگراد و بارندگی سالانه ۶۶۲ میلیمتر است.



شکل یک نقشه موقعیت حوضه آبخیز خشکه رود

### -۲ مواد و روشها

برای مطالعات فیزیوگرافی از نقشه‌های توپوگرافی با مقیاس ۱:۲۵۰۰۰ و عکس‌های هوایی با مقیاس ۱:۴۰۰۰۰ استفاده شده است. در بخش اقلیم از داده‌های ۳۰ ساله ۱۳۵۵-۱۳۸۵ سازمان هواشناسی استان گیلان استفاده شده است. برای بدست آوردن شکل و ویژگیهای ژئومورفولوژی حوضه، از روی لایه رستری DEM ویژگیهای ارتفاعی، شیب، و مانند اینها در نرم افزار Arcgis 10.1 ترسیم شد. سپس خصوصیات فیزیوگراف حوضه نظری شکل، مساحت و سطوح ارتفاعی با توجه به نقشه توپوگرافی ۱:۲۵۰۰۰ در محیط نرم افزار فوق محاسبه شد و نهایتاً لایه‌های پوشش گیاهی، خاک و رودخانه‌ها و آبراهه‌ها به آن اضافه شد. به منظور مطالعه

دقیق تر این حوضه با توجه به ویژگی‌های توپوگرافیک و شبکه آبراهه‌ها، به ۳۴ زیرحوضه (۲۶ زیر حوضه هیدرولوژیک با حرف H و ۷ زیر حوضه غیرهیدرولوژیک با حرف N) تقسیم بندی شده است.

### ۳- یافته‌های پژوهش

برای محاسبه پتانسل سیل خیزی مواردی مانند بارش ۲۴ ساعته، بارش مازاد، زمان پایه، زمان تمرکز و شماره منحنی CN با استفاده از روش سازمان حفاظت خاک آمریکا SCS مورد مطالعه قرار گرفت. روش (S.C.S) با توجه به پارامترهای کاربری اراضی، رخنمونهای سنگی، گروه

هیدرولوژیکی خاک، وضعیت هیدرولوژیکی حوضه، پوشش نباتی و CN به دست می‌آید. CN عددی بین صفر تا ۱۰۰ است هر چه به صد نزدیک تر باشد ارتفاع رواناب بالاتر می‌شود. در نهایت هیدرولوگراف سیل برای شش دوره زمانی ۲، ۵، ۱۰، ۲۵، ۵۰، ۱۰۰ ساله برای حوضه محاسبه شد.

برای رسیدن به نتیجه‌ای مطلوب و مناسب در روش SCS موارد زیر در این پژوهش مورد محاسبه قرار گرفت:

- تعیین زمان تمرکز هر یک از واحدهای هیدرولوژیکی - محاسبه ارتفاع بارندگی در زمان تمرکز بر حسب میلیمتر.

- تعیین مقدار CN (شماره منحنی) به کمک جداول با توجه به شاخصهای طبیعی منطقه و گروههای هیدرولوژیکی خاک با استفاده از گزارش خاکشناسی و گیاه‌شناسی. - محاسبه ضریب نگهداشت حوضه (S) بر حسب میلیمتر.

- تعیین عمق رواناب از روش S.C.S - محاسبه زمان تاخیر و تعیین زمان بارش خالص.

- محاسبه زمان و دبی اوج در هیدرولوگراف واحد. - محاسبه دبی سیلابی بر حسب مترمکعب بر ثانیه

- مقدار شدت بارندگی در زمان تمرکز هر یک از زیر حوضه‌ها که با استفاده از داده‌های گزارش هواشناسی نوشته شده است.

### ۴- بحث و نتیجه‌گیری

این پژوهش بر مبنای محاسبه چند شاخص در یک حوضه آبخیز تلاش دارد میزان خطرپذیری این حوضه را در برابر سیل و در واقع سیل خیزی آن را محاسبه نماید. بصورت کوتاه و اجمالی نتایج حاصل از این پژوهش و خروجی داده‌های ناشی از محاسبات به روش SCS در این مدل عبارتند از:

مقدار CN در تمام زیر حوضه‌ها حداقل ۷۹ و حداکثر ۸۶ بوده است، با توجه به این هر چه مقدار منحنی عددی نزدیک به صد را داشته باشد سیل پذیری آن بالاتر خواهد بود پس این شاخص در این پژوهش معنی دار می‌شود. شاخص دیگر زمان تمرکز است که در این پژوهش ۲.۲ ساعت بدست آمده، و در نهایت دو شاخص اوج دبی که ۱.۲ ساعت و ضریب سیل خیزی ۶.۰ بدست آمده است.

با توجه به خروجی دادها می‌توان نتیجه‌گیری کرد که این حوضه از توان سیل خیزی بالایی برخوردار است.

### ۵- منابع و مأخذ

۱- بهزاد اردوان، ۱۳۹۰، برآورد سیلاب دو حوضه زیلکی و فیره رود، فصلنامه سرزمین، سال هشتم، شماره ۳۰ تابستان ۱۳۹۰

۲- علیزاده امین، ۱۳۸۹، اصول هیدرولوژی کاربردی، انتشارات آستان قدس، مشهد

۳- مهدوی محمد، ۱۳۸۹، هیدرولوژی کاربردی، دانشگاه تهران، جلد اول، چاپ هفتم

۴- مهدوی محمد، ۱۳۸۹، هیدرولوژی کاربردی، دانشگاه تهران، جلد دوم، چاپ هفتم

۵- وزارت نیرو، سازمان آب منطقه‌ای گیلان، دوره آماری ۱۳۸۵-۱۳۵۵، ایستگاه بارن سنجی تبخیر سنجی با جیگوابر

۶- وزارت نیرو، سازمان آب منطقه‌ای گیلان، دوره آماری ۱۳۸۵-۱۳۵۵، ایستگاه بارن سنجی تبخیر سنجی شاه شهیدان

۷- وزارت نیرو، سازمان آب منطقه‌ای گیلان، دوره آماری ۱۳۸۵-۱۳۵۵، ایستگاه بارن سنجی تبخیر سنجی اسپلی

۸- وزارت نیرو، سازمان آب منطقه‌ای گیلان، دوره آماری ۱۳۸۵-۱۳۵۵، ایستگاه بارن سنجی تبخیر سنجی موسی کلایه

9-K. Geetha & S. K. Mishra & T. I. Eldho & A. K. Rastogi & R. P. Pandey (2008) : SCS-CN-based Continuous Simulation Model for Hydrologic Forecasting , Water Resour Manage (2008) 22:165–190 , DOI 10.1007/s11269-006-9149-5 15.

10- T. Reshma , P. Sundara Kumar, M.J.Ratna Kanth Babu , K. Sundara Kumar (2010 ): Simulation of runoff in watersheds using SCS – CN Muskingum – Gunje method's using Remote Sensing and Geographical Information Systems , International Journal of Advanced Science and Technology , Vol. 25 16.

## عوارض ژئومورفولوژی و محدودیت‌های توسعه فیزیکی شهر (منطقه مورد مطالعه: شهر جوانرود)

۱- امجد ملکی ۲- مهین دهساری

۱- دانشیار گروه جغرافیای دانشگاه رازی کرمانشاه  
[www.amjad-maleki@yahoo.com](mailto:www.amjad-maleki@yahoo.com)

۲- دانشجوی کارشناسی ارشد ژئومورفولوژی  
[www.mdehsari@yahoo.com](mailto:www.mdehsari@yahoo.com)

۱- مقدمه

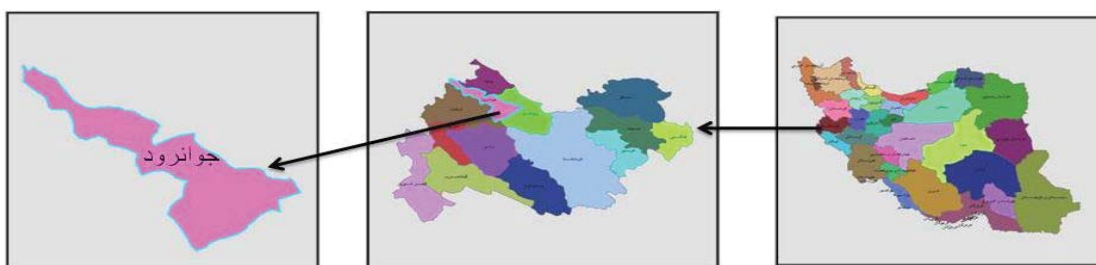
توسعه فیزیکی شهر فرایندی پویا و مداوم است که طی آن محدوده‌های فیزیکی شهر و فضاهای کالبدی آن در جهات عمودی و افقی، از حیث کمی و کیفی افزایش می‌یابد و اگر این روند سریع و بی برنامه باشد، به ترکیب فیزیکی مناسبی برای فضاهای شهری نخواهد انجامید در نتیجه سیستمهای شهری را با مشکلات عدیده‌ای مواجه خواهد ساخت (حسینیان و همکار، ۱۳۸۶).

توسعه فیزیکی شهرها در ارتباط مستقیم با بستر طبیعی و عوارض ژئومورفولوژی است. توسعه شهرها در مناطق کوهستانی بدليل محدودیتهای ژئومورفولوژیکی و ناپایداری دامنه‌ها از حساسیت بالائی برخوردار است (رضائی و همکار، ۱۳۸۹).

منطقه مورد بررسی در این تحقیق شهر جوانرود است. هدف از این تحقیق بررسی میزان تناسب و عدم تناسب توسعه شهردر ارتباط با عوامل ژئومورفولوژیکی در سه دوره ژمانی گذشته (۳۴-۴۶)، (۴۶-۷۱) و (۷۱-۸۹) است.

۲- مواد و روشها

شهر جوانرود (مرکز شهرستان جوانرود) به مساحت ۱۹۵.۱۹ کیلومترمربع در فاصله ۸۱ کیلومتری از شهر کرمانشاه (مرکز استان) واقع شده است. شهر جوانرود در طول جغرافیایی ۲۶ درجه و ۲۹ دقیقه و عرض جغرافیایی ۳۴ درجه و ۴۸ دقیقه واقع شده است. به لحاظ زمین‌شناسی محدوده جوانرود، در زون زاگرس چین خورده، در حاشیه منطقه رورانده مرسوم به تراست زاگرس قرار دارد (مهندسان مشاور تدبیر شهر، ۱۳۸۹).



شکل(۱): نقشه موقعیت شهر جوانرود

روش بکار گرفته شده در این تحقیق، جدای از بررسی منابع و عملیات میدانی بر روشن توصیفی - تحلیلی نرم افزاری تاکید دارد. در راستای شناسایی عوارض ژئومورفولوژیکی تاثیرگذار از قبیل جریان آبهای سطحی، پادگانه‌های رودخانه‌ای، حرکات دامنه‌ای (لغزش) و گسل در توسعه‌ی شهر جوانرود از مشاهدات میدانی و روشن کتابخانه‌ای به شرح زیر استفاده شده است:

ابتدا داده‌های مورد نیاز که شامل نقشه تپیوگرافی، عکس‌های هوایی (سالهای ۴۶، ۳۴ و ۷۱)، تصویر ماهواره‌ای (سال ۸۹) و نقشه‌های زمین‌شناسی منطقه، جمع آوری گردید و با کمک مشاهدات میدانی، نقشه ژئومورفولوژی با استفاده از نرم افزار

تله‌یه گردید. سپس به کمک عکس‌های هوایی و تصویر ماهواره‌ای اقدام به تهیه نقشه تغییرات محدوده شهر جوانرود GIS

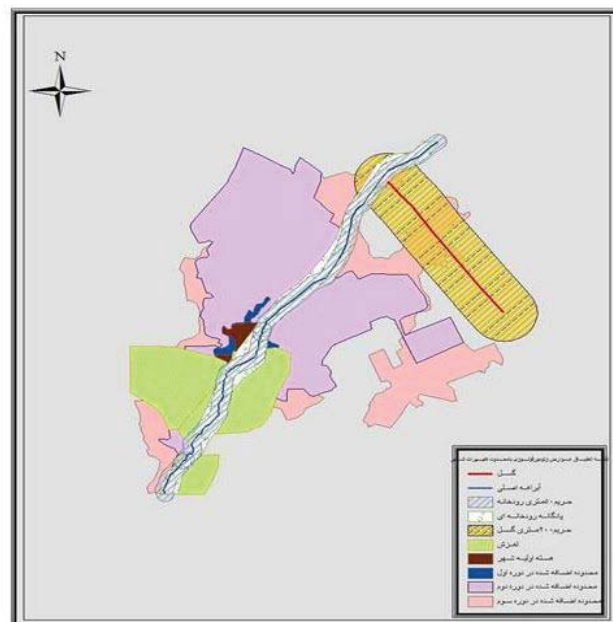
(در سه دوره ژمانی مورد نظر) و تهیه لایه‌های اطلاعاتی، شامل پراکنش لغزش، نقشه فاصله از گسل (فاصله ۲۰۰ متر)، نقشه فاصله از آبراهه (فاصله ۵۵۰ متر) و نقشه پادگانه رودخانه‌ای در محیط سیستم اطلاعات جغرافیایی شد و شناسایی و محاسبه محدوده‌های نامناسب و مناسب توسعه یافته در ارتباط با عوارض ژئومورفولوژی در دوره‌های مطالعاتی گردیده است.

۳- بحث و نتایج

پدیده‌های ژئومورفولوژیکی که در شهرها در جوار آنها قرار می‌گیرند و تا اندازه‌ای شکل و جهت توسعه آنها را متاثر می‌سازند، متعدد می‌باشند، در ارتباط با منطقه مطالعه شده، تنگناهای ژئومورفولوژیکی از قبیل جریان آبهای سطحی، حرکات دامنه‌ای در داخل و مناطق مسلط به شهر و ناپایداری‌های ناشی از ویژگیهای زمین‌شناسی از قبیل وجود گسل‌های منطقه‌ی تجزیه و تحلیل شده است. بنایاً پس از تهیه نقشه ژئومورفولوژیکی و تطبیق آن با محدوده شهر در دوره‌های مختلف (شکل ۲) نشان می‌دهد که چه مساحتی از محدوده شهر در دوره‌های مختلف بر روی عوارض خطر ساز قرار گرفته‌اند که در جدول (۱) ارائه شده است.

جدول شماره (۱)

دوره سوم	دوره دوم	دوره اول	واحد مساحت	دوره تغییرات
۸۴۹۰ ۴۷	۵۲۱۰۶۱۲	۴۴۶۶۹	متر مربع	مساحت اضافه شده به شهر
۸۰/۸۲	۱۴۸۳	۴/۳۵	درصد	
۷۷۵۹ ۵	۱۲۲۲۲۰	۱۹۴۹۰	متر مربع	مساحت محدوده شهر
۹/۳۶	۸/۷۶	۴۳/۶۳	درصد	بر روی بلگاه رودخانه‌ای
۱۵۳۹ ۵۲	-	-	متر مربع	مساحت محدوده شهر
۱۸/۰۷	-	-	درصد	بر روی حريم ۲۰۰ متری گسل
۸۲۴۲ ۸	۱۲۴۷۵۰	۱۷۴۲۴	متر مربع	مساحت محدوده شهر
۹/۹۵	۸/۲۰	۳۹	درصد	بر روی حريم ۵ متری آبراهه
۷۰۵۵ ۹	۲۵۷۶۸۵	۱۵۱۰۱	متر مربع	مساحت محدوده شهر
۸/۵۱	۱۶/۹۳	۲۳/۹۲	درصد	بر روی لذوف



شکل(۲): انتباخ عوارض ژئومورفولوژی خطرساز با محدوده تغییراتی شهر

نتایج حاصل از تحلیل جداگانه تطبیق هر یک از لایه‌های تغییرات محدوده شهر در دوره‌های مختلف با اطلاعاتی که در جدول (۱) ارائه شده است، نشان می‌دهد که بیشترین توسعه شهر در دوره سوم صورت گرفته است. و در دوره اول توسعه شهر بیشتر بر روی عوارض خطرساز ژئومورفولوژیکی قرار داشته است بطوریکه ۲۴/۵۵ درصد از کل مساحت اضافه شده در این دوره بر روی عوارض خطر ساز همچون پادگانه، حريم آبراهه و لغزش قرار گرفته است و این بیان کننده این مطلب است که در این دوره توسعه شهر غیراصولی صورت گرفته است. و در عوض در دوره دوم با ۷۵/۲۱ درصد از کل مساحت اضافه شده، کمترین توسعه را بر روی عوارض خطرساز ژئومورفولوژیکی داشته است و توسعه شهر در این دوره تقریباً "اصلی" صورت گرفته است.

۴- کلمات کلیدی: سیستم اطلاعات جغرافیایی - تنگناهای ژئومورفولوژیکی - توسعه شهر - جوانرود .

#### ۵- منابع

- [۱] رضایی، پرویز و همکار؛ محدودیتهای ژئومورفولوژیکی های توسعه فیزیکی شهر رودبار؛ فصل نامه جغرافیای طبیعی؛ سال سوم؛ شماره ۷؛ بهار ۱۳۸۹.
- [۲] محمد حسینیان، شهرام و همکار؛ مکانیابی بهینه کاربری اراضی شهری با استفاده از سیستمهای اطلاعات جغرافیایی؛ هماشش ژئوماتیک؛ ۱۳۸۶.
- [۳] مهندسان مشاور تدبیر شهر؛ طرح توسعه و عمران (جامع) شهر جوانرود؛ سازمان مسکن و شهرسازی استان کرمانشاه؛ ۱۳۸۹.
- [۴] نقشه توپوگرافی مقیاس ۱/۵۰۰۰۰؛ محدوده مورد بررسی؛ سازمان نقشه برداری کشور.
- [۵] نقشه‌های زمین‌شناسی جوانرود مقیاس ۱/۱۰۰۰۰؛ سازمان زمین‌شناسی و مدیریت اکتشاف و استخراج گاز ملی ایران .

## بررسی شاخص فرسایندگی باران در حوضه آبخیز رزین

<sup>۱</sup>دکتر مهران مقصودی، <sup>۲</sup>سحر دارابی

دانشیار گروه جغرافیای طبیعی دانشگاه تهران، Tehran, maghsud@ut.ac.ir

دانشجوی کارشناسی ارشد ژئومورفوگلوبی، دانشگاه تهران، sdarabi@ut.ac.ir

### مقدمه

یکی از مهم‌ترین عوامل در فرسایش آبی، عامل فرسایندگی باران است که از پارامترهای اصلی در مدل RUSEL است. این مدل در مقیاس‌های مختلف استفاده شده و مدل‌های مانند CREAMS بر اساس آن‌ها توسعه یافته است (STATUS & kloghofer, 2003). اگر سایر خصوصیات مؤثر در فرسایش خاک ثابت در نظر گرفته شوند، میزان تلفات خاک مستقیماً متناسب با میزان فرسایندگی باران خواهد بود (بیزدانی و همکاران، ۱۳۸۴). فاکتور  $R$  معادل قدرت فرسایش دهنگی باران در شرایط آب و هوایی منحصر به فرد در منطقه IPNW که بیزگیهای بارشی فصل زمستان و شرایط ذوب و انجماد در سطح خاک وجود دارد توسعه یافته است (Fn et al., 2006) و به عنوان کل انرژی بارش در حداکثر شدت ۳۰ دقیقه‌ای آن محاسبه می‌گردد (zhou et al., 2008). این روش محاسبه با تأکید بر انرژی جنبشی بارش به وسیله ویشمایر تکامل یافت (احمدی، ۱۳۹۰). اما با توجه به اینکه اکثر مناطق دنیا فاقد ایستگاه‌های سینوپتیک و آمار حداکثر بارش هستند فرمول‌های دیگری نیز برای محاسبه قدرت بارش در فرسایش دهنگی ارائه شده است. مور با بررسی ۳۵ ایستگاه در شرق آفریقا شاخص  $EI > 25mm$  را پیشنهاد کرد (onstad & ulsaker, 1984). وان چو شاخص عمومی را برای محاسبه فرسایش دهنگی باران پیشنهاد کرده (Freimund & Renard, 1993). آرنولدز شاخص دیگری را بر اساس فرمول شاخصی را بر اساس نسبت مجذور حداکثر باران ماهانه به باران متوسط سالانه پیشنهاد کرده است (مورگان، ۱۳۶۸). آرنولدز شاخص دیگری را بر اساس نسبت مجذور بارش ماهانه به باران سالانه ارائه داده است که در آن تأثیرات بارشی هر ماه بر فاکتور فرسایش دهنگی مشخص خواهد شد. مورگان بر اساس تحقیقاتی که روی باران‌های مالزی انجام داده رابطه ای بین  $R$  روزانه و مقدار باران روزانه به دست آورد، به طوری که فقط باران روزهایی مورد استفاده قرار گرفت که بیش از ۵۰ میلیمتر در روز و نیز باران‌هایی را بکار برد که  $I > 25mm/hr$  بودند. آرنولدز طی تحقیقاتی که روی باران‌های آفریقا و خاورمیانه داشت به این نتیجه رسید که بین  $R$  و متوسط حداکثر باران ماهانه ( $F = p^2/p = 0.55$ ) وجود دارد. لذا او شاخص فورنیز اصلاح شده را پیشنهاد کرد (Renard & Freimund, 1993) با استفاده از سایر روش‌هایی که از امار شده بارش استفاده نمی‌کنند از ارزش علمی فاکتور کاسته می‌شود اما این روش‌ها برای مناطقی که فاقد آمار هستند بسیار مفید می‌باشند (Fn et al., 2006).

### مواد و روش‌ها

حوزه دشت رزین به مساحت ۱۴۶۸۸/۳۲ هکتار در شمال استان کرمانشاه واقع شده است. مختصات جغرافیایی محدوده مورد مطالعه "۴۵/۹۱ ۴۷ ۰۱ ۴۲/۱۶ ۴۷ ۱۲ طول شرقی و "۳۴/۷ ۳۴ ۴۲ ۳۴ ۲۷/۲" عرض شمالی می‌باشد. در این تحقیق برای محاسبه شاخص فرسایندگی باران از معادله آرنولدز و معادله ویشمایر و اسمیت استفاده شده است (Sharma.v, 2010 & Prasannakumar, 2011). دلیل انتخاب این روش نبود ایستگاه سینوپتیک در منطقه مورد توجه محققین قرار گرفته است. همیستگی بالای شاخص فورنیز اصلاح شده با  $EI_{30}$  در بسیاری از مطالعات انجام شده در دنیا و ایران نظیر Renard و Freimund (1994)، Yu و Ferro (1996)، Aronic (1999)، Rosrwel (1994)، شاهویی و رفاهی (۱۳۷۵)، سپاسخواه (۱۳۷۳) به اثبات رسیده. رابطه امداد شاخص فورنیز اصلاح شده است که در آن  $p_i$  متوسط بارش ماه  $i$  و  $p$  متوسط بارندگی سالانه در طول دوره آماری است پس از انتخاب ایستگاه‌های هواشناسی و بررسی صحت و همگنی آنها نسبت به برآورد بارش سالانه و ماهانه دوره مورد نظر (۱۳۸۱-۱۳۹۰) اقدام شد. سپس شاخص فرسایندگی یاد شده برای هر یک ایستگاه‌ها محاسبه شد و در نرم‌افزار GIS با استفاده از IDW به نقشه تبدیل شدند. اما برای سنجش دقیق از فرمول ویشمایر نیز استفاده شده که نقشه‌های هم باران ماهانه و سالانه ۱۲ بار با استفاده از نرم افزار GIS در فرمول ذکر شده قرار گرفتند و سپس نقشه‌های به دست آمده با هم جمع شدند.

$$R = \sum p_i^2/p$$

$$R = \sum_{i=1}^{12} \left( 1.735 * 10^{10} e^{1.810510 \left( \frac{p_i^2}{p} - 0.001188 \right)} \right) \quad (2)$$

$$EI_{39} = 0.0302 \left( \frac{\sum_{l=1}^{12} I_l^2}{I_p} \right)^{1.02}$$

(۲) رابطه

## یافته‌ها

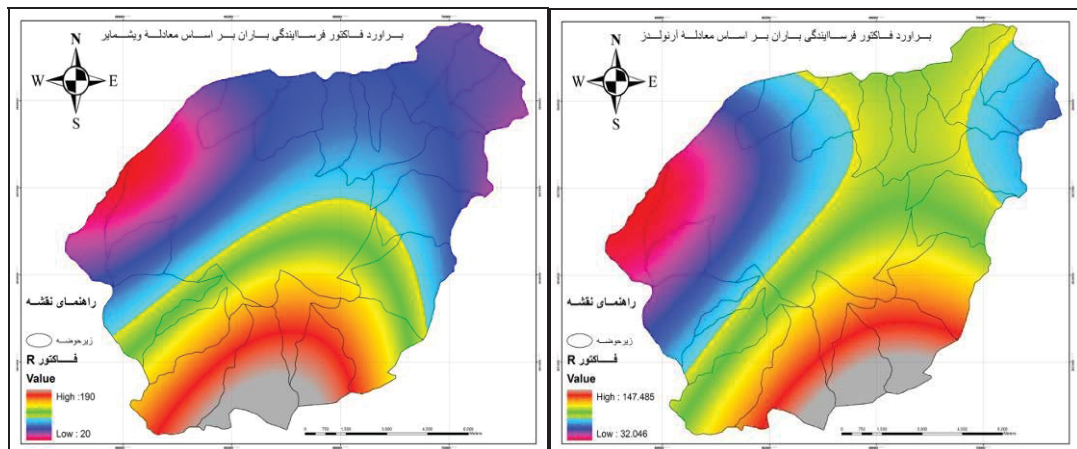
در منطقه مورد مطالعه ۱۴ ایستگاه برای بررسی فرسایندگی باران انتخاب شدند. با استفاده از آمار بارش سالانه و ماهانه ایستگاه‌ها معادله آرنولدز محاسبه شده که نتایج مربوطه در جدول شماره ۲ قید شده است. بر اساس نتایج بیشترین شدت فرسایش دهنده‌گی باران در ماه بهمن است و کمترین مقدار نیز در ماه های مربوط به تابستان وجود دارد که این نتایج رابطه مستقیمی با مقدار بارش در ماه‌های مختلف دارد. در شکل شماره ۱ فاکتور R سالانه را که بر اساس فرمول آرنولدز و پیشمایر به دست آمده نشان داده شده است. بر اساس جدول ۲ بیشترین شدت فرسایش دهنده‌گی باران در ایستگاه کالیان علیا وجود دارد، دلیل این امر بارش زیاد (۵۰%) و نیز موقعیت ایستگاه در ارتفاعات جنوبی داخلی حوزه میباشد. نقشه‌های زیر برآورده فاکتور R را بر اساس معادله پیشمایر و آرنولدز نشان میدهد. همانطوری که مشاهده میشود هر دو روش فرسایندگی باران را با انداخت تفاوتی به دست میدهند و بیشترین قدرت بارش در فرسایندگی خاک را در قسمت میانی و جنوب غربی حوزه نشان میدهند و زیر حوضه‌های قرار گرفته در این حوزه دارای تأثیر پذیری بیشتری از فاکتور فرسایش دهنده‌گی باران هستند. مقایسه نتایج معادله‌های برآورده فرسایندگی باران حاکی از این است که هر دو مدل فرسایندگی را در بخش جنوب غربی حوضه نشان میدهند اما در معادله اسمیت و پیشمایر علاوه بر بخش جنوبی حوضه قدرت فرسایندگی بارش در بخش هایی از شمال حوضه نیز دیده میشود. در بخش شمالی حوزه نیز ارتفاعات ۱۸۰۰ تا ۱۵۰۰ متری وجود دارند اما با بررسی عامل بارش در ایستگاه‌های این بخش متوجه میشویم که بارش ثبت شده در این بخش کمتر از قسمت جنوبی با ارتفاع ۳۰۰۰ متری است. بنابراین قدرت بالای فرسایندگی بارش در بخش شمالی و میانی حوزه که در معادله اسمیت و پیشمایر برآورده شد با توجه به بررسی آمار بارش ایستگاه‌های این بخش در مقایسه با جنوب حوضه منطقی به نظر نمی‌رسد. بنابراین معادله آرنولدز نتایج دقیق تری را در این منطقه برآورده می‌نماید.

جدول شماره ۱: مشخصات ایستگاه‌های مورد مطالعه

[۱] ایستگاه	[۲] طول جغرافیایی	[۳] عرض جغرافیایی	[۴] ارتفاع	[۵] میانگین بارش
[۶] کالیان علیا	۰۶.۴۷ [۷]	۳۸.۳۴ [۸]	۱۴۴۵ [۹]	۵۳۶/۳ [۱۰]
[۱۱] ورله	۵۵.۴۵ [۱۲]	۳۴.۳۴ [۱۳]	۱۴۷۰ [۱۴]	۵۱۷/۴ [۱۵]
[۱۶] حسن آباد	۲۵.۴۷ [۱۷]	۳۸.۳۴ [۱۸]	۱۴۲۰ [۱۹]	۳۸۲/۶ [۲۰]
[۲۱] رحمت آباد	۴۷.۰۰ [۲۲]	۲۸.۳۴ [۲۳]	۱۳۴۰ [۲۴]	۳۸۹/۹ [۲۵]
[۲۶] جلوگیره	۵۱.۴۶ [۲۷]	۳۵.۳۴ [۲۸]	۱۱۸۰ [۲۹]	۴۱۵/۱ [۳۰]
[۳۱] گلودره	۶۸.۴۶ [۳۲]	۴۵.۳۴ [۳۳]	۱۳۶۵ [۳۴]	۳۲۱/۹ [۳۵]
[۳۶] گوهرچقا	۵۵.۴۶ [۳۷]	۴۳.۳۴ [۳۸]	۱۲۱۰ [۳۹]	۳۵۵/۳ [۴۰]
[۴۱] مؤینه	۲۰.۴۷ [۴۲]	۴۲.۳۴ [۴۳]	۱۶۱۹ [۴۴]	۳۱۳/۶ [۴۵]
[۴۶] جبار آباد	۳۰.۴۷ [۴۷]	۳۸.۳۴ [۴۸]	۱۶۸۶ [۴۹]	۳۰.۸/۹ [۵۰]
[۵۱] کندوله	۱۴.۴۷ [۵۲]	۴۳.۳۴ [۵۳]	۱۶۸۰ [۵۴]	۴۱۸/۸ [۵۵]
[۵۶] سنگ سفید	۱۱.۴۷ [۵۷]	۴۶.۳۴ [۵۸]	۲۰۳۰ [۵۹]	۳۰.۲/۹ [۶۰]
[۶۱] مرزبانی	۰.۵۴۷ [۶۲]	۴۲.۳۴ [۶۳]	۱۶۵۰ [۶۴]	۴۲۵/۸ [۶۵]
[۶۶] کرم بست	۱۴.۴۷ [۶۷]	۴۱.۳۴ [۶۸]	۱۹۰۰ [۶۹]	۳۹۶/۲ [۷۰]
[۷۱] بیلوار	۰.۵۴۷ [۷۲]	۴۰.۳۴ [۷۳]	۱۹۱۰ [۷۴]	۳۵۲/۵ [۷۵]
[۷۶] چشمه توران	۲۲.۴۷ [۷۷]	۴۸.۳۴ [۷۸]	۱۹۲۰ [۷۹]	۵۰.۱/۲ [۸۰]

جدول شماره ۲: نتایج فرسایش دهنده‌گی باران بر اساس فرمول قورنیه اصلاح شده

شهریور	مرداد	تیر	خرداد	اردیبهشت	فروردین	اسفند	بهمن	دی	آذر	آبان	مهر	ایستگاه
۰/۱۶	۰	۰	۰	۹/۵۳	۱۵/۹۵	۸/۹	۱۶/۲۲	۷/۵۲۸	۱۰/۱۲	۱۸/۲۰	۰/۲۵۹	کالیان
۰/۰۱	۰/۰۰۳	۰	۰/۰۰۳	۶/۸۹	۱۵/۰۶	۶/۲۲	۱۸/۴	۷/۳۹	۶/۲۰	۱۳/۹۲	۰/۰۴	مرزیانی
۰/۰۰۵	۰	۰	۰/۰۲	۶/۱۱	۱۹/۲۸	۷/۴۸	۱۵/۵۸	۸/۸۵	۶/۰۶	۱۴/۰۱	۰/۰۳	کندوله
۰/۰۰۲	۰	۰/۰۱	۰/۰۳	۱۱/۷۱	۲۶/۰۹	۸/۸۵	۱۹/۶	۲/۷۵	۶/۰۳	۱۶/۹	۰/۰۰۲	موئیته
۰/۰۰۷	۰	۰	۰/۰۱	۵/۷۲	۱۴/۲۰	۶/۱۸	۸/۴۴۰	۲/۶۲	۵/۰۵	۱۶/۸۲	۰/۰۴	چبارآباد
۰/۰۱	۰	۰	۰/۰۱	۶/۲۷	۱۲/۱۰	۵/۸۴	۱۹/۸۴	۶/۶۹	۰/۰۰۲	۱۹/۱۹	۶/۶۹	حسن آباد
۰	۰	۰	۰/۰۰۵	۴/۲۶	۲۶/۲۵	۴/۸۲	۲۱/۴۰	۶/۱۷	۵/۵۵	۱۰/۵۹	۰/۰۰۶	گلودره
۰/۰۰۳	۰	۰	۰	۲/۲۶	۱۲/۸۷	۶/۸۴	۱۷/۲۸	۶/۸۴	۷/۵۸	۱۲/۴۰	۰/۰۰۱	گوهرچقا
۰/۰۰۱	۰	۰	۰	۵/۵۵	۱۰/۶۲	۶/۲۲	۲۹/۴۶	۶/۹۷	۷/۸۵	۱۲/۱۷	۱/۰۷	جلوگیره
۰/۰۱	۰	۰/۰۰۶	۰/۰۰۵	۶/۲۰	۱۶/۲۹	۵/۲۵	۱۶/۲۲	۶/۱۵	۶/۷۷	۱۲/۸۹	۰/۰۱	رحمت آباد
۰/۰۰۶	۰	۰	۰/۰۰۴	۵/۸۲	۱۶/۵۷	۷/۹۴	۲۱/۴۱	۹/۷۱	۱/۰۱	۱۲/۸۹	۰/۰۴	ورله
۰	۰	۰	۰/۰۰۲	۵/۱	۰/۰۰۹	۴/۵۴	۷/۱	۲۲/۱	۴/۵۴	۷/۱	۰.۹	بیلوار
۰/۰۰۲	۰/۰۰۲	۰/۰۰۱	۰/۰۵۶	۷/۵۵	۲۲/۸۶	۹/۷۸	۱۲/۱	۷/۲۴	۷/۱	۱۶/۸	۰	چشمه توان
۰/۰۱	۰	۰	۰	۴/۲۹	۵/۹۷	۴/۵	۱۲/۸۲	۹/۷۸	۵/۱۹۶	۱۱/۲	۰/۰۶	کرم بست



شکل شماره ۲: فاکتور فرسایش دهنده‌گی باران در حوزه آبخیز رزین



شکل شماره ۳: نمایش ارتفاعات حوزه

## بحث و نتایج

با توجه به نتایج محاسبات میتوان گفت که بیشترین قدرت فرسایندگی بارش در ماه های با بارش بیشتر دیده میشود. اما در فصل تابستان فقدان فرسایش دهنده‌ی بارش وجود دارد که این امر به دلیل فقدان بارش و پوشش گیاهی مناسب در این دوره است. از طرفی بیشترین شدت فرسایندگی در جنوب غربی حوزه است به دلیل ثبت آمار بارش‌های بالاتر و نیز ارتفاع حوزه در این بخش. بنابراین شدت فرسایندگی بارش منطبق با بارش در ماه‌های پرباران است. با توجه به بررسی‌های شکل گرفته، معادله آرنولدز برای برآورد قدرت فرسایندگی بارش در منطقه نتایج دقیق تری را ارائه میدهد. اما فاکتورهای مؤثر در فرسایش متنوع هستند و هر یک می‌توانند تأثیر خنثی کننده و یا معکوس بر دیگری داشته باشند. بنابراین فاکتور R به همراه سایر عوامل نتایج کامل تری را عرضه خواهد کرد.

**کلمات کلیدی:** فرسایش، فرسایندگی باران، شاخص آرنولدز، شاخص فورنیه اصلاح شده

## منابع

- ۱) سپاسخواه. ع(۱۳۷۳). تعیین ضریب فرسایش زایی باران در ایران، چهارمین کنگره علوم خاک ایران، دانشگاه صنعتی اصفهان، ۱۱۹، ص
- ۲) شاهویی. س. رفاهی. ح. (۱۳۷۵) استفاده از جداول شدت-مدت و دوره برگشت برای محاسبه شاخص فرسایندگی باران و مقایسه آن با سایر روش‌های موجود، اولین سمینار ملی فرسایش و رسوب، نور: ۲۶۵-۲۷۲
- ۳) حکیم خانی، شاهرخ، مهدیان، محمدحسین، عرب خدروی، محمد، قربان پور، داود (۱۳۸۴) بررسی فرسایندگی باران در سطح کشور، سومین همایش فرسایش و رسوب، صص ۲۸۹-۲۸۱
- ۴) Guobin.Fu, Shulin.Chen, Donald.K, Mc.Cool, Modeling the impacts of no till practice on soil erosion & sediment yield with RUSLE, SEDD, & Arc view GIS, soil & Tillage Research (85):38-49
- ۵) Zhou.P, Lukkarn.O, Tokola.T, Niemineh.J, (2008), Effect of vegetation cover on soil erosion in a mountainous watershed, Catena(75):319-3255
- ۶) Ateshian, J.K.H., (1974), Estimation of rainfall erosion index, J.Irrigation & Drainage Proc Division A.S.C.E. J, 100(IR3)
- ۷) Stratuus.P, Klaghhofer.E, (2003), Scale consideration for the estimation of soil erosion by water in Australia , Federal agency for water, Austria
- ۸) Ulsaker,L.G, Onstad.C.A, (1984), Relating rainfall erosivity factors to soil loss in kenya, Sci.Soc.Am.J(48): 891-896
- ۹) Renard.K.G, J.R.Freimund, (1994), Using montly precipitation data to estimate the R factor in the revised USLE, Journal of Hydrology(157):287-306
- ۱۰) V, Prasannakumar.R, Shiny.N, Geetha.H, Vijith. (2011). Spatial prediction of soil erosion risk by remote sensing, GIS & RUSLE approach:a case study of Siruvani river watershed in Attapady valley,Kerala,India .Environ Earth Sci.64:965-972
- ۱۱) Yu, B.C, J.Rosewell, (1996), An assessment of a daily rainfall erosivity model for new south wales,Aust ,J., Soil Res .34:139-152
- ۱۲) Ferro,V., P.Porto, B.Yu, (1999).A comparative syudy of rainfall erosivity estimation for sutern Italy & suth eastern Australia,16-Hidrological Sciences J.44(1):3-24

## اهمیت مطالعات ژئومورفولوژی در تقسیمات کشوری

### مطالعه موردی: استان چهارمحال و بختیاری

رسول شریفی نجف آبادی<sup>۱</sup>، مژگان انتظاری نجف آبادی<sup>۲</sup>

<sup>۱</sup> دانشگاه فرهنگیان-پردیس اصفهان، Sharifi1010@gmail.com

<sup>۲</sup> دانشگاه اصفهان-دانشکده جغرافیا، Entezary54@yahoo.com

#### ۱- مقدمه

تقسیمات کشوری مقدم بر نظام اداری است. بنابر این، نظام تقسیمات کشوری تعیین کننده ساختار سلسله مراتب تشکیلات اداری، نحوه استقرار فضایی بخش های مختلف اداری، حجم نیروی انسانی، توزیع منابع مالی در بخش های عمرانی و جاری، تعامل قومی و فرهنگی و نظام مدیریتی واگذاری اختیارات به سطوح پایین است(کریمی پور، ۱۳۸۱). در چنین شرایطی مسولان محلی همواره تلاش داشته اند با تعییر در تقسیمات کشوری و ارتقاء سطح اداری، سهم هر منطقه را در دستیابی به اختیارات محلی و منابع مالی ملی افزایش دهند. این روند منجر به تداوم تقسیمات کشوری و تقسیم واحد های سیاسی با اجزاء کوچکتر شده است که نمونه های آن را در مورد استان ها، شهرستان ها و بخش های تازه تاسیس در طی سال های اخیر شاهد بوده ایم. از آنجایی که مبنای تقسیمات کشوری عواملی مانند تعداد و تراکم جمعیت و وسعت منطقه بوده است(احمدی پورو همکاران، ۱۳۹۰)، کمتر به موضوعات طبیعی و به خصوص افزایش ریسک ناشی از تمرکز جمعیت و تاسیسات در مناطق مستعد مخاطرات طبیعی توجه شده است. در این مقاله به صورت موردي با بررسی روند تقسیمات سیاسی صورت گرفته در استان چهارمحال و بختیاری، به این موضوع خواهیم پرداخت.

#### ۲- مواد و روش ها

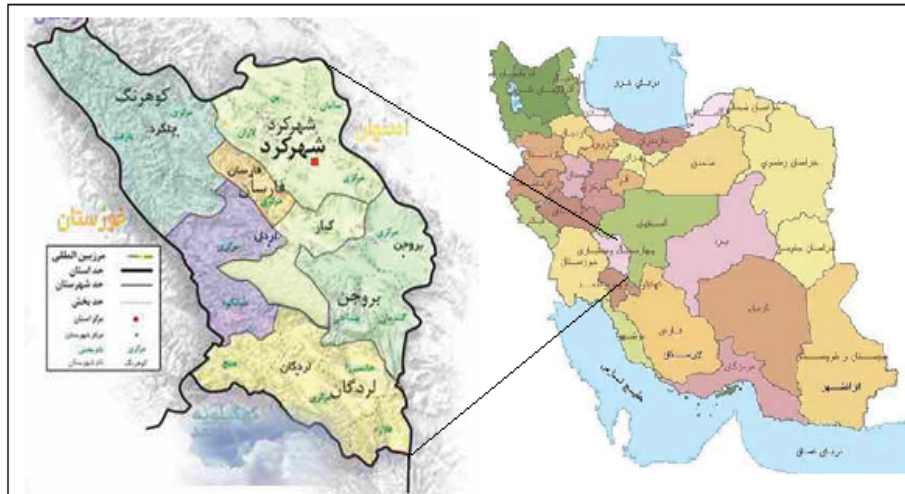
در این پژوهش ابتدا با بررسی های کتابخانه ای، روند شکل گیری استان چهارمحال و بختیاری و تقسیمات داخلی آن و همچنین گزارش های وقوع مخاطرات طبیعی مورد بررسی قرار گرفته و مستندات اولیه گرد آوری شده است. سپس با بررسی انواع فرم اراضی و سنجش آن ها توسط شاخص های مختلف ژئومورفولوژی با استفاده از نرم افزارهای جغرافیایی آرك ویو<sup>۱</sup> و گلوبال مپر<sup>۲</sup> بر روی مدل رقومی ارتفاع(DEM)، پایگاهی از داده های کمی از وضعیت ناهمواری های استان فراهم شده و با سایر عوامل مرتبط با بروز مخاطرات طبیعی مانند جنس تشکیلات زمین شناسی، گسل ها و نقشه های اقلیمی ترکیب شده و مورد تحلیل قرار گرفته است.

#### ۳- بحث و نتیجه گیری

استان چهارمحال و بختیاری بین ۳۱ درجه و ۹ دقیقه تا ۳۲ درجه و ۳۸ دقیقه عرض شمالی و ۴۹ درجه و ۳۰ دقیقه تا ۵۱ درجه و ۲۶ دقیقه طول شرقی گرینویچ قرار گرفته و با ۱۶,۳۳۲ کیلومتر مربع وسعت، در بخش مرکزی رشته کوههای زاگرس واقع شده است. بخش شرقی استان که چهارمحال نامیده می شود، به دلیل وجود دشت های هموار و حاصلخیز و مجاورت با استان اصفهان، از دیر باز چهره ای شهری و روستایی داشته و در زمینه کشاورزی و صنعت فعال بوده است؛ اما مناطق غربی به دلیل چهره ای کوهستانی، جایگاه بیلاقی عشاير بختیاری بوده که به مرور در آن اسکان یافته و روستاهایی را ایجاد کرده اند(شکل ۱).

1) Arcview GIS 3.3

2) Global Mapper



شکل ۱- موقعیت جغرافیایی استان چهارمحال بختیاری و تقسیمات داخلی آن.

این گستره قبلاً یکی از شهرستان‌های استان اصفهان بوده، اما در سال ۱۳۲۲ ه.ش به عنوان فرمانداری مستقل درآمده و در سال ۱۳۵۲ ه.ش به باستانداری ارتقا یافته است. از آن پس در داخل این استان تقسیمات سیاسی ادامه یافته به طوری که در سال ۱۳۸۰ ه.ش شامل ۵ شهرستان، ۳۴ بخش، ۱۵ دهستان و ۲۲ شهر شده و با ادامه این روند در حال حاضر دارای ۷ شهرستان، ۲۲ بخش و ۴۵ دهستان و ۳۱ شهر شده است. این روند نشان دهنده‌ی آن است که مسئولان محلی همواره تلاش داشته‌اند با ارتقاء تقسیمات داخل استانی، زمینه‌ی بهره مندی بیشتر منطقه‌ی امکانات اداری و منابع مالی را فراهم ساخته و به خصوص زمینه‌ی رشد مناطق محروم عشایری غربی استان را فراهم سازند.

درصد از مساحت استان چهارمحال و بختیاری را کوهستان‌های تشکیل می‌دهند که دارای ۱۶ قلهٔ ۳۵۰۰ متر می‌باشند که معروف‌ترین آن‌ها زردکوه است. این کوهها از شمال غرب استان به جنوب شرق امتداد داشته و از شرق به غرب بر ارتفاعشان افزوده می‌شود. به علت ماهیت کوهستانی منطقه که در مسیر بادهای مرطوب سیستم‌های مدیترانه‌ای قرار گرفته است، زمینه‌ی صعود و تخلیه این سامانه‌ی فراهم آمده است. به همین دلیل، این استان دارای پارش زیادی بوده و با وجود داشتن تنها ۱ درصد از مساحت ایران، ۱۰ درصد از منابع آب کشور را در اختیار دارد. این پارش‌ها گاهی در مناطق پست حاشیه‌ی رودخانه‌ها منجر به بروز سیل شده و خسارت‌هایی را به بار آورده‌اند. با افزایش ارتفاع، هوا نیز سردوتر می‌شود به گونه‌ای که میانگین دمای سالیانه در جهت شرق به غرب استان از ۱۶ درجه به ۴ درجه سانتیگراد می‌رسد که این وضعیت باعث محدود شدن طول دوره‌ی کشت و کار و کشاورزی و سرمادگی محصولات می‌شود. با سرد تر شدن هوا، نوع پارش نیز از باران به برف تغییر حالت داده که از ارتفاعات ۲۵۰۰ متر به بالا چندین متر ضخامت پیدا می‌کند و در مناطق پرشیب مستعد وقوع بهمن می‌شود. به علت ارتفاع و شبیه زیاد، جنس مارنی تشکیلات زمین‌شناسی و جوان و فعل ابدن کوه‌ها، رانش زمین در اکثر نقاط غربی این استان مشاهده می‌شود که واقعه زمین لغزه روتاستی چلو در شهرستان اردل و آبکار علیا در منطقه بازفت با تلفات انسانی و مالی بسیار از آن جمله‌اند. بررسی شاخص‌های ژئومورفولوژی زمین ساخت فعال Smf, T, Re, Hi, V, Facet%, Af, Bs, V/A، این دهستان می‌باشد که از شرق به غرب استان، خطر زمین لرزه به شدت افزایش می‌یابد به طوری که شهرستان‌های کوهنگ، اردل، کیار و فارسان با قرار گرفتن در مجاورت گسل جوان زاگرس، در محدوده خطر زیاد تا بسیار زیاد قرار می‌گیرند (شریفی نجف‌آبادی، ۱۳۸۹). زلزله ۱۷ فروردین ۱۳۵۶ شمسی ناغان با شدت ۵/۴ ریشتر و ۴۸۰ نفر کشته در مجاورت این گسل رخ داده است. سیل، زمین لرزه، سرمادگی، رانش زمین و خشکسالی به ترتیب ۱۲، ۱۹، ۲۷، ۳۲ و ۸ درصد خسارت‌های مالی و اقتصادی استان را به خود اختصاص داده‌اند (امیدوار و همکاران، ۱۳۷۹).

#### ۴- یافته‌ها

بخش اعظم استان چهارمحال و بختیاری را کوهستان‌های زاگرس تشکیل می‌دهد که از دیرباز محل زندگی عشاير بختیاری بوده است. به مرور زمان، عشاير تمایل یافته‌اند که اسکان یافته و زندگی یکجاشينی را در پيش بگيرند؛ بنابراین در محل ييلاق خود روستاهایی را بنادردند. از آنجایی که این روستاها عموماً در مناطق کوهستانی وصب العبوری قرار داشته و از دسترسی به امکانات مختلف زندگی نوین محروم بوده‌اند؛ مسئولان محلی سعی کرده‌اند با ایجاد راه‌های ارتباطی و تمرکز امکانات در روستاهای دارای موقعیت مرکزی و ارتقاء این دسته از روستاها به مرکز دهستان، بخش و یا شهرستان، زمینه‌ی پیشرفت اداری این مناطق را فراهم آورده و سهم این مناطق را از اعتبارات ملی افزایش داده، و امکانات را به این مناطق سرازیر کنند. در نتیجه، به مرور جمعیت این سکونت‌گاه‌ها زیادتر شده و تاسیسات زیربنایی، قطب‌های صنعتی، دانشگاه‌ها، ادارات و... در این مناطق ایجاد شده و گسترش یافته‌اند. تطبیق نقشه‌های پراکندگی شهرها و

روستاهای این منطقه با نقشه‌های توپوگرافی و زمین‌شناسی نشان می‌دهد که بسیاری از این سکونتگاه‌ها در مجاورت گسل‌های فعال، مناطق سیلابی و دامنه‌های مستعد زمین‌لغزه و بهمن واقع شده و شرایط ژئومورفولوژی مناسبی ندارند. اسکان عشایر بختیاری در مناطق بیلاقی و جلوگیری از مهاجرت آن‌ها به کلان شهرها و مشغول ساختن آن‌ها به فعالیت‌های کشاورزی و دامبروری و گسترش امکانات به این مناطق محروم از دیدگاه برنامه ریزی اجتماعی کاری بسیار پسندیده است. اما در این رابطه باید در نظر داشت که ارتقاء جایگاه یک مکان در تقسیمات کشوری با در نظر گرفتن جمعیت و مساحت و بدون توجه به شرایط ژئومورفولوژی و پایداری آن در مقابل مخاطرات طبیعی اقدام مناسبی نیست؛ زیرا با این کار، تمرکز جمعیت و تأسیسات در مناطق مستعد خطر افزایش پیدا کرده و ریسک خطر پذیری بالا می‌رود.

#### ۵- کلمات کلیدی: تقسیمات کشوری، استان چهارمحال و بختیاری، مخاطرات طبیعی، گسل جوان زاگرس، زمین‌لغزه.

#### ۶- منابع

- ۱- احمدی پور، زا-رهنما، مر، نقش نظام تقسیمات کشوری در توسعه ملی ایران، مجله مدرس، دانشگاه تربیت مدرس، دوره ۱۵، شماره ۲، ۱۳۹۰.
  - ۲- امیدوار، شهرام-اعلایی بروجنبی، جغرافیای استان چهارمحال و بختیاری، انتشارات سازمان پژوهش و برنامه ریزی آموزشی، تهران، ۱۳۷۹.
  - ۳- حسامی، خالد-جمالی، فرشاد-طبیعی، هادی، نقشه گسل‌های فعال ایران، پژوهشگاه بین‌المللی زلزله‌شناسی و مهندسی زلزله، تهران، ۱۳۸۲.
  - ۴- حسین‌زاده، سید رضا، برنامه ریزی شهری همگام با مخاطرات طبیعی، مجله جغرافیا و توسعه ناحیه‌ای، شماره ۳، انتشارات دانشگاه فردوسی مشهد، ۱۳۸۳.
  - ۵- رئیسی گهروبی، داراب-ذوالانوار، عبدالرحیم، بررسی علل زمین‌لغزه چلو/اردل، فصل نامه علوم زمین، سال چهارم، شماره ۱۷۵ و ۱۸، انتشارات سازمان زمین‌شناسی و اکتشافات معدنی ایران، تهران، ۱۳۷۴.
  - ۶- زاهدی، مصطفی - رحمتی ایلخچی، نقشه زمین‌شناسی شهر کرد (مقیاس ۱:۲۵۰۰۰۰) سازمان زمین‌شناسی کشور، ۱۳۷۲.
  - ۷- شریفی نجف‌آبادی، رسول، بررسی و تحلیل شواهد زمین‌ساخت فعال در سرنشاhe‌های مرزی حوضه‌های آبریز دز، زاینده رود و کارون، پایان نامه دکتری، دانشکده جغرافیای دانشگاه اصفهان، ۱۳۸۹.
  - ۸- کریمی پور، بیداله، مقدمه‌ای بر تقسیمات کشوری، جلد ۱: وضع موجود، تهران، انجمن جغرافیای ایران، ۱۳۸۱.
- 9-Berberian, m.,(1972), Two important deformational and metamorphic phases in the belt north east of the Zagros thrust line (Iran): Geological Survey of Iran, Int. Rep. 13p.
- 10-Bull,W.B., McFadden,L.D.(1977),Tectonic geomorphology north and sout of the Garlock fault, California.8<sup>th</sup> Annual Geomorphology Symposium, State University of New York, Binghamton,pp.115-138.
- 11-keller,E.A.and Pinter,N,(1996), ActivTectonics:Earthquake, Upliftand Landscape Prentice Hall Publication .London,185P.

## تأثیر فرسایش یخچالی بر حرکات دامنه‌ای (ریزش) مطالعه موردی دامنه شمالی قله دماوند

<sup>۱</sup> امیر صفاری، <sup>۲</sup> سعیده فخاری، <sup>۳</sup> اسماعیل نجفی

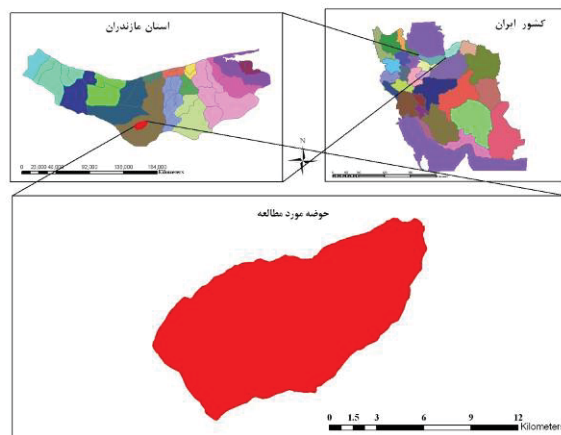
۱- استادیار گروه ژئومورفولوژی دانشکده علوم جغرافیایی، دانشگاه خوارزمی E-mail: safari@tmu.ac.ir

۲- دانشجوی دکتری ژئومورفولوژی دانشکده علوم جغرافیایی، دانشگاه خوارزمی E-mail: fakhari225@yahoo.com

۳- دانشجوی دکتری ژئومورفولوژی دانشکده علوم جغرافیایی، دانشگاه خوارزمی E-mail: najafi.geo@gmail.com

### ۱- مقدمه

در مطالعات ژئومورفولوژی شکل‌های سطح زمین منعکس‌کننده فرآیندها و سیستم‌های فعال می‌باشند. بررسی ساختار عملکرد این سیستم‌ها، امکان دستیابی به گذشته آن‌ها و ترسیم روند تحول آینده آن‌ها را هموار می‌سازد. آثار و شواهد تغییرات اقلیمی دوره کواترنر که مهمترین آثار یخچالی است، پدیده‌های گوناگون ژئومورفولوژیکی را در سطح زمین بر جای گذاشته‌اند که با توجه به آن‌ها می‌توان شرایط اقلیمی گذشته را بازسازی کرد (رامشت و کاظمی، ۱۳۸۶). در این پژوهش اقدام به بررسی فرسایش یخچالی در دامنه شمالی قله دماوند و تأثیر آن بر ناپایداری دامنه به ویژه ریزش نموده‌ایم (شکل شماره ۱). قله دماوند در محدوده جغرافیایی  $34^{\circ} 52' \text{ شرقی}$  و  $57^{\circ} 06' \text{ شمالی}$  قرار دارد و یخچال‌های آن در ارتفاع ۵۰۰۰ تا ۵۵۰۰ متری قله قرار دارند. قله دماوند روی یک پایه رسوبی ایجاد شده است. این پایه رسوبی از سنگ‌های پالئوزوئیک و میان‌زیستیک (به طور عمده آهک ژوراسیک) تشکیل شده و حدود ۴۰۰۰ متر از سطح دریا ارتفاع دارد. در این زمینه هانس بوبک (۱۹۳۵) بر روی سیرک‌ها و رسوبات مورنی و دریاچه‌های یخچالی تحقیق کرد و خط برف را برای البرز  $3400$  متر تعیین نمود. از محققان داخلی که در این زمینه فعالیت داشتند می‌توان به مطالعه یمانی (۱۳۸۶) در خصوص آثار مورفولوژیکی یخچال زردکوه اشاره کرد. تحقیقات طاحونی (۱۳۸۰) نیز در ارتفاعات تالش نشان داد میانگین برف مرز در این منطقه در  $2360$  متری قرار دارد. مطالعه آثار یخچالی در کرمان که توسط رامشت (۱۳۸۸) از طریق آزمایش گرانولومتری رسوبات صورت گرفت، نشان داد که درصد رسوبات منطقه یخچالی و درصد آن با منشاء‌آبی بوده است.



شکل (۱) موقعیت منطقه مورد مطالعه

### ۲- مواد و روش‌ها

برای بررسی فرسایش یخچالی در این محدوده عملیات گردآوری، تولید، تکمیل و آماده‌سازی لایه‌های اطلاعاتی با بهره‌گیری از نقشه توپوگرافی، تصاویر ماهواره‌ای و بررسی‌های میدانی در محدوده مورد مطالعه طی مراحل زیر صورت گرفت:

۱- رقومی‌سازی و GIS - Ready - GIS کردن نقشه توپوگرافی دامنه‌شمالی قله دماوند،

۲- استفاده از تصاویر ماهواره‌ای سنجدهای ETM+ با ۸ باند رنگی با قدرت تفکیک مکانی  $30$  متر و یک باند پانکروماتیک با قدرت مکانی  $15$  متر، که بعد از Staek کردن باندهای  $1, 2, 3, 4, 5, 6, 7$  و magro کردن این لایه با باند  $8$  که پانکروماتیک است و تبدیل تصویر با قدرت تفکیک  $15$  متر و تهییه هیستوگرام از نقاط موردنظر،

۳- بازدید و کنترل زمینی جهت تولید لایه اطلاعاتی جدید و به هنگام کردن داده‌های موجود،

۴- مدل‌سازی (استفاده از ۹ معیار بارش، دما، فاصله از گسل، اندازه‌ذرات، پوشش‌گیاهی، شیب، جهت شیب، نوع سازند، ارتفاع از طریق مدل تحلیل سلسه‌مراتبی AHP).

### ۳- بحث و نتیجه‌گیری

فرسایش یخچالی در این حوضه را می‌توان به دو دسته اشکال یخچالی و اشکال مجاور یخچالی تقسیم کرد. در این منطقه دره‌های یخچالی و سیرک یخچالی بزرگ‌ترین اشکال حاصل از فرسایش یخچالی در منطقه هستند. در واقع در حال حاضر بهترین کلید برای تعیین موجودیت یا حتی تعیین حدود، موقعیت، ابعاد و ارتفاع یخچال‌ها، سیرک‌های یخچالی هستند. در اشکال مجاور یخچالی، حرکات دامنه‌ای به ویژه ریزش در دامنه شمالی کاملاً متفاوت از سایر دامنه‌های است. وجود یخچال دائمی و برف‌چال‌های حاشیه‌ای و همچنین شیب زیاد در دامنه‌ها و شرایط زمین‌شناسی و اقلیمی، سبب شده‌اند پدیده ریزش در این منطقه رخداد بیشتری داشته باشد. تخلیه مواد از سیرک‌ها و دره‌های یخچالی سبب انباسته شدن مواد به صورت مورن‌های پیشانی و کناری در حاشیه دره‌های یخچالی شده است.

وزن نهایی پهنه‌های فرسایشی در محدوده مورد مطالعه از مجموع حاصل ضرب لایه معیار در وزن آن و همچنین وزن لایه معیارها از مجموع حاصل ضرب لایه زیرمعیارها در وزنشان بدست آمده است (جداول شماره ۱ و ۲).

جدول(۱): ماتریس مقایسه زوجی و بردار وزن معیارها

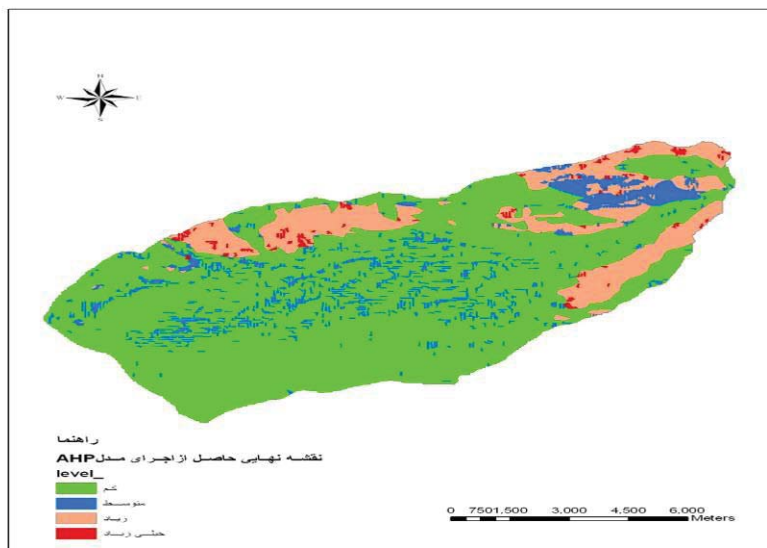
معیارها	اقلیم	زمین‌شناسی	ژئومورفولوژی	خاک‌شناسی	پوشش‌گیاهی
اقلیم	۱	۵	۳	۷	۳
زمین‌شناسی	۰.۲	۱	۳	۳	۵
ژئومورفولوژی	۰.۳	۰.۳	۱	۷	۵
خاک‌شناسی	۰.۱۴	۰.۳	۰.۱۴	۱	۷
پوشش‌گیاهی	۰.۳	۰.۲	۰.۲	۰.۱۴	۱

جدول(۲): ماتریس مقایسه زوجی و بردار وزن زیرمعیارها

زیرمعیارها	دما	بارش	لیتولوژی	فاصله از گسل	ارتفاع	شیب	جهت شیب	اندازه ذرات	تراکم‌گیاهی
دما	۱	۷	۵	۳	۹	۳	۵	۷	۵
بارش	۰.۱۴	۱	۷	۳	۹	۳	۳	۵	۷
لیتولوژی	۰.۲	۰.۱۴	۱	۷	۳	۵	۳	۳	۳
فاصله از گسل	۰.۳	۰.۳	۰.۱۴	۱	۳	۳	۵	۳	۳
ارتفاع	۰.۱۱	۰.۱۱	۰.۳	۰.۳	۱	۵	۳	۵	۷
شیب	۰.۳	۰.۳	۰.۲	۰.۳	۰.۲	۱	۳	۵	۵
جهت شیب	۰.۲	۰.۳	۰.۳	۰.۳	۰.۳	۰.۳	۱	۳	۵
اندازه ذرات	۰.۱۴	۰.۲	۰.۱۱	۰.۳	۰.۳	۰.۲	۰.۳	۱	۵
تراکم‌گیاهی	۰.۲	۰.۱۴	۰.۲	۰.۳	۰.۱۴	۰.۲	۰.۲	۰.۲	۱

فرسایش یخچالی روی ناپایداری دامنه‌ای در دامنه شمالی قله دماوند و نواحی اطراف تأثیرگذار بوده است. شیب زیاد دامنه‌های دره‌های یخچالی، باعث ریزش مواد از دامنه‌ها به شکل افتان سنگ در دیواره‌های سنگی و همچنین ریزش‌های واریزه‌ای مواد و ایجاد مخروطهای کوچک شده است. مدل‌های ریاضی و منطقی این ارجحیت را بر مدل‌های تجربی دارند که محدودیت ذهنی محقق را کم می‌کنند و امکان تحقیق در قالب سیستم‌های شکل زایی را فراهم می‌سازند. بر این اساس اجرای مدل در منطقه مورد مطالعه صورت گرفت و وضعیت ریزش در دامنه‌ها، طبقه‌بندی و به چهار کلاس مختلف خیلی زیاد، زیاد، کم و متوسط تقسیم شد. بعد از شناسایی و اولویت دادن به متغیرها و ساختن درخت سلسه‌مراتبی و وزن‌ها

براساس روابط ریاضی از مجموع نسبت‌هایی دو به دوی معیارها به دست آمد و سپس نسبت استاندارد شده وزن هر معیار و نسبت پایندگی آن محاسبه شد. نسبت پایندگی ماتریس معیارهای مؤثر در موقع ریزش از رابطه  $CR = CI/RI$  به دست آمد که در آن  $CI$  معرف شاخص پایندگی و مشخص کننده اندازه انحراف معیار از پایندگی،  $RI$  شاخص تصادفی که از جدول استاندارد استخراج می‌شود و  $CR$  نسبت پایندگی است. این نسبت وقتی قابل قبول است که کمتر از  $1.0$  باشد. این مقدار در ماتریس تحقیق حاضر در سطح قابل قبول ( $0.09$ ) به دست آمد. در نهایت برای هر معیار در محیط Arc GIS یک لایه آماده شد و پس از اجرای مدل AHP نقشه نهایی تولید شد(شکل شماره ۲).



شکل (۲) نقشه نهایی حاصل از مدل AHP

#### مراجع

- [۱] رامشت، محمدحسین، محمد Mehdi، کاظمی، آثار یخچالی در اقلید فارس. رشد آموزش جغرافیایی. شماره: ۶۰، ص ۱۱۱ - ۹۱. ۱۳۸۶.
- [۲] رضایی، یوسف، بررسی یخچال طبیعی و کوهستانی خرسان زردکوه بختیاری با استفاده از سنجش از دور ماهواره ای و GIS پایان نامه کارشناسی ارشد رئوماتیک. دانشگاه خواجه نصیر طوسی، ۱۳۸۳.
- [۳] زارعی نژاد، مژگان، مورفودینامیک توده آتششانی دماوند و مدیریت محیط با استفاده از GIS و RS. پایان نامه دکتری. دانشگاه علوم تحقیقات، ۱۳۸۶.
- [۴] یمانی، مجتبی، ژئومورفولوژی یخچال زردکوه. پژوهش‌های جغرافیایی. شماره: ۴۲، ص ۱۸ - ۱. ۱۳۸۳.
- [۵] Pedrami, M. 1981. Pasadenian organists and Geology of the Iran during In 700thousands Past. Geological Survey of Iran. P, 127
- [۶] Vaziri, F. 2003. Preliminary Study of Glaciers in Iran, K.N.T University of Technology & State Management and Planning Organization. Pages 113 - 125.

## ارزشیابی وقابلیت سنجی ژئومورفوسایت‌های شهرستان کرمانشاه با استفاده از مدل Pereira

<sup>۱</sup> محسن عزیزی، <sup>۲</sup> امیرحسین حلبیان، <sup>۳</sup> اکبر شائemi، <sup>۴</sup> سمیرا علیقلی

<sup>۱</sup> دانشگاه پیام نور مرکز آران و بیدگل، Azizimohsen3@yahoo.com

<sup>۲</sup> دانشگاه پیام نور مرکز اصفهان، halabian\_a@yahoo.com

<sup>۳</sup> دانشگاه پیام نور مرکز آران و بیدگل، barzuk2000@yahoo.com

<sup>۴</sup> دانشگاه پیام نور مرکز آران و بیدگل، samiraaligholi@yahoo.com

### مقدمه

به طور کلی ژئوسایت‌ها مکان‌هایی هستند که دارای شکل‌ها و فرایندهای جالب زمین‌شناسی و ژئومورفوژئوگرافی هستند که در صورت ایجاد زیرساخت‌های گردشگری، تبدیل به یک ژئوسایت می‌شوند (حاج علیلو و نکوئی صدری، ۱۳۹۰: ۲۸). ژئومورفوژئوگرافی، یکی از روش‌های مطالعاتی نوین در ارتباط مشترک با حوزه‌ی علوم زمین و گردشگری است، که بر شناسایی ژئومورفوسایت‌ها یا مکان‌های ویژه‌ی ژئومورفوژئوگرافی استوار است (Reynard et al, 2007, p148). یکی از مفاهیم مطالعاتی در سالهای اخیر طرح ارتباط ویژگی‌های ژئومورفوژئوگرافی با مفاهیم گردشگری پایدار است که بیش از پیش اهمیت خود را نمایش می‌دهد. ژئومورفوژئوگرافی از جمله شاخه‌های علمی در علوم زمین است که امروزه بیانگر روش‌های نوین برای تبیین و تحلیل علوم زمین و شناخت جاذبه‌های طبیعی در هر منطقه محسوب می‌شود که علاوه بر ایفاء نقش آموزشی و علمی، سبب رشد و توسعه‌ی گردشگری در یک منطقه می‌شود. در آینده کشورهایی که از توان‌های بالای اکوتوریستی و ژئوپولیتیک خاصی برخوردار باشند و برنامه ریزی‌های خود را به آن مسیر هدایت نمایند، موقوفیت‌های گردشگری گسب خواهند کرد (مصطفوی و همکاران، ۱۳۹۱). شهرستان کرمانشاه با وسعت تقریبی ۸۵۴۷ کیلو متر مربع به عنوان شهرستان مرکز استان و در ۳۴ درجه و ۱۹ دقیقه عرض شمالی و ۴۷ درجه و ۷ دقیقه طول شمالی نسبت به نصف‌النهار گرینویچ قرار گرفته است.

### مواد و روشها

پس از مطالعه و شناسایی ویژگی‌های ژئومورفوژئوگرافی سایت‌ها، با استفاده از مطالعات کتابخانه‌ای و میدانی، جهت ارزیابی ژئومورفوسایت‌ها منطقه‌ی مورد مطالعه از روش Pereira استفاده شد. روش حاضر شامل؛ ابعاد زیر ساختی، محافظتی، علمی، مدیریتی و مکمل می‌شوند. این روش در دو بعد کلی، به ارزیابی توان یک ژئومورفوسایت جهت توسعه‌ی گردشگری می‌پردازد. ارزش ژئومورفوژئوگرافی از مجموع عیار علمی و مکمل به دست می‌آید (رحمی هرآبادی و همکاران، ۱۳۹۱).

جدول(۱) ارزیابی علمی قابلیت ژئومورفوسایت‌ها (بالاترین امتیاز ۵/۵)

In	دست نفوذگری و سالم بودن بدده	Ra	نایاب بودن نسبت به منطقه
.	۱. پایش‌نیون اسباب‌های توسعه‌ی فعالیت‌های انسانی	۰	۱. عدم وجود پدیده در میان پدیده نمونه اول
.۰/۲۵	۲. اسباب اشکال اصلی توطیع عامل‌طبعی	.۰/۲۵	۲. عدم وجود پدیده در میان سه نمونه اول
.۰/۵	۳. اسباب دیده در صورت حفظ اشکال اصلی	.۰/۵۰	۳. به عنوان پدیده از سه پدیده دیگر نمونه
.۰/۷۵	۴. اسباب جایی در صورت پایقی میان اشکال اصلی	.۰/۷۵	۴. به عنوان پدیده ای سپاری میم
۱	۵. عدم مشاهده اسباب در اشکال	۱	۵. عدم وجود پدیده ای شرط وقوع استثنایی
Dv	نعداد اشکال ژئومورفوژئوگرافی جذاب (نوع)	Re	قابلیت آموزش فرایند‌های ژئومورفوژئوگرافی
.	۱	۰	۱. ارزش پسری محدود و افق چایپاتی‌های امریک
.۰/۳۳	۲	.۰/۳۸	۲. ارزش سری محدود با ایندیکاتورهای امریک
.۰/۶۷	۳	.۰/۶۷	۳. نمونه مناسب از فرایند و مشکل برای تحقیق برای غیرکارشناسان
۱	پیشتوک از ۳	۱	۴. نمونه خوب از فرایند‌ها و یک میانگین آموزشی مناسب
Rn	گساب بودن حجم اندمازهای در سطح ملی	Ge	دک اشکال زمین‌شناسی ارزش موافق
.	۱	۰	۱. پیش‌نیون از نمونه در سطح ملی
.۰/۱۷	۲	.۰/۱۷	۲. حداکثر اشکال بیرون از ایندیکاتور ژئومورفوژئوگرافی
.۰/۲۴	۳	.۰/۳۳	۳. وجود دیگر اشکال بر ارتباط با ژئومورفوژئوگرافی
.۰/۵	۴	.۰/۵۰	۴. وجود دیگر ژئومورفوسایت‌ها همراه با ارزش میراثی
.۰/۲۵	۵. معالمات علمی در نظریه‌ی ژئومورفوژئوگرافی	Kn	۵. معالمات علمی در نظریه‌ی ژئومورفوژئوگرافی
.۰/۵	۶. وجود ندارد	۰	۶. با: مقالات بین‌المللی و پایان نامه‌ها

منبع: مقصودی و همکاران به نقل از Pereira et al (۲۰۰۷)

جدول(۲) ارزیابی عیار مکمل در ژئومورفوسایت‌ها (بالاترین امتیاز ۵/۵)

Eco	عيار الکلوجرافی	Cult	عيار فرهنگی
.	۱. بدون ارتباط با اشکال بیولوژی	۰	۱. عدم اشکال فرهنگی با صدمه دیده
.۰/۳۸	۲. وجود جذابیت‌های گیاهی و جانوری	.۰/۲۵	۲. اشکال فرهنگی بدون ارتباط با اندیکاتور
.۰/۷۵	۳. اشکال فرهنگی مناسب بدون ارتباط با اندیکاتور	.۰/۵	۳. اشکال فرهنگی مناسب بدون ایندیکاتور های گیاهی و جانوری
۱/۱۲	۴. احتیبت اشکال ژئومورفوژئوگرافی برای آکوسمیسم	.۰/۷۵	۴. اشکال فرهنگی خوب عادی غربیط با اندیکاتور
۱/۵	۵. احتیبت بسیاری‌هم اشکال ژئومورفوژئوگرافی برای آکوسمیسم	۱	۵. اشکال فرهنگی عادی غربیط با اندیکاتور
		۱/۲۵	۶. اشکال فرهنگی مناسب غربیط با اندیکاتور
		۱/۵۰	۷. اندیکاتور انسان‌های اولیه با ارتباط فرهنگی بالا
Aest	ارزش‌های زیبایی		
۰ تا .۰/۵۰	کم		ارزش موضعی، جنبه‌های که باید مد نظر قرار گیرد؛ منحصر به فرد بودن بصیری اندیکاتور؛
۱ تا .۰/۵۰	متوسط		کیفیت چشم‌انداز؛ تنوع منظره، رنگ و ترکیب آن؛ وجود آب و گیاه؛
۱ تا .۰/۵۰	بالا		نیوود تغیریت ناشی از انسان؛ نزدیکی به اشکال مشاهده شده.

منبع: مقصودی و همکاران به نقل از Pereira et al (۲۰۰۷)

جدول (۳) ارزیابی ارزش محافظت ژئومورفوسایت‌ها (بالاترین امتیاز ۳)

Vu	آسیب پذیری در صورت استفاده از سایت	In	دست نخوردگی
.	۱. آسیب پذیری بالا، با احتمال از دست رفتن و تخریب کاری	۰	۱. صدمات بالا در نتیجه فعالیت‌های انسانی
۰/۵۰	۲. در صورت استفاده احتمال صدمه به اشکال ژئومورفوگلوبی	۰/۲۵	۲. صدمات در نتیجه فعالیت‌های طبیعی
۱	۳. در صورت استفاده احتمال صدمه به اشکال غیر ژئومورفوگلوبی	۰/۵۰	۳. صدمه دیده، با حفظ اشکال اصلی ژئومورفوگلوبی
۱/۵۰	۴. آسیب و صدمه فقط در راستای شبکه‌های دسترسی (حمل و نقل)	۰/۷۵	۴. کم صدمه دیده، با حفظ اشکال اصلی ژئومورفوگلوبی
۲	۵. در صورت استفاده عدم احتمال در آسیب پذیری	۱	۵. قادر صدمه و حفظ اشکال اصلی ژئومورفوگلوبی

منبع: مقصودی و همکاران به نقل از (۲۰۰۷) Pereira et al

جدول (۴) ارزیابی عیار استفاده ژئومورفوسایت‌ها (بالاترین امتیاز ۷)

VI	قابل رویت	AC	معیان دسترسی
.	۱. قابل رویت بسیار مشکل با عدم قابل رویت به همی متناظر	۰	۱. دسترسی به آن بسیار مشکل و دسترسی به آن سبقاً با ایجاد و نزد خاص
۰/۳۰	۲. قابل رویت صرف نوسان اپیازم مخصوص (مانند نور صنعتی، نتاب)	۰/۲۱	۲. فقط به وسیله ماهیش چهار جزء و ۵۰۰ متر با پای پیاده
۰/۶۰	۳. محدودیت در دیده شدن نوسان درختان و گیاهان کوته و کوچک	۰/۴۳	۳. با مانشین و پیش از ۵۰۰ متر با پای پیاده
۰/۹۰	۴. قابلیت دید خوب چهیز مشاهده پیش اما کمی تیزی به جانب چای دارد	۰/۶۴	۴. با مانشین و کمتر از ۵۰۰ متر با پای پیاده
۱/۲۰	۵. خوب است برای تابع اشکال مربوط به ژئومورفوگلوبی	۰/۸۶	۵. به وسیله مانشین چهار جزء و کمتر از ۱۰۰ متر با پای پیاده
۱/۵۰	۶. عالی است برای تمام اشکال ژئومورفوگلوبی	۱/۰۷	۶. تربه و سبله مانشین و کمتر از ۵۰ متر با پیاده
Eq	تجهیزات و سرویس‌های پشتیبانی	۱/۲۹	۷. به وسیله اتوبوس در جاده‌های فرعی و کمتر از ۵۰ متر با پای پیاده
.	۱. سرویس‌های پشتیبانی شبانه روزی و فاصله با پیش از ۲۵ کیلومتر با جاده	۱/۵۰	۸. به وسیله اتوبوس در جاده‌های اصلی و کمتر از ۵۰ متر با پای پیاده
۰/۵۰	۲. سرویس‌های پشتیبانی شبانه روزی و فاصله بین ۵ تا ۱۰ کیلومتر با جاده		۹. استفاده گنوی از جذابیت‌های ژئومورفوگلوبی
Gu	(۱) بدون ارتفا و هم چنین مورد استفاده واقع شده است. (۲) بدون ارتفا ولی مورد استفاده واقع شده است.		
۰/۷۵	۳. شبانه روزی یا سرویس پشتیبانی در فاصله کمتر از ۵ کیلومتری جاده	۰	
۱	۴. سرویس‌های پشتیبانی شبانه روزی و در فاصله کمتر از ۵ کیلومتری جاده	۰/۳۳	
Lp	قوایان محافظت و محدودیت‌های استفاده	۰/۶۷	(۳) ارتفاعه و از آن به عنوان (landscape site) استفاده می‌شود.
.	۱. با محافظت کامل و منع استفاده	۱	(۴) ارتفاعه و از آن به عنوان ژئومورفوسایت با ژئومورفوسایت می‌شود.
۰/۳۳	۲. با محافظت و محدودیت استفاده	۰	(۱) بدون دیگر جذابیت‌ها، بدون ارتفاعه و بودن استفاده
۰/۶۷	۳. بدون محافظت و بدون محدودیت استفاده	۰	(۲) با جذابیت‌های دیگر، اما بدون ارتفاعه و استفاده
۱	۴. با محافظت اما بدون استفاده محدود یا محدودیت خیابی کم در استفاده	۰/۳۴	(۳) با جذابیت‌های دیگر، اما بدون ارتفاعه و استفاده
		۰/۶۷	(۴) با جذابیت‌های دیگر، هم چنین با ارتفاعه و استفاده
		۱	

منبع: مقصودی و همکاران به نقل از (۲۰۰۷) Pereira et al

## بحث و نتایج

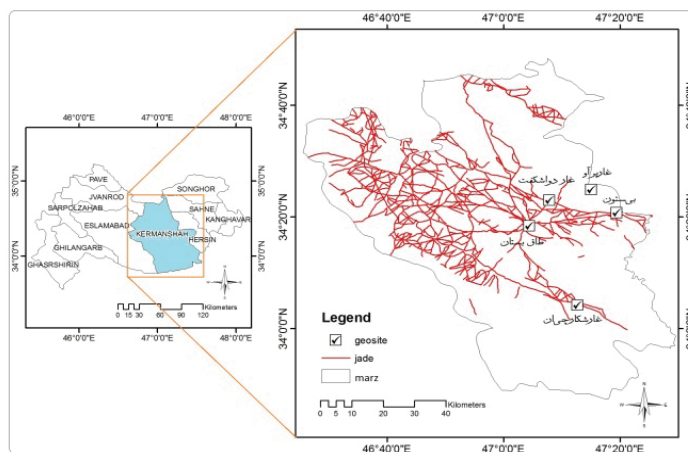
در این مقاله چند نمونه از ژئومورفوسایت‌های شهرستان کرمانشاه مورد بررسی قرار گرفت. این چشم اندازهای ویژه‌ی به دلایل مختلف اعم از اقلیمی و زمین‌شناسی می‌توانند به صورت جاذبه‌های گردشگری و آموزشی مورد بهره برداری قرار گیرند.

جدول (۵) ارزیابی نهایی ژئومورفوسایت‌های شهرستان کرمانشاه به روش Pereira

		ارزش‌های ژئومورفوگلوبی	ارزش‌های مدیریتی	جمع	
ژئومورفوسایت‌های مورد مطالعه	عیار علمی بالاترین امتیاز ۵/۵	عیار مکمل بالاترین امتیاز ۴/۵	عیار استفاده بالاترین امتیاز ۷	عیار محافظت بالاترین امتیاز ۳	
در شهرستان کرمانشاه					
۱ طاق‌ستان	۴	۲/۶۲	۵/۵۷	۱/۵۰	۱۳/۶۹
۲ کوه بیستون	۴/۶۷	۳/۷۵	۴/۹۳	۲	۱۵/۳۵
۳ غاربراآ	۳/۵۸	۲/۱۲	۲/۸۵	۲	۱۱/۵۵
۴ غارکارچان	۱/۵۵	۲	۲/۶۴	۳	۹/۱۹
۵ غارداشکفت	۱/۵۵	۲	۲/۹۴	۳	۹/۴۹

## یافته‌ها

در ارزیابی هامشخص شد که ارزش ژئومورفوسايت‌ها منطقه به دليل عياراستفاده بالاي آنها مي باشد در الواقع اين ارزش ساير پارامترهاي مورد نظر را تحت تاثير قرار داده است. همچنین عيار حفاظت دومين عيار مهم و تاثير گذار بر ارزش ژئو سايت‌ها در محدوده مورد بررسی است. كمبود امكانات اقامتی، تسهيلاتی رفاهی، نبود تبلیغات مناسب از محدودیت و نقاط ضعف است. همچنین از لحاظ ارزش‌هاي ژئومورفوژوژيکی ژئوسايت بیستون باز نظر ارزش‌هاي مدیریتی ژئوسايت طاق بستان دارای بيشترین پتانسیل‌ها، و به موازات آن در مجموع ژئوسايت کوه بیستون برترین ژئوسايت جذب و برنامه ریزی توریسم و ارتقاء این صنعت و در نهايیت شکوفایی اقتصادي در منطقه مورد بررسی با توجه به روش بکار گرفته شده است. اميد که مسئولین ذی ربط توجه هات و بیشه ای را جهت حفظ، شناسایی، بررسی و مطالعه ژئو سايت‌ها در منطقه مبدول نمایند (شکل ۱).



شکل (۱) موقعیت ژئوسايت‌هاي منتخب

## كلمات کلیدی

ژئومورفو تو蕊سم، ژئومورفوسايت، روش Pereira، قابلیت‌هاي گرددشگري، شهرستان کرمانشاه

## مراجع

- رحیمی هرآبادی، سعید، علیزاده، محمد، هدایی آرانی، مجتبی، ارجوی، حسن (۱۳۹۱)، توان سنجی ژئومورفوسايت‌ها در توسعه پایدار گردشگری استان هرمزگان به روش Pereira، مجموعه مقالات اولین همایش جغرافیا و گردشگری در هزاره ی سوم
- مقصودی، مهران، رحیمی هرآبادی، سعید، علیزاده، محمد، هدایی آرانی، مجتبی (۱۳۹۱)، ارزیابی قابلیت ژئومورفوسايت‌ها گردشگری در پارک ملی کویر با استفاده از مدل Pereira، فصلنامه مطالعات جهانگردی دانشگاه علامه طباطبائی، تهران بهار و تابستان (۱۳۹۱)..
- نکوئی صدری، بهرام (۱۳۸۸)، مبانی زمین گردشگری، تهران: انتشارات سمت.

- Reynard, E. Fontana, G. Kozlik, L. Scapozza, C (2007), A method for assessing «scientific» and «additional values» of geomorphosites, *Geographica Helvetica* Jg. 62 2007/Heft 3.
- Pereira,P. Pereira,D. Caetano,M. Braga,A(2007), *Geomorphosite assessment in Montesinho Natural Park (Portugal)*, *Geographica Helvetica* Jg. 62 2007/Heft 3.

## تحلیل اثرات متقابل تکتونیک واقعیت مکانی وقوع زمین لغزش ها در حوضه‌ی جوانرود با استفاده از تکنیک‌های RS&GIS

<sup>۱</sup> محسن عزیزی، <sup>۲</sup> نسرین نیک‌اندیش، <sup>۳</sup> سمیرا علیقلی، <sup>۴</sup> ستار طهماسبی

<sup>۱</sup> دانشگاه پیام نور مرکز آران و بیدگل ، Azizimohsen3@yahoo.com

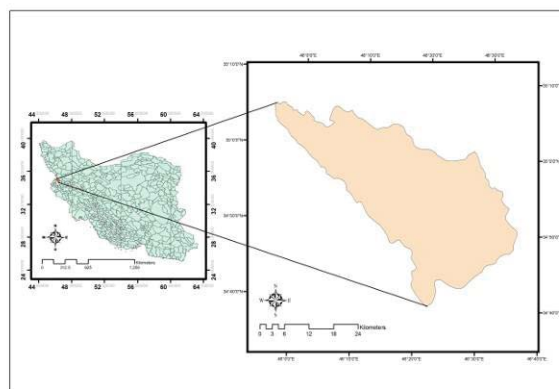
<sup>۲</sup> دانشگاه پیام نور مرکز آران و بیدگل ، nasrinnikandish@yahoo.com

<sup>۳</sup> دانشگاه پیام نور مرکز آران و بیدگل ، samiraaligholi@yahoo.com

<sup>۴</sup> دانشگاه خوارزمی تهران ، sattartahmasebi@yahoo.com

### مقدمه

تکتونیک فعال به فرایندهای تکتونیکی اطلاق می‌شود که در یک مقیاس زمانی در پوسته زمین تغییر شکل‌های ایجاد‌کنند که این تغییرشکل‌ها برای جوامع انسانی مهم هستند. از آنجایی که پایداری دامنه برآیندی از ناهمواری، زهکشی، سنگ بستر، خاک‌ها، مواد سطحی یارگولیت روی سنگ بستر احتمال زلزله، بقایای عوارض گذشته زمین و فعالیت انسان است. لذا در برنامه ریزی شهری باید به شرایط که احتمال دارد تغییر در نوع فعالیت آنها محرك حرکت توده‌ای باشد توجه شود (روستایی، جباری، ۱۳۸۶، ۸۵). تکتونیک فعال یا تکتونیک ژئومورفولوژی فعال به مطالعه فرایند‌های پویا و دینامیک موثر در شکل‌دهی زمین و چشم اندازهای موجود در آن م پردازد. در سال‌های اخیر تکتونیک ژئومورفولوژی به طور چشمگیر، یکی از ابزارهای عمده و اساسی و موثر در تشخیص شکل‌های تکتونیکی فعال و تهیی نقشه‌های خطر لرزه‌ای و همچنین درک و فهم تاریخ‌چه چشم انداز‌های کیونی سطح زمین بوده است (کلودیگران، ۱۳۰۲، ۱۳۸۶). مهم ترین مخاطرات ژئومورفیک شهری عمدتاً انواع حرکات توده‌ای سریع و آرام ریزش، جریانات گلی، جریانات واریزه‌ای سنگی، خاکی، نشت خزش، لایه‌ای انحلال تحکیم یافته‌گی بعدازبارگذاری وغیره است (زمردیان، ۱۳۷۲). آگاهی از محیط‌های شهری از اهم موضوعات برنامه ریزی است. به دلیل اینکه تامین رفاه شهروندان و ایجاد محیطی سالم تر، مساعدتر، موثر تر و کم خطرتر، اهمیت شناخت محیط را روشن می‌کند (زمردیان، ۱۳۸۶). حوضه‌ی جوانرود در غرب کشور در استان کرمانشاه و در طول جغرافیایی ۲۹°۳۶' تا ۴۶°۳۶' و عرض جغرافیایی ۳۴°۳۶' تا ۳۴°۵۲' شمالی واقع شده است مساحت شهرستان مورد مطالعه ۳۷۲/۹۹ کیلومتر مربع است. مرتفع ترین نقطه این شهرستان ارتفاع ۲۷۰۸ در شمال شرقی است (شکل ۱).



شکل (۱) موقعیت محدوده مطالعاتی

## مواد و روشها

اساس این پژوهش مبتنی بر کار پیمایشی و اسنادی و تحلیلی است. در گام نخست با استفاده از نقشه‌های (۱/۵۰۰۰۰) و تصاویر ماهواره‌ای و نرم افزار Google earth به بررسی مکانی زمین لغزش‌های رخ داده در منطقه‌ی مورد مطالعه پرداخته شد. در گام دوم شاخص‌های تکتونیک ژئومورفولوژی حوضه محاسبه گردید سپس با تهیه داده‌های اقلیمی با تأکید بر پارامتر بارش حوضه و تحلیل و تفسیر آنها از طریق نرم افزار آماری از قبیل spss, exell به تهیه‌ی نقشه‌های پهن‌بندی از طریق نرم افزار GIS پراخته شد.

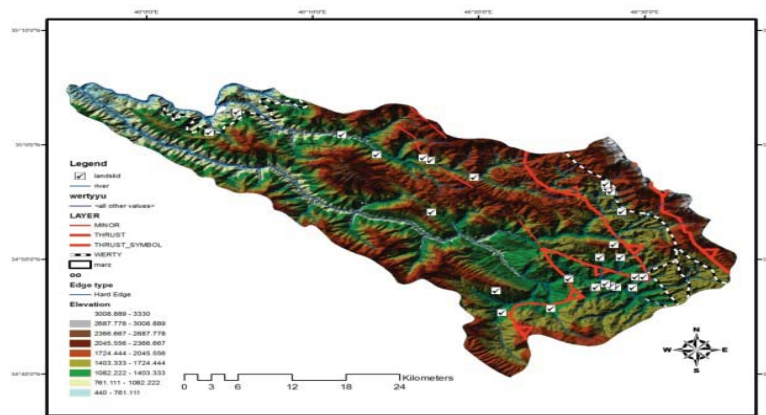
## بحث و نتایج

یکی از مهمترین مخاطره محیطی حوضه جوانرود حرکات دامنه‌ای است (علایی طالقانی، ۱۳۹۰). مهمترین عوامل موثر بر حرکات دامنه‌ای فعالیت‌های انترپوزنیک، تکتونیک و اقلیم (بارش) (شکل ۲).



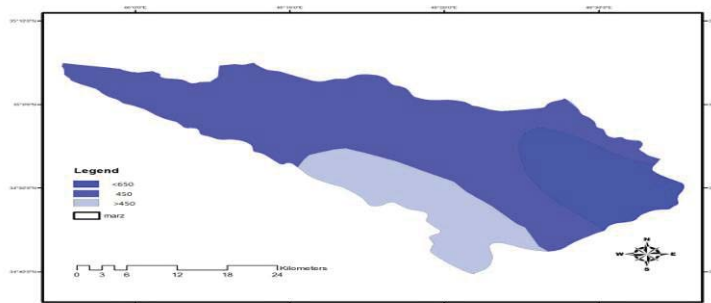
شکل (۲) نمونه‌ی از حرکات دامنه‌ی حوضه جوانرود (علایی طالقانی ۱۳۹۰)

محاسبه شاخص‌های مورفو-تکتونیک حاکی از فعالیت زیاد تکتونیکی در حوضه موردمطالعه را در این رابطه کاملاً معنی داری بین برآورده‌گشته و فاصله از گسل‌ها مشاهد گردید که نشانگر تاثیر فعالیت‌های تکتونیکی در محدوده بوده است (شکل ۳).



شکل (۳) نقشه گسل، جاده، رودخانه، حرکات دامنه‌ی

ارتباط مستقیمی بین مناطق هم باران و قوع زمین لغزشها در حوضه مورد مطالعه مشاهدگردید طبقه پر خطر منطبق بر قسمت پربارش (۴۵۰ میلیمتر) سالیانه می باشد که دارای بیشترین فرایند وقوع لغزشها در منطقه است. در اهمیت دوم منطقه همباران با بارش (۴۵۰ میلیمتر) بارندگی می باشد (شکل ۴).



شکل (۴) نقشه هم باران حوضه جوانزود

فعالیتهای انترپوژنیکی در حوضه مورد مطالعه یکی از راه‌های مخاطرات مورفوژنیک و گسترش آن محسوب می‌گردد و لذا فعالیت‌های آنتروپوژنیکی باید با توجه به توسعه پایدار محیطی (آمایش سرزمین) در محدوده مورد مطالعه قرار گیرد و توجه به مخاطرات و پیامدهای آن صورت گیرد.

#### باقته‌ها

مخاطرات بخش اجتناب ناپذیر زندگی به شمار می‌رود این پدیده اثراتی نسبی بر روی سیستم‌های انسانی و طبیعی اعمال می‌کند. به این ترتیب آنچه که در مطالعات ژئومورفولوژی مورد مذاقه قرار می‌گیرد تحلیل جغرافیایی از خصوصیات سطح زمین است که اساساً ناشی از دو شاخص اصلی مورفتکتونیک (فرایندهای درونی) و مورفوکلیماتیک (فرایندهای بیرونی) می‌باشد که در تکوین فرم‌ها و تحول فرایندها و ایجاد مخاطرات نقش اساسی ایفا می‌کنند. نتایج حاصل نشان داد در حوضه مورد مطالعه مهمترین فرآیند موثر بر تغییر تحول لندرفرا ما فراسایش آبی و مهمترین مخاطرات مورفوژنیکی در اولویت اول لغزش می‌باشد که علت اصلی ایجاد آنها، فعالیت‌های آنتروپوژنی در مرحله اول وسیس پارامترهای اقلیمی، در راس آنها عامل بارش است در مرحله آخر فعالیت‌های تکتونیکی می‌باشد که باعث افزایش بار دامنه و تشدید سایر عوامل گشته است. که مدیریت محیطی پایدار در حوضه مورد مطالعه را به چالش می‌کشد ولزوم برنامه ریزی در محدوده‌ی مورد مطالعه را نشان می‌دهد.

#### کلمات کلیدی

تکتونیک ژئومورفولوژی، اقلیم، لغزش، جوانزود، GIS&RS

#### مراجع

- پرهیزگار، الف. (۱۳۸۴) توان‌های محیطی ایران، مرکز مطالعات و تحقیقات شهرسازی باران
- جباری و روستایی، حدود و کاربردهای ژئومورفولوژی شهری، ۱۳۸۶
- زمردیان، م. ج (۱۳۷۲)، کاربرد جغرافیای طبیعی در برنامه‌ریزی شهری و روستایی، انتشارات سمت
- زمردیان، (۱۳۸۱) ژئومورفولوژی در برنامه‌ریزی محیطی، انتشارات سمت
- علایی طالقانی، محمود - رحیم زاده‌زهرا ، شبیه سازی احتمال وقوع لغزش در حوضه ابیز جوانزود با مدل تحلیل سلسه مراتبی AHP با تأکید بر ویژگی های مورفوژنی، جغرافیا و برنامه‌ریزی محیطی، شماره ۴۴، ص ۵۳ تا ۷۷، اصفهان، زستان ۱۳۹۰
- Keller Edward, A, and Nicholas Pinter (1995). Active Tectonics Earthquake, Uplift, and Landscape.; Prentice Hall publisher. New, Jersey

## مخاطرات ناشی از حرکات برخانها در روستای پشوئیه استان کرمان

<sup>۱</sup>مهران مقصودی<sup>۲</sup> عبدالحسین حاجی زاده<sup>۳</sup> محمد علی نظام محله<sup>۴</sup> زینب بیاتی صداقت

ادانشیار دانشگاه تهران، maghsoud@ut.ac.ir

<sup>۲</sup>دانشجوی دکتری ژئومورفولوژی دانشگاه تهران hajizadeh6331@gmail.com

<sup>۳</sup>دانشجوی دکتری ژئومورفولوژی دانشگاه تهران mnezammahalleh@ut.ac.ir

<sup>۴</sup>دانشجوی دکتری ژئومورفولوژی دانشگاه تهران sedaghatzeinab@yahoo.com

### مقدمه:

درک جابجایی برخان به لحاظ تفسیر پالتوکلیما (Zhibao Dong, 2000; Burrough, 2000)، برای طراحی سیستم‌های کنترل ماسه‌های بادی، ایجاد مخاطره طوفان‌های گردوبغار در اطراف و جنبه‌های دیگر دارای اهمیت می‌باشد (Liu, 2005; Dong, 2010). در مطالعات دانگ و همکران که پیشروی برخان در بیابان تکله مکان را پایش نمودند حرکت ماسه در مسیری که تقاطع بزرگراه را قطع می‌کرد مورد اندازه گیری قرار گرفت و متوسط جابجایی ۷.۲۹ و ۵.۵۶ متر در سال بود و جهت جابجایی با جهت وزش باد‌های محلی همچوینی داشت که حدود ۷ متر در ثانیه بود. آنها همچنین دریافتند که نرخ پیشروی توسط رژیم بادهای محلی و مورفولوژی تپه کنترل می‌شود (Dong, 2000). در مطالعه لیو (2005) به بررسی روابط بین تپه‌های ماسه‌ای و پارامترهای موثر در حرکت آنها پرداخته شد. آنها دریافتند که همبستگی‌های خطی مثبتی بین ارتفاع، پهنا و طول اکثر برخان‌ها و نرخ جابجایی آنها وجود دارد و دریافتند در مواردی که باد متغیر باشد سرعت پیشروی برخان کمتر است. سورمن و همکاران (۲۰۰۰) شکل برخان‌ها را در ماراکو مورد بررسی قرار دادند و حرکت برخان‌ها را متناسب با سرعت باد و در رابطه معکوس با ارتفاع آنها می‌دانند (Sauermann, 2000; Belrhiti, 2011) و دریافتند که سرعت جابجایی برخان بطور معکوس متناسب با اندازه آن است بطوریکه برخان‌های کوچکتر سریع تر از برخان‌های بزرگ حرکت می‌کنند (Gay, 1999). جابجایی شن‌های بادی تحت تاثیر متغیرهای گوناگونی است که در مکان‌های متفاوت تأثیرات متغیری دارند که عده آنها عبارتند از توزیع اندازه دانه‌ها، رژیم بادی، پوشش گیاهی و رطوبت سطحی (Liu, 2005). لیو و همکران (۲۰۰۵) که جابجایی تپه‌های ماسه‌ای برخان را تحت تاثیر جهت، سرعت و فراوانی باد بررسی نمودند، ارتباط سرعت و فراوانی باد با میزان جابجایی را با یک تابع توانی توجیه کردند و نتیجه گیری شد که باد‌های نیرومند با فراوانی پایین نقش مسلطی در جابجایی شن‌های ماسه‌ای دارند و با افزایش نسبت زمین‌های عربان نرخ جابجایی نیز افزایش می‌یابد. در این تحقیق آستانه‌های سرعت باد برای حمل ماسه بسته به سطوح مختلف بین ۵ تا ۸ متر در ثانیه بیان شد. بلهایتی (Belrhiti, 2011) و همکاران توازن و عدم توازن برخان‌ها و نحوه جابجایی آنها را در صحراهای ماراکو بررسی کردند. در کل مطالعات انجام شده دریاره حرکت برخان‌ها نرخ حرکت از ۵ تا ۶۰ متر در سال گزارش شد (Burrough, 2012). هدف این مطالعه بررسی میزان حرکت برخان‌ها در منطقه مطالعه می‌باشد.

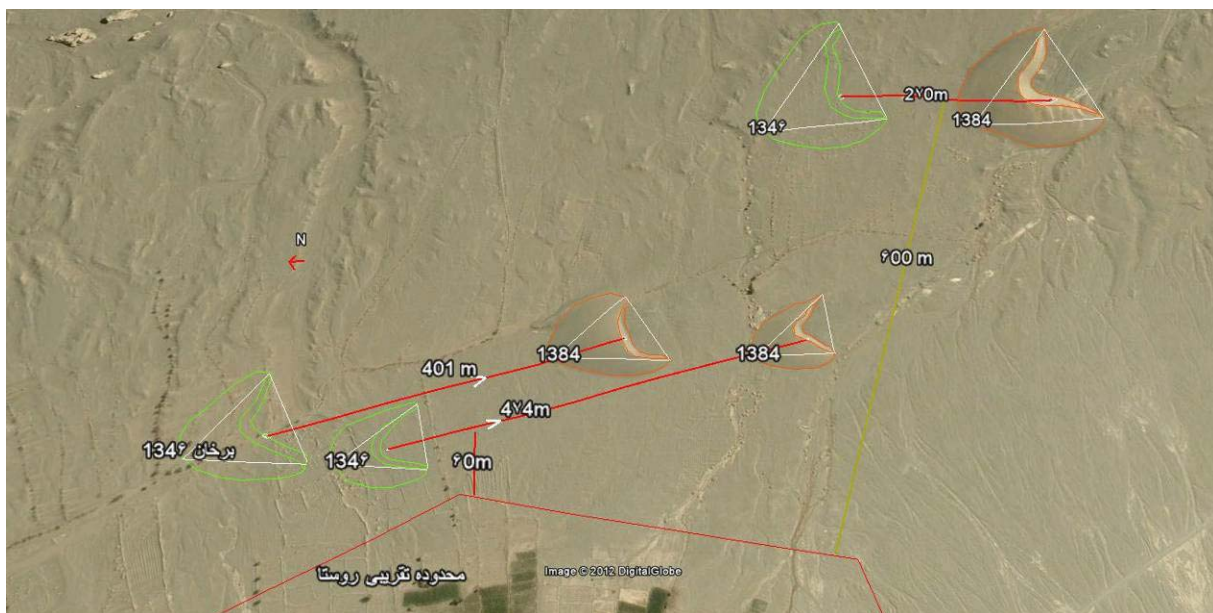
### مواد و روش‌ها:

موقعیت منطقه مورد مطالعه روستای پشوئیه با مختصات طول جغرافیایی و عرض در استان کرمان در شرق شهر کرمان قرار دارد. در این مقاله با استفاده از عکس‌های هوایی سالهای ۱۳۴۶-۱۳۸۴ با مقیاس ۲۰ هزار و تصاویر ۱۳۸۴ گوگل ارث و همچنین نرم افزارهای سنجش از دور و اصول و قوانین هندسی حرکت برخان‌های منطقه پشوئیه مورد تجزیه و تحلیل قرار گرفت.

همانطور که در شکل ۱-۲ مشاهده می‌نمایید عکس‌های منطقه بعد از ژئوفرننس شدن، و با کنترل عوارض و مختصات منطقه، بر روی تصاویر گوگل ارث قرار گرفت سپس با استفاده از اصول هندسی میزان جابجایی و همچنین مولفه‌های طول و عرض برخانها همانطور که در جدول ۱-۲ مشاهده می‌کنید محاسبه شد.

جدول ۱-۰: محاسبات برخان‌های منطقه

شماره برخان	میزان جابجایی به متر (۱۳۸۴-۱۳۴۶)	عرض تقریبی (مترا)-سال ۸۴	طول تقریبی (مترا)-سال ۸۴	فاصله از روستا (متر)
۱	۴۰۱	۹۵	۱۱۰	۴۰
۲	۴۷۴	۷۵	۹۵	۱۱۰



شکل ۱-۰: موقعیت بیخانه‌ها در سالهای ۱۳۴۶ و ۱۳۸۴ و فاصله آنها از محدوده تقریبی روستا

بحث و نتایج:

نتاج محاسبات برخانها در جدول و شکل شماره ۱-۲ ارائه شده است. همانطور که از شکل و محاسبات استخراج می شود نزدیکی برخانها به روستا و حرکات آنها باعث ایجاد مخاطرات انسانی و طبیعی بر روی ساکنین روستا و محصولات و زمین های کشاورزی و راههای ارتباطی با روستاهای اطراف می شود که در صورت استفاده از اصول و روشهای تثبیت ماسه ها و کاشت نهالهای سازگار با منطقه می توان توسعه فیزیکی روستا را مورد تجزیه و تحلیل و مطالعات اصولی قرار داد در غیر اینصورت بدون انجام مطالعات **ژئومورفولوژیک** منطقه در صورت توسعه غیر اصولی، فیزیکی، و سرستا خسارات مادی و مهاجرت بسیار زیاد است.

## یافته ها:

با توجه به اینکه فاصله و میزان جابجایی و ابعاد برخانهای مورد مطالعه در خور توجه است لازم است مطالعات طرح توسعه فیزیکی و مزارع کشاورزی روزتا به طور دقیق مطالعه شود که د. آینده از خسارات مال، و مهاجرت ساکنی، به نقاط دیگر جله‌گیر، گ. ۵۵.

كلمات كليدة:

حاجات، خان، مخاطرات، شوئیه

منابع:

1-Gay, S.P., (1999) observations regarding the movement of barchans sand dunes in the Nazca to Tanaca area of southern Peru, *Geomorphology* 27, 279-293

2-Dong, Z.; Wang, X.; Chen, G.; (2000) monitoring sand dune advance in the Taklimakan Desert ,*Geomorphology* 35, 219-231

*3-Sauermann, G.; Rognon, P.; Poliakov, A.; Herrmann, H.J.; (2000) the shape of barchans dunes of southern Morocco, Geomorphology 36, 47-62*

4-Liu, L.Y.; Skidmore, E.; Hasi, E.; Wagner, L.; Tatarko, J.; (2005) dune sand transport as influenced by wind directions, speed and frequencies in the Ordos Plateau, China. *Geomorphology* 67, 283-297.

5-Dong, Z.; Man, D.; Luo, W.; Qian, G.; Wang, J.; Zhao, M.; Liu, S.; Zhu, G.; Zhu, S; (2010) horizontal Aeolian sediment flux in the Minqin area, a major source of Chinese dust storms. *Geomorphology* 116, 58-66

*6-Belrhiti, H.E.; Douady, S.; (2011) equilibrium versus disequilibrium of barchans dunes. Geomorphology 128, 558-568*

7-Burrough, S.L.; Thomas, D.S.G.; Bailey, R.M.; Davies, L.; (2012) from landform to process: morphology and formation of lake-bed barchans dunes, Makgadikgadi, Botswana, geomorphology 161-162, 1-14

## تحلیلی بر جایگاه و نقش ژئومورفوتوریسم در توسعه گردشگری (مورد: شهرستان چابهار)

۱. سید دانا علی زاده، ۲. ریحانه برومند، ۳. مجتبی اسدی، ۴. جواد حسین زاده

۱: خراسان رضوی- شرکت مهندسین مشاور آپا Email : da\_alizadeh1363@yahoo.com

۲: خراسان رضوی - مشهد پلار حافظ ۱۹ - پلاک ۲ Email : reyhane.boroumand@gmail.com

۳: خراسان رضوی- شرکت مهندسین مشاور آپا Email : iranapa@yahoo.com

۴: خراسان رضوی- شرکت مهندسین مشاور آپا Email : iranapa@yahoo.com

### چکیده:

امروزه صنعت توریسم به عنوان یک مقوله مهم و تاثیر گذار در اقتصاد جهانی پذیرفته شده است و کشورهای مختلف جهان برای رسیدن به توسعه پایدار ، در این راستا تلاش می نمایند. در این بین اکوتوریسم به عنوان الگوی فضایی گردشگری در طبیعت، بیشترین سازگاری را با توسعه دارد. در این راستا شهرستان چابهار با توجه به پتانسیل های فراوان از جمله اکوتوریسم و ژئومورفوتوریسم ... می تواند با مدیریت و برنامه ریزی علمی به قطب توریستی در سطح کشور تبدیل گردد که با توسعه کارکرد ها و محورهای گردشگری و بلاخص اکوتوریسم به عنوان یکی از راهبردها و اهداف توسعه ای ، تحقق بخش توسعه ای منطقه ای در کشور را دارا باشد در صورتی که متساقنه تا به امروز نتوانسته است در این زمینه موقوفیت چندانی در خور پتانسیل های طبیعی فراوان موجود در منطقه داشته باشد. این مقاله که نوع تحقیق آن ، کاربردی- توسعه ای و روش بررسی آن توصیفی- تحلیلی و پیمایشی است بر آن است تا با در نظر آوردن عوامل موثر برگسترش اکوتوریسم بلاخص ژئومورفوتوریسم ، نقاط ضعف و قوت به همراه فرست ها و تهدید ها رامورد بررسی قرار داده تا با ایجاد دیدی علمی و مبتنی بر واقعیت های موجود ، ضمن شناسایی عوامل دخیل در گسترش ژئومورفوتوریسم در چابهار به ارائه راهبردهای اجرایی توسعه ژئومورفوتوریسم نیز بپردازد. یافته های تحقیق نشان می دهد که شهرستان چابهار قابلیت تبدیل به قطب ژئومورفوتوریسم ایران را دارا می باشد اما وضعیت فعلی نشان داد که این قابلیت و پتانسیل مورد غفلت واقع شده و به مرور زمان این پتانسیل های ژئومورفوتوریسم در حال از بین رفتن هستند.

**مقدمه:** در شروع قرن بیست و یکم گردشگری به یکی از پردرآمدترین فعالیتها در دنیا تبدیل شده است که در واقع آمیزه ای از فعالیتهای مختلف است که به صورت زنجیره ای در جهت خدمات رسانی به گردشگران انجام میگیرد (Chiang Lee, 2008:180). بنابراین گردشگری شامل تمام پدیدهای و روابط حاصل از تعامل گردشگران - عرضه کنندگان و فروشنندگان و محصولات گردشگری - دولتها و جوامع میزبان در فرآیند جذب و پذیرایی از گردشگران می باشد (Russo and Borg, 2002:631). با توجه به این که ساختار اقتصادی ایران بعد از اکتشاف و بهره برداری از منابع نفتی به شدت متکی به نفت و درآمد ارزی حاصل از آن بوده است و تلاش های صورت گرفته برای خروج از این وضعیت و اتخاذ سیاست های اقتصادی غیرنفتی موققیتی نداشته است اینک به جای منابع نفتی در کشور نیازمند استفاده از تمامی امکانات و قابلیت های گردشگری هستیم (علی زاده ، ۱۳۸۹). یکی از مهمترین ابعاد گردشگری ایران گردشگری طبیعی و قابلیت های محیطی آن است؛ به طوریکه ما جزو پنج کشور اول جهان از لحاظ تنوع محیط طبیعی می باشیم. یکی از مهمترین مناطق کشور در این زمینه؛ شهر و بندر زیبای چابهار در جنوب شرق کشور است که با انجام پژوهش های کمی و کیفی مطلوب و ارائه راهبرد های مناسب قادر به توسعه گردشگری بویژه تبدیل آن به قطب ژئومورفوتوریسم می باشیم و همانا این مکمل و جایگزین مطلوب اقتصادی خواهد بود.

**موادها و روش ها :** این تحقیق از نوع (کیفی) کاربردی و توسعه ای و روش آن توصیفی - تحلیلی و پیمایشی است. برای جمع آوری اطلاعات و داده های مورد نیاز بررسی های استانداری و کتابخانه ای و مطالعات میدانی استفاده و با توجه به اطلاعات به دست آمده ، به بررسی جاذبه ها - امکانات - خدمات و وضعیت گردشگری طبیعی بویژه ژئومورفوتوریسم در منطقه پرداخته سپس برای تجزیه و تحلیل داده یافته ها از مدل SWOT استفاده شد. برای تدوین جدول استراتژیک SWOT ابتدا نقاط قوت و ضعف داخلی و فرست ها و تهدیدهای محیط خارجی را مورد بررسی قرار داده و برای هریک جدولی جداگانه تنظیم گردید سپس با توجه به درجه اهمیت هریک از عوامل و براساس میزان تاثیرگذاریشان مورد

وزن دهی قرار گرفته و سپس اقدام به تکمیل ماتریس SWOT صورت گرفت و در نهایت به ارائه راهبردها و استراتژی‌های مناسب جهت توسعه گردشگری در چابهار پرداخته شد (گلکار، ۱۳۸۴).

#### یافته‌ها:

شهرستان چابهار در منتهی‌الیه جنوب شرقی ایران و در کنار دریای عمان واقع است این بندر تاریخی با وجود موقعیت استراتژیک مبدأ مسیرهای ترانزیتی غیر قابل رقابت می‌باشد. فور منابع آبی - موقعیت جغرافیایی و هوای منحصر به فرد و برخورداری جاذبه‌های فرهنگی و محیطی و نزدیکی به کشورهای هم‌جوار این منطقه پتانسیل لازم برای تبدیل شدن به یک منطقه ترانزیتی و توریستی را دارد (ابراهیم زاده، ۱۳۸۶). برای سازماندهی و تنظیم جداول عوامل خارجی تحت عنوانی فرصت‌ها و تهدیدهای فاروی سیستم با استفاده از عوامل درجه بندی و با توجه به اهمیت هریک از فرصت‌ها و تهدیدها و میزان تاثیر گذاری هریک بر کارکردهای منطقه چابهار اقدام به وزن دهی و درجه بندی و محاسبه امتیاز وزنی به شرح نتیجه های مقابله می‌باشد. در حیطه تهدیدهای عوامل خارجی: پایین بودن سطح رفاه و بهداشت عمومی و همچنین رقابت منطقه‌ای با سایر مناطق هم‌جوار و حاشیه جنوبی خلیج فارس با امتیاز وزنی ۰.۳۲ و اغتشاش افکار عمومی در ارتباط با امنیت منطقه و ساختار خاص اقتصادی منطقه در حال حاضر با امتیاز وزنی ۰.۲۴ و فرصت‌های عوامل خارجی: اشتغال زایی و ایجاد درآمدهای ارزی با امتیاز وزنی ۰.۰۴ و وجود منابع طبیعی مختص به منطقه در مقایسه با مناطق هم‌جوار با امتیاز وزنی ۰.۳۲. وایجاد راه‌های حمل و نقل مطمئن و جدید و قابلیت تبدیل شدن به قطب ژئومورفوتوریسم کشور با امتیاز وزنی ۰.۲۷ و در حیطه نقاط قوت داخلی وجود و تنوع محیط‌های طبیعی و چشم انداز‌های بکر جغرافیایی با امتیاز ۰.۳۶ و استعداد پذیرایی و احداث محیط‌های تفریحی و ورزشی بهمراه ترانزیت و حمل و نقل با امتیاز وزنی ۰.۳۲ و نقاط ضعف داخلی با عامل عدم امنیت مطلوب منطقه در افکار عمومی و هم‌چنین ضعف مدیریتی و سازمانی با امتیاز ۰.۳۲ و دوری مناطق جاذب گردشگری طبیعی از هم و کمبود راه‌های ارتباطی مناسب به همراه تبلیغات ضعیف با امتیاز وزنی ۰.۲۷ از مهمترین عوامل محسوب می‌شوند. در نهایت جدول استراتژیک ذیل تدوین گردید.

عوامل استراتژیک	وزن	درجه بندی	امتیاز	کوتاه مدت	برنامه ریزی میان مدت	برنامه ریزی بلند مدت
- وجود تنوع محیط‌های طبیعی و بکر	۰.۰۹	۴	۰.۳۶			✓
- ترانزیت و حمل و نقل	۰.۰۸	۴	۰.۳۲			✓
- استعداد پذیرایی و احداث محیط طبیعی تفریحی و ورزشی	۰.۰۹	۴	۰.۳۶	✓		
- ضعف مدیریتی و سازمانی	۰.۰۷	۳	۰.۲۱	✓		
- عدم امنیت مطلوب منطقه در افکار عمومی	۰.۰۸	۳	۰.۲۴	✓		
- تبلیغات ضعیف از منطقه	۰.۰۸	۳	۰.۳۲	✓		
- دوری مناطق جاذب گردشگری از هم	۰.۰۹	۳	۰.۲۷			✓
- اشتغال زایی و درآمد ارزی	۰.۰۹	۴	۰.۳۶	✓		
- وجود منابع اختصاصی منطقه در مقایسه با مناطق هم‌جوار	۰.۰۷	۳	۰.۲۱	✓		
- قابلیت تبدیل شدن به قطب ژئومورفوتوریسم در منطقه	۰.۰۹	۴	۰.۳۶	✓		
- ایجاد راه‌های حمل و نقل ارتباطی مطمئن و جدید	۰.۰۸	۳	۰.۲۴			✓
- رقابت منطقه‌ای با سایر مناطق هم‌جوار	۰.۰۷	۳	۰.۲۱			✓
- پایین بودن سطح رفاه و بهداشت	۰.۰۹	۴	۰.۳۶	✓		

عمومی						
		✓	۰.۲۴	۳	۰.۰۸	T3- اختشاش افکار عمومی در ارتباط با امنیت منطقه
✓			۰.۲۱	۳	۰.۰۷	T4- ساختار خاص اقتصادی منطقه

### بحث و نتیجه گیری:

یافته ها و بررسی های صورت گرفته نشان می دهد که برنامه ریزی های انجام گرفته و در حال انجام در منطقه مناسب با ساختار گردشگری و پتانسیل های مورد در آن نمی باشد. که در این راستا لازم است برنامه ریزی هائی در سه سطح کوتاه مدت، میان مدت و بلند مدت انجام شود. همچنین در جهت تقویت گردشگری منطقه و حفظ منابع و پتانسیل های طبیعی منطقه تاکید و توجه به ژئومورفوتوریسم می تواند مناسب و مناسب باشد.

### کلمات کلیدی:

اکوتوریسم، ژئومورفوتوریسم، شهرستان چابهار، توسعه پایدار

### منابع:

ابراهیم زاده ، عیسی و همکاران (۱۳۸۶) فهرست ، نقشه های منابع ، پتانسیل ها و خدمات گردشگری شهرستان چابهار ، طرح جامع گردشگری استان بلوچستان ، زاهدان.

گلکار ، کورش (۱۳۸۴) مناسب سازی تکنیک تحلیلی سوات (sowt) برای کاربرد در طراحی شهری مجله صفا ، شماره ۴۱ سال ۱۵ پاییز و زمستان.

علی زاده، سید دانا(۱۳۸۹)، یورسی آسیب های اجتماعی گردشگری در منطقه ثامن مشهد، پایان نامه کارشناسی ارشد، دانشگاه پیام نور تهران.

Chiang Lee, Chien and Chun-Ping Chang. (2008): Tourism development and economic growth: A closer look at panels, Tourism Management 29

Russo, Antonio P. And Jan van der Borg (2002): Planning considerations for cultural tourism: a case study of four European cities, Tourism Management 23

## بازگشت به ژئومورفولوژی تاریخی در تجزیه و تحلیل مخاطرات ژئومورفیک

سید رضا حسین‌زاده

دانشیار ژئومورفولوژی دانشگاه فردوسی مشهد

### ۱- مقدمه

چرخش از ژئومورفولوژی تاریخی به ژئومورفولوژی فرایند و بازگشت مجدد به روش‌های ژئومورفولوژی تاریخی بسیار سریع اتفاق افتاد. گرچه در رویکرد جدید تلفیقی از این دو تحت عنوان ژئومورفولوژی مدرن نامگذاری شد(هاگت ۲۰۰۰) لیکن سهم عده در تجزیه و تحلیل اشکال و فرایندها را ژئومورفولوژی تاریخی بعده دارد. ژئومورفولوژی تاریخی بطور سنتی کار استخراج تاریخ ناهمواری‌ها را از طریق نقشه‌های ژئومورفولوژی و مناظر رسوبات انجام می‌دهد(حسین‌زاده ۱۳۸۷، ۱۴۰). ژئومورفولوژی فرایند با هدف مطالعه عملکرد فرایندهای دینامیک بیرونی از دهه ۱۹۴۰ تحت عنوان ژئومورفولوژی کمی فعالیت نمود و از دهه ۱۹۶۰ تا ۱۹۷۰ به سوی ساختن مدل‌هایی برای نمایش تغییرات کوتاه مدت در اشکال سطح زمین سوق یافت. مطالعات فرایند برای سه تا چهار دهه از حاکمیت جدی برخوردار گشت و مطالعات تاریخی که بواسطه توسعه مطالعات کمی ضعیفتر شده بود، از دهه ۱۹۷۰ به بعد با ساختاری قوی‌تر برگشت و در ترکیب با مطالعات فرایند، تصویر واقعی تری از فرایندها و اشکال را ارایه نمود. در اثنای تحولات فوق شاخه‌های جدیدی در ژئومورفولوژی مبتنی بر ژئومورفولوژی تاریخی بوجود آمد که نقش مهمی خصوصاً در بازسازی مخاطرات ژئومورفیک قدیم و جدید بعده داشته است. در این مقاله با اشاره‌ای به مطالعات موردي نگارنده به معرفی دو قلمرو نسبتاً جدید در ژئومورفولوژی یعنی هیدرولوژی پالئوسیلان و دندروژئومورفولوژی که هر دو در بستر ژئومورفولوژی تاریخی رشد نموده اند می‌پردازم. هیدرولوژی پالئوسیلان یا بطور دقیق تر هیدرولوژیموفولوژی پالئوسیلان به بازسازی سطح، حجم و زمان وقوع سیلانهای بزرگ قدیمی و کاربرد آن در تخمین خطر سیلان در بستر رودها می‌پردازد(بیکر و دیگران ۲۰۰۲، ۱۲۸ و بنیتو و تورنندی کرافت ۲۰۰۵، ۳). دندروژئومورفولوژی یا ژئومورفولوژی درختی قادر به بازسازی زمان وقوع فرایندها و مخاطرات ژئومورفیک است(استوفل ۲۰۱۰). هیدرولوژی پالئوسیلان قادر به بازسازی سیلانها تا هزاران سال قبل بوده و تحلیل‌های آن متکی به شواهد دیرینه تراز خصوصاً رسوبات آب راکدی و سن سنجی مطلق می‌باشد. در حالیکه دندروژئومورفولوژی وقایع را در مقیاس دهه‌ها و سده‌های جدید بازسازی نموده و تکیه بر گاهشناصی درختی و حلقه‌های رشد سالانه درختان دارد.

### ۲- مواد و روش‌ها:

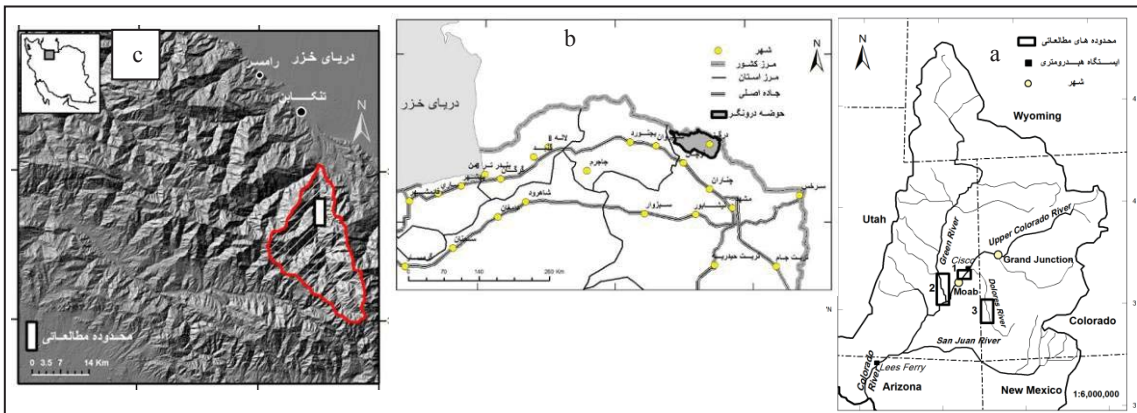
چون در این مقاله به نمونه‌های موردي از مطالعات نگارنده در سرشاخه رودخانه‌های کلرادو، درونگر و سه‌هزار اشاره شده لیکن روش‌های مورد استفاده در این نمونه‌ها همان روش‌های تاریخی- تحلیلی در ژئومورفولوژی است(حسین‌زاده ۱۳۹۱، ۳۶-۳۷). در تمام موارد پس از مطالعه مقدماتی روی عکس‌های هوایی و تصاویر ماهواره‌ای بزرگ مقیاس، طی عملیات میدانی سایت‌های مناسب برای تجزیه و تحلیل انتخاب و نمونه برداری- های لازم جهت تعیین سن رسوبات و نقشه برداری‌های لازم برای ثبت مورفولوژی بستر صورت گرفته است. در مورد رسوبات آب راکد چنانچه مقاطع کاملی از آنها در محل حفظ شده باشد از طریق معیارهای تعیین شده می‌توان تعداد وقایع را نیز تعیین کرد(بیکر، ۱۹۸۷، ص ۸۴). در دندروژئومورفولوژی درختانی که بر اثر فرایندهای ژئورفیک دچار تغییر شده و واکنش نشان داده‌اند انتخاب و حلقه‌های رشد سالانه در ریشه، تنه و شاخه‌های آنها برای تعیین زمان وقوع فرایندهای سیلانی، لغزش، ریزش، جریان مواد، رسوبگذاری و فرسایش کاوشی مورد شمارش و تجزیه و تحلیل قرار می‌گیرد.

### ۳- بحث و نتایج:

#### ۳-۱- هیدرولوژی پالئوسیلان

هیدرولوژی پالئوسیلان پس از شکست روش‌های آماری و مدل‌های هیدرولوژیکی در تخمین حجم سیلانهای بزرگ و محاسبه دوره برگشت آنها از دهه ۱۹۸۰ در غرب ایالات متحده آمریکا ظهره یافت و سپس به کشورهای اروپایی، استرالیا، چین و کانادا گسترش یافت(حسین‌زاده و جهادی، ۱۳۹۱، ۸۴-۸۶). بهترین شواهد مورد استناد در این شاخه علمی، رسوبات آب راکدی است که شامل رس، سیلت و ماسه بوده که در داخل ستون آب بصورت معلق حمل می‌شوند. هرجا که بخشی از جریان با کندی سرعت مواجه شود این رسوبات تهشیش می‌شوند. از نظر ژئومورفولوژی کانال‌های حفر شده در سنگهای مقاوم مساعدترین مکان‌ها برای تجمع و حفظ نهشته‌های سیلانی را بوجود می‌آورند. در چنین کانال‌هایی شرایط محلی ژئومورفولوژی از جمله توفرتگی‌ها و پناهگاه‌های سنگی، محل اتصال شاخه‌های فرعی به اصلی، حفره‌ها و غارهای حاشیه بستر، پایین دست سواحل کوثر ماندرها، پایین دست توده‌های ریزشی و محل پهن‌شدگی‌های ناگهانی بستر به تجمع و حفظ طولانی مدت رسوبات آب راکد کمک می‌نمایند. نمونه‌های مطالعاتی در این مقاله عمدها در کانیون‌های باریک حفرشده در سنگهای مقاوم آهکی و ماسه سنگی قرار گرفته اند(شکل ۱). شاخه کلرادوی بالایی در حد فاصل گراند جانکشن تا جنوب موآب از سیلانهای بزرگی متأثر می‌گردد و آمار موجود برای ایستگاه هیدرومتری این رودخانه در سیسکو، آمار حداکثر دبی لحظه‌ای را برای ۲۰۰ سال اخیر ثبت کرده است. این رودخانه در مسیر خود پس از خروج از یک فرازمن و ورود به یک فروزنین از

بستری پهنه برخودار می‌گردد که در حاشیه آن یک سایت بزرگ دفن پسماندهای هسته‌ای مربوط به دهه‌های ۱۹۵۰ تا ۱۹۴۰ قرار دارد. برای برآورد سطح بزرگترین سیلابها و احتمال حمل یا عدم حمل زباله‌های هسته‌ای بوسیله سیلاب، از روش‌های هیدرولوژی پالئوسیلاب کمک گرفته شده است. بر مبنای تحلیل و سن سنجی رسوبات آب راکد در کانیون بالادست محل دفن مواد هسته‌ای و همچنین محاسبات دبی سیلاب‌های قدیمی بر اساس روش شبیب-مساحت، این نتیجه بدست آمد که از ۸۰۰۰ تا ۱۷۰ سال قبل سیلابهای بزرگی در رودخانه رخ داده که دبی بزرگترین آنها به بیش از ۱۲۰۰۰ متر مکعب در ثانیه نیز می‌رسیده است. این در حالی است که حداکثر دبی لحظه‌ای ثبت شده در ایستگاه هیدرومتری منطقه حدود ۳۵۰۰ متر مکعب در ثانیه گزارش گردیده و بنا براین احتمال حمل زباله‌های هسته‌ای دفن شده بوسیله سیلابهای بزرگ آینده وجود دارد.



شکل ۱. موقعیت مناطق مطالعاتی در رودخانه‌های کلرادو

(a)، شمخال (b) و سه هزار (c)

گرین ریور که سرشاره اصلی کلرادو است بعنوان نمونه موردي شماره ۲ با شیبی کمتر از ۱ درصد در ۵۰ کیلومتری جنوب مواب به کلرادو بالایی می‌پیوندد. برای کشف و تحلیل رسوبات آب راکد در تخمین سیلابهای بزرگ آن طی سه روز عملیات میدانی در ژولای ۲۰۱۰ با قایق‌های پارویی ۷۰ کیلومتر از مسیر رودخانه مورد بررسی دقیق قرار گرفت. نتایج بدست آمده از سفر مذکور مشخص کرد که رسوبات آب راکد در دهانه شاخه‌های فرعی این رودخانه در ارتفاعی بالاتر از رسوبات آب راکد ثبت شده در کلرادو بالایی است. رسوبات آب راکد در کلرادو بالایی تا ارتفاع ۱۸ متر و در گرین ریور تا ارتفاع ۲۱ متری دیده می‌شود. شبیب کمتر گرین ریور و ایجاد پس‌آبها مرتفع‌تر در اثنای سیلابی شدن رودخانه، ارتفاع بالاتر رسوبات آب راکد آنرا توجیه می‌نماید. بر اساس مطالعات اولیه احتمال وقوع سیلاب‌های با دبی بیش از ۱۷۰۰۰ متر مکعب در ثانیه در این شاخه وجود دارد.

کانیون معروف به شمخال در سرشاره‌های درونگر، نمونه‌های جالی از رسوبات آب راکدی را در دهانه شاخه‌های فرعی، تورفتگی دیوارهای رود، غارهای دیواره دره رود و پایین دست بخش‌های کوچک مانند رها حفظ کرده است. در برخی از مقاطع آثار حدود ۲۲ سیلاب قدیمی بصورت چینه‌های کم ضخامت دیده می‌شود، حد فاصل چینه‌ها عمدتاً بوسیله ترکهای گلی و یا آثار فعلی موجودات زنده قابل تشخیص است. محاسبات انجام شده بر حسب سطح رسوبات آب راکد در این رودخانه مشخص کرد که احتمال وقوع سیلابهای با دبی ۷۰۰ متر مکعب در ثانیه وجود دارد در حالی که دبی های ثبت شده و محاسبه دوره‌های برگشت یه روشهای سنتی هیدرولوژی، دبی حداکثر تا ۲۰۰ متر مکعب در ثانیه را برای این رودخانه گزارش می‌نماید.

### ۲-۳- دندروژئومورفولوژی و شواهد آن

دندروژئومورفولوژی اصطلاحی است که بوسیله جغرافیدان هلندی آستالو در سال ۱۹۷۲ معرفی شد و بطور گستردگی طی چند دهه اخیر جهت بازسازی عملکرد فرایندها و مخاطرات ژئومورفیکی مورد استفاده قرار گرفت (استوفل، ۲۰۰۸، ۱۹۹۵). این مطالعات ابتدا در بستر دندروکرونولوژی با محاسبه نرخ فرسایش از طریق ریشه‌های درختان شروع شد (لامارچ، ۱۹۶۱)، سپس بوسیله سیگافوس (۱۹۶۴) به تنه و شاخه‌های درختان گسترش یافت. مطالعات تنه و شاخه‌ها در ابتدا برای بازسازی سیلابهای قدیمی مورد استفاده قرار گرفت اما بعد توسط محققین اروپایی و کانادایی برای مطالعه جریان مواد (استوفل و همکاران، ۲۰۰۶، ۲۰۰۸، ۲۰۱۰ و ۲۰۱۰)، لغزش (بریم و همکاران، ۱۹۸۷)، حرکت بهمن (باتلر، ۱۹۷۹، ۱۹۸۵ و ۲۰۰۸) و ریزش (استوفل و همکاران، ۲۰۰۶) بکار گرفته شد. رودخانه سه هزار تنکابن بعنوان سومین نمونه موردي مطالعاتی این مقاله طی سال‌های اخیر از سیلاب‌های تابستانه بزرگی متأثر می‌گردد. متأسفانه آمار حداکثر دبی لحظه‌ای ایستگاه هیدرومتری رودخانه که فقط برای یک دوره کوتاه از سال ۱۳۹۰ تا ۱۳۸۰ در دسترس بوده امکان بررسی روند طولانی مدت سیلاب‌ها و تغییرات اخیر را فراهم نمی‌آورد. بنابر این برای دستیابی به تقویم طولانی‌تری از وقوع سیلاب‌های بزرگ در این رودخانه از روش دندروژئومورفولوژیکی استفاده شد. ابتدا در محدوده مشخص شده از بستر رود درختان متأثر از سیلاب مشخص و سپس نمونه‌های لازم از ریشه و تنه درختان تهیه گردید. آثار سیلاب در این درختان شامل زخم‌های تنه، بیرون افتادگی ریشه‌ها از خاک، رسوبگذاری در قاعده اولیه درختان، کج شدگی تنه و ریشه‌های فرعی رشدیافته در تنه بوده است. نتایج تجزیه و تحلیل‌ها تاریخ وقوع سیلاب‌ها تا سال ۱۳۱۵ و دبی‌های تا ۱۰۰۰۰ متر مکعب در ثانیه را نشان می‌دهد. مسئله مهم دیگر در این رودخانه روند افزایشی وقوع سیلاب‌ها از دهه ۱۳۵۰ به بعد است که می‌تواند با تشدید ذوب یخچالی و برف در سرشاره‌های آن طی دهه‌های اخیر مرتبط باشد.

**نتیجه‌گیری**

در تمام نمونه‌های موردی این مقاله برتری نقش ژئومورفولوژی تاریخی در بازسازی زمان و شدت وقوع سیلاب‌ها مشاهده می‌شود. این در حالی است که بر اساس روش‌های آماری و بر مبنای رکوردهای کوتاه‌مدت دبی نمی‌توان به چنین نتایجی دست یافت. مطالعات انجام شده توسط سایر محققین در سایر مناطق دنیا نتایج مشابهی را نشان می‌دهد. بنابر این توصیه می‌شود روش‌های مطرح شده در این مقاله جایگزین مدل‌های رواج یافته کنونی در قلمروهای مختلف ژئومورفولوژی گردید.

**منابع**

- حسینزاده، سید رضا، ۱۳۸۷. ژئومورفولوژی و مطالعات آن در ایران بعد از پیروزی انقلاب اسلامی، پژوهش‌های جغرافیایی ۶۴ صص ۱۵۵-۱۳۷.
  - حسینزاده، سیدرضا و مهناز جهادی طرقی، ۱۳۹۱. هیدرولوژی سیلابهای قدیمی با استفاده از رسوبات آب راکد، پژوهش‌های کمی ژئومورفولوژی شماره ۱ صص ۱۰۴-۸۳.
  - حسینزاده، سیدرضا و مهناز جهادی طرقی، ۱۳۹۱. بازسازی سیلابهای قدیمی رودخانه سه‌هزار با استفاده از دندروژئومورفولوژی، جغرافیا و مخاطرات محیطی شماره ۲ صص ۵۳-۲۹.
- Baker, V. R., 1987. Paleoflood hydrology and Extraordinary flood events, *Journal of Hydrology* 96, 79-99.
- Baker, V. R., Webb, R. H., House. P. K. 2002. The Scientific and Social value of Paleoflood hydrology in: House, P. K., webb, R. H., Baker, V. R., Levish, D. R (Eds), Ancient floods, modern Hazards: Principles and Application series. Vol 5, 127-146.
- Benito, G., Thorndy Craft. V. R., 2005. paleoflood hydrology and Its role in applied hydrological sciences. *Journal of Hydrology* 313, 3-15.
- Braam, R. R., Weiss, E. E. J., and Burrough, A.: Spatial and temporal analysis of mass movement using dendrochronology, *Catena*, 14, 573–584, 1987a.
- Braam, R. R., Weiss, E. E. J., and Burrough, A.: Dendrogeomorphological analysis of mass movement: A technical note on the research method, *Catena* 14, 585–589, 1987b.
- Butler, D. R.: Vegetational and geomorphic change on snow avalanche path, *Glacier National Park, Great Basin Nat.*, 45,313–317, 1985.
- Butler, D. R.: Snow avalanche path terrain and vegetation, *Glacier National Park, Montana. Arct. Alp. Res.*, 11, 17–32, 1979.
- Butler, D. R. and Sawyer, C.: Review and comparison of the different methods used for dating high-magnitude snow avalanches, *LaMarche, V. C.: An 800-year history of stream erosion as indicated by botanical evidence, U.S. Geol. Surv. Prof. Pap.* 550D, 83–86, 1966.
- LaMarche, V. C. 1961: Rate of slope erosion in the White Mountains, California, *Geol. Soc. Am. Bull.*, 72, 1579–1580.
- Stoffel, M. and Beniston, M. 2006: On the incidence of debris flows from the early Little Ice Age to a future greenhouse climate: a case study from the Swiss Alps, *Geophys. Res. Lett.* 33, L16404.
- Stoffel, M., Conus, D., Grichting, M. A., Li`evre, I., and Ma`itre, G. 2008: Unraveling the patterns of late Holocene debris-flow activity on a cone in the central Swiss Alps: chronology, environment and implications for the future, *Glob. Planet. Change*, 60, 222–234.
- Stoffel, M., Bollschweiler, M., Butler, D. R., Luckman, B. H. 2010: Tree rings and natural hazards: A state-of-the-art. Springer, Heidelberg, Berlin, New York,505 pp

## تحلیل پروفیلهای عرضی آبخیزهای پرشیب کوهستانی، با استفاده از مدل رقومی ارتفاع، در دو منطقه با رژیم‌های اقلیمی متفاوت در استان فارس

مرضیه فروتن<sup>۱</sup>، مزدا کمپانی زارع<sup>۲</sup>

<sup>۱</sup>دانش آموخته کارشناسی ارشد بخش مدیریت مناطق بیابانی، دانشکده کشاورزی، دانشگاه شیراز mariforootan@yahoo.com

<sup>۲</sup>استادیار بخش مدیریت مناطق بیابانی، دانشکده کشاورزی، دانشگاه شیراز kompani@shirazu.ac.ir

### -۱- مقدمه

پروفیلهای عرضی در جهت عمود بر آبراهه‌ها برای آبخیزهایی که از نظر سنگ‌شناصی و زمین‌شناصی ساختمانی در شرایط یکسان بوده و از نظر آب و هوایی در شرایط مختلف قرار گرفته‌اند می‌توانند تا حدی نشان دهنده شرایط آب و هوایی و فرایندهای فرساینده غالب باشد (لیتی و مالین، ۱۹۸۵؛ بیکر، ۱۹۹۰؛ شام و همکاران، ۱۹۹۵). پروفیلهای عرضی دره‌ی آبراهه می‌تواند به صورت نمودار فاصله-ارتفاع در امتداد عمود بر آبراهه تعریف گردد که در جهت عمود بر آبراهه مورد نظر تعریف شده و به خط‌الراس‌ها در دو طرف دره منتهی می‌شود. شکل پروفیلهای عرضی همچنین برای تشخیص فرآیندهای فرسایش غالب منطقه مورد مطالعه قرار گرفته است. در بعضی مطالعات ترکیبی از پروفیلهای طولی و عرضی در یک آبخیز اندازه‌گیری شده و برتبط آنها، جزییات ساختاری آبخیز مورد بررسی قرار گرفته است.

روشهای سنتی و میدانی برداشت نقاط پروفیلی در کوهستانها بسیار وقت‌گیر و هزینه‌بردار می‌باشد. با استفاده از مدل‌های رقومی ارتفاع و نرم‌افزارهای سیستم اطلاعات جغرافیایی این پروفیلها می‌توانند به راحتی استخراج شوند و مورد تجزیه و تحلیل قرار بگیرند. در دهه‌های اخیر در تعداد کمی از مطالعات پروفیلهای آبخیز بصورت رقومی مورد بررسی قرار گرفته است (زاپرسکی و همکاران، ۲۰۰۱؛ وول و آچیوتان، ۲۰۰۲؛ هایاکاوا و اوگوچی، ۲۰۰۶؛ لین، ۲۰۰۹). در این مطالعه پروفیلهای عرضی آبخیز از دو منطقه کوهستانی جویم و درودزن در استان فارس با ساختار و شرایط زمین‌شناصی و زمین‌ساختی یکسان و رژیم‌های آب و هوایی متفاوت مورد مقایسه و آنالیز قرار گرفته‌اند. این نخستین مطالعه در زمینه تحلیل پروفیلهای عرضی رقومی در اقلیم‌های متفاوت است.

### -۲- مواد و روشها

حوزه‌های آبخیز انتخابی حوزه‌های جویم و درودزن بر روی رشته کوه زاگرس در جنوب-غربی ایران واقع شده‌اند که مرکز آنها به ترتیب در طول و عرض‌های جغرافیایی "۳۰° ۲۴' ۰" ، "۳۰° ۱۵' ۰" و "۳۰° ۵۰' ۵" و "۳۰° ۴۹' ۳" قرار گرفته‌اند. منطقه جویم دارای آب و هوای گرم و خشک و منطقه‌ی درودزن دارای آب و هوای نیمه‌خشک و سرد است. برای انجام تحلیل مورد نظر در هر منطقه ۱۰ زیرحوزه برای بررسی انتخاب شده است. با استفاده از داده‌های رقومی ارتفاعی با دقت ۱۰ متری (سازمان نقشه‌برداری کشور، ۱۳۸۰) و نرم‌افزار ایدریسی برای ۲۰ زیرحوزه در دو منطقه درودزن و جویم جمعاً ۲۶۹ پروفیل عرضی عمود بر مسیر آبراهه‌ی اصلی با فواصل مساوی، ۱۰۰ متری، برداشت شده است. ارتفاع نقاط پروفیل از مدل رقومی ارتفاع با استفاده از نرم‌افزار ایدریسی بدست آمد.



شکل ۲ موقعیت مناطق مورد مطالعه در ایران، جویم (JM)، در جنوب غرب استان فارس و درودزن (DN)، در شمال شرق این استان واقع شده است.

در مرحله بعد متوسط شبیه در بین هر دو نقطه متواالی ارتفاعی در هر پروفیل محاسبه شد و برای نقطه بینابینی آنها قرار داده شد. برای هر پروفیل پارامترهای آماری مانند انحراف استاندارد، چولگی، کوتوسیس، کل پهنا و ناهمواری پروفیل، متوسط شبیه در حوزه برای نقاط ارتفاعی و متوسط شبیهای محاسبه شد. برای مقایسه بهتر شکل پروفیل‌ها در طول هر پروفیل به تعداد مشخص و مساوی نقطه ارتفاعی در نظر گرفته شد. برای نقاط ارتفاعی جدید ارتفاع و فواصل نسبی بر مبنای موقعیت قله در هر پروفیل محاسبه گردید و نیمه پروفیل‌های بدون بعد رسم گردید. نیمه پروفیل از قله تا دره در سمتی که فاصله افقی مسیر آبراهه تا قله طویلتر است در نظر گرفته شده است. در مرحله بعد پروفیل‌ها بر مبنای پارامترهای آماری و نیمه پروفیل‌ها بر اساس نقاط ارتفاعی طبقه‌بندی شدند. دسته‌بندی پروفیل‌ها و نیمه‌پروفیل‌ها بر اساس روش خوش‌های، در نرم‌افزار 15 MINITAB و با استفاده از روش Ward و شاخص Linkage انجام شد.

### - ۳ - بحث و نتایج

نتایج آنالیز تشخیص بر روی نیمه‌پروفیل‌های بدون بعد نشان داد که نیمه‌پروفیل‌ها در دو منطقه میتوانند با درصد صحت حدود ۸۰٪ تمیز داده شوند. این بدان معناست که ۸۰٪ از نیمه‌پروفیل‌های اندازه‌گیری شده می‌توانند به طور صحیحی به دو کلاس جویم و درودزن بر مبنای ارتفاعات بدون بعد در ۲۰ نقطه با فواصل مساوی در طول تقسیم‌بندی شوند.

نیمه‌پروفیل‌های بدون بعد بر مبنای ارتفاعات بدون بعدشان در ۲۰ نقطه در طول پروفیل با استفاده از آنالیز دسته به روش Ward و فواصل اقلیدسی دسته‌بندی شدند. پراکنش شش دسته نیمه‌پروفیل‌ها در طی تقسیم آبخیزها به سه بخش شامل بالارود، میان‌رود و پایین‌رود مورد بررسی قرار گرفتند. در هر بخش از آبخیزها درصد نیمه‌پروفیل‌ها مربوط به دسته‌های متفاوت تشخیص داده شدند.

نتایج نشان داد که شبیهای عرضی می‌توانند با دقت ۱۰۰٪ بر پایه پارامترهای آماری ارتفاع و شبیه در طول پروفیل‌ها به دو کلاس درودزن و جویم تقسیم شوند. انحراف از استاندارد ارتفاعات بالاتر در درودزن مربوط به متوسط و بازه بالاتر ارتفاعات در مقایسه با جویم بوده است.

آنالیز نیمه‌پروفیل‌های بدون بعد نشان می‌دهد که این پروفیل‌ها می‌توانند با دقت ۸۰٪ به دو دسته درودزن و جویم تقسیم شوند. همچنین نتایج دسته‌بندی نیمه‌پروفیل‌های بدون بعد نشان میدهد که نیمه‌پروفیل‌ها در دو منطقه میتوانند به سه گروه اصلی شامل الف- شبیهای واریزهای بالادرست رخمنون سنگی و سطح محدب، ب- بالادرست پرتگاهی و سطح مقرع و ج- بدون پرتگاه یا رخمنون سنگی و با سطح مسطح شبیدار تقسیم شوند. پروفیل‌هایی با پرتگاه کوچک در بالارود در جویم بیشتر است این بدان معناست که در جویم پرتگاه بالارود نسبتاً مرتفع در طول پروفیل به سمت پایین‌رود آبخیز افزایش می‌یابد. شبیه واریزهای در بخش‌های میانی و پایین‌رود پروفیل‌هایشان بیشتر در درودزن هستند. پروفیل‌های این منطقه فراوانی‌شان در میان‌رود آبخیزهای درودزن بیشتر است و این دلیل است که بخش‌های بالارود و پایین‌رود آبخیزها در رخمنون سنگی و بردگی عمیق آبراهه‌ها به ترتیب مانع از تکامل تدریجی شبیهای واریزهای در این دو منطقه شده‌اند. انحراف از استاندارد بالای ارتفاعات در طول متوسط پروفیل‌های بدون بعد نشان داد که انحرافات ارتفاع در جویم از متوسط ۲/۵ برابر در مقایسه با درودزن بیشتر است.

در هر دو حوزه درصد فراوانی نیمه‌پروفیلهای گروه الف در بخش‌های بالارود و پایین‌رود آبخیزها کمتر از ۵ درصد است که شاید دلیل آن وجود رخنمون‌های سنگی و بریدگی عمیق آبراهه‌ها در این قسمت‌های تکامل تدریجی شیب‌های واریزهای در این دو منطقه شده‌اند. انحراف از استاندارد بالای ارتفاعات در طول متوسط پروفیلهای بدون بعد نشان داد که انحرافات ارتفاع از متوسط در منطقه‌ی جویم در مقایسه با درودزن در حدود ۲/۵ برابر بیشتر است.

#### ۴- یافته‌ها

مطالعات پیشین نشان داد که فرایندهای فعل فرسایش بر روی شکل حوزه‌ها اثر می‌گذارد و باعث ایجاد فرم‌های متفاوت دره با زاویه شیب مشخص می‌شود. این مطالعه نشان میدهد که در حوزه‌های واقع در مناطق مشابه از نظر زمین‌شناسی و زمین‌ساختی و دارای شرایط اقلیمی متفاوت دارای پروفیلهای عرضی و پارامترهای آماری مختلف برای مقادیر ارتفاع و شیب و نیمه‌پروفیلهای بدون بعد می‌باشند. یعنی پروفیلهای عرضی به تهایی و با استخراج با مدل رقومی ارتفاع ۱۰ متری با فواصل زیاد می‌تواند معرف ویژگی‌های اقلیمی یک منطقه باشد. این یافته با سه روش تحلیل متفاوت بررسی و تایید شد.

#### ۵- واژه‌های کلیدی

پروفیلهای عرضی، پروفیلهای بدون بعد، آنالیز مدل رقومی ارتفاع، توپوگرافی آبخیز، رژیم اقلیمی، ایران.

#### ۶- منابع

- Baker, V.R., 1990. Spring sapping and valley network development. In: Higgins, C., Coates, D. (Eds.), *Groundwater Geomorphology: The Role of Subsurface Water in Earth-Surface Processes and Landforms. Special Papers*, vol. 252. Geological Society of America, Boulder, pp. 235–265.
- Hayakawa, Y., Oguchi, T., 2006. DEM-based identification of fluvial knickzones and its application to Japanese mountain rivers. *Geomorphology* 78, 90–106.
- Laity, J.E., Malin, M.C., 1985. Sapping processes and the development of theater-headed valley networks on the Colorado Plateau. *Geological Society of America Bulletin* 96, 203–217.
- Lin, Z., Oguchi, T., 2004. Drainage density, slope angle, and relative basin position in Japanese bare lands from high-resolution DEMs. *Geomorphology* 63, 159–173.
- Lin, Z., Oguchi, T., 2006. DEM analysis on longitudinal and transverse profiles of steep mountainous watersheds. *Geomorphology* 78, 77–89.
- Lin, Z., Oguchi, T., 2009. Longitudinal and transverse profiles of hilly and mountainous watersheds in Japan. *Geomorphology* 111, 17–27.
- Schumm, S.A., Boyd, K.F., Wolff, C.G., Spitz, W.J., 1995. A ground-water sapping landscape in the Florida Panhandle. *Geomorphology* 12, 281–297.
- Wohl, E., Achyuthan, H., 2002. Substrate influences on incised-channel morphology. *Journal of Geology* 110, 115–120.
- Zaprowski, B.J., Evenson, E.B., Pazzaglia, F.J., Epstein, J.B., 2001. Knickzone propagation in the Black Hills and northern High Plains: a different perspective on the late Cenozoic exhumation of the Laramide Rocky Mountains. *Geology* 29, 547–550.